



ความผิดปกติของเบรริ่งในอินดัคชันมอเตอร์ในกรณีท่อเกิดสนน

**BEARING FAULT OF INDUCTION MOTOR DUE TO RUST CAST**

นายภิรมย์ รองเงิน รหัส 50381246  
นายอร่าม พงศ์ ดีอินทร์ รหัส 50381673

วันที่เข้าร่วมภาคการเรียนรู้	11/8/2555
เลขที่บัตรประชาชน	16733558
เลขประจำบัตรชื่อ	ภ. 545
หน่วยงานที่เข้าอบรม	ก. 2663

ปริญญา呢พนธน์เป็นส่วนหนึ่งของการศึกษาหลักสูตรปริญญาวิศวกรรมศาสตรบัณฑิต  
สาขาวิชาวิศวกรรมไฟฟ้า ภาควิชาวิศวกรรมไฟฟ้าและคอมพิวเตอร์  
คณะวิศวกรรมศาสตร์ มหาวิทยาลัยนเรศวร  
ปีการศึกษา 2553



## ใบรับรองปริญญาบัณฑิต

ชื่อหัวข้อโครงการ	ความผิดปกติของแบร์ริงในอินดักชั่นอัลตราซาวน์ในการเกิดสนิม	
ผู้ดำเนินโครงการ	นายกิริมย์ รอดเงิน	รหัส 50381246
	นายอรุณพงศ์ ดีอินทร์	รหัส 50381673
ที่ปรึกษาโครงการ	ผู้ช่วยศาสตราจารย์ ดร. สมพร เรืองสินชัยวนิช	
สาขาวิชา	วิศวกรรมไฟฟ้า	
ภาควิชา	วิศวกรรมไฟฟ้าและคอมพิวเตอร์	
ปีการศึกษา	2553	

คณะวิศวกรรมศาสตร์ มหาวิทยาลัยแม่โจว อนุมัติให้ปริญญาบัณฑิตบันนี้เป็นส่วนหนึ่ง  
ของการศึกษาตามหลักสูตรวิศวกรรมศาสตรบัณฑิต สาขาวิชาวิศวกรรมไฟฟ้า

ที่ปรึกษาโครงการ

(ผู้ช่วยศาสตราจารย์ ดร. สมพร เรืองสินชัยวนิช)

กรรมการ

(ดร.นุติตา สงเนื้อ)

กรรมการ

(อ. แสงศรี มั่นกรทอง)

ชื่อหัวข้อโครงการ	ความผิดปกติของแบบร่องในอินดักชั่นมองเตอร์ในกรณีการเกิดสนิม	
ผู้ดำเนินโครงการ	นายกิริมย์ รอดเงิน	รหัส 50381246
	นายอรุณพงศ์ ดีอินทร์ รหัส 50381673	
ที่ปรึกษาโครงการ	ผู้ช่วยศาสตราจารย์ ดร.สมพร เรืองสินชัยวนิช	
สาขาวิชา	วิศวกรรมไฟฟ้า	
ภาควิชา	วิศวกรรมไฟฟ้าและคอมพิวเตอร์	
ปีการศึกษา	2553	

## บทคัดย่อ

ปริญญานิพนธ์ฉบับนี้ นำเสนอการศึกษาการตรวจสอบความผิดปกติที่เกิดกับแบบร่องในอินดักชั่นมองเตอร์ 3 เฟลต์ในกรณีที่แบบร่องเกิดสนิม ด้วยการวิเคราะห์สัญญาณ 2 รูปแบบ คือ สัญญาณของกระแส และสัญญาณเสียง ในการวิเคราะห์สัญญาณทั้งสองแบบ ใช้ Matlab ในการแปลงสัญญาณเพื่อให้การวิเคราะห์สมบูรณ์มากยิ่งขึ้น ผลที่ได้จากการศึกษาพบว่า

สัญญาณกระแสของแบบร่องปกติมีค่าไกล์เคียงกับสัญญาณกระแสของแบบร่องที่เกิดสนิม ส่วนสัญญาณเสียงมีค่าความความถี่ที่เกิดขึ้นของแบบร่องที่เป็นสนิมต่างจากค่าสัญญาณของแบบร่องปกติ ค้างนี้ในการวิเคราะห์ข้อมูลค่าสัญญาณกระแสไม่สามารถใช้ในการทำนายได้ ส่วนของค่าสัญญาณเสียงสามารถใช้เป็นแนวทางในการทำนายผลของแบบร่องที่อาจเกิดสนิมได้ โดยคุณค่าที่ต่ำ แห่งความถี่ที่เกิดที่ตำแหน่ง 500 เฮิรตซ์, 1,000 เฮิรตซ์, 1,500 เฮิรตซ์, 2,000 เฮิรตซ์ และ 2,500 เฮิรตซ์ แล้วนำมาวิเคราะห์ข้อมูลเพื่อเป็นแนวทางในการทำนายผลวิเคราะห์สนิมของแบบร่อง

<b>Project title</b>	Bearing Fault of Induction Motor due to Rust Cast
<b>Name</b>	Mr. Pirom Rotngen ID. 50381246
	Mr. Aramphong Deein ID. 50381673
<b>Project advisor</b>	Assistant Professor Somporn Ruangsinchaiwanich, Ph.D.
<b>Major</b>	Electrical Engineering
<b>Department</b>	Electrical and Computer Engineering
<b>Academic year</b>	2010

## Abstract

This study was to investigate the error of bearing in 3 phase motor induction. It was conducted by bearing decoration. The measurement consisted of 2 methods those were current and sound signaling. Both processes were analyzed by using Matlab for completing result. The study indicated that current signaling of normal bearing presented similar value to current signaling of decoration bearing while sound signaling of decoration bearing also showed different frequency from normal bearing. Therefore, the results suggested that current signaling cannot be used for determining bearing error. However, sound signaling also was the possible method for determining bearing decoration. The appropriate frequency values were 500 Hz, 1,000 Hz, 1,500 Hz, 2,000 Hz and 2,500 Hz respectively. Those frequency values properly indicated bearing decoration

## กิตติกรรมประกาศ

ในการทำปริญนานิพนธ์ในครั้งนี้ คณะผู้จัดทำข้อของบพระคุณ ดร.สมพร เรืองสินชัยวานิช อาจารย์ที่ปรึกษาปริญนานิพนธ์ ที่ได้ให้ความกรุณา แนะนำความคิด ความรู้ แนวทางแก้ไข ปัญหา ตลอดจนให้โอกาสในการจัดทำปริญนานิพนธ์ รวมไปถึงการเอื้อเพื่อเอกสารแหล่งข้อมูลใน การค้นคว้าเพิ่มเติมและอุปกรณ์ต่างๆที่จำเป็นในการทดลองช่วยให้ปริญนานิพนธ์นี้สำเร็จลุล่วงไป ด้วยดี รวมทั้งคณะกรรมการการสอนปริญนานิพนธ์ทุกท่านที่ได้ให้คำแนะนำ ตรวจสอบเพื่อให้ ปริญนานิพนธ์นี้มีความสมบูรณ์มากยิ่งขึ้น และผู้มีพระคุณทุกท่านที่มิได้กล่าวถึงในที่นี้ที่ได้ให้ คำแนะนำที่เป็นประโยชน์ต่อการทำปริญนานิพนธ์นี้

สุดท้ายนี้ สิ่งที่คณะผู้จัดทำรำลึกและซาบซึ้งอยู่ในนั้นคือพระคุณของบิดา นารดา ซึ่ง เข้าใจและให้ความสนับสนุนช่วยเหลือในทุกด้าน ในการศึกษาและทำปริญนานิพนธ์จนกระทั่ง ประสบผลสำเร็จ คณะผู้จัดทำจึงขอกราบขอบพระคุณมา ณ โอกาสนี้

นายภิรมย์ รอดเงิน  
นายอร่าม พงศ์ ดีอินทร์



# สารบัญ

	หน้า
ใบรับรองปริญญาบัณฑิต.....	ก
บทคัดย่อภาษาไทย.....	ข
บทคัดย่อภาษาอังกฤษ.....	ค
กิตติกรรมประกาศ .....	ง
สารบัญ.....	จ
สารบัญตาราง.....	ญ
สารบัญรูป.....	ภ
 บทที่ 1 บทนำ.....	 1
1.1 ที่มาและความสำคัญของโครงการ .....	1
1.2 วัตถุประสงค์ของโครงการ .....	1
1.3 ขอบเขตโครงการ .....	1
1.4 แผนการดำเนินงาน .....	2
1.5 ประโยชน์ที่คาดว่าจะได้รับ .....	2
1.6 งบประมาณ.....	2
 บทที่ 2 หลักการและทฤษฎีเบื้องต้น.....	 3
2.1 มอเตอร์อินดัคชัน (Induction Motors) .....	3
2.2 โครงสร้างของมอเตอร์อินดัคชัน 3 เฟส (Induction Motor Construction) .....	3
2.3 หลักการทำงาน (Principle of Operation).....	4
2.4 ความผิดปกติของเครื่องจักรกลไฟฟ้า .....	4
2.5 แบร์ิง (Bearing) .....	4
2.6 ความผิดปกติในมอเตอร์ที่เกี่ยวกับแบร์ิง .....	6
2.7 การวินิจฉัยความผิดปกติของมอเตอร์ .....	6
 บทที่ 3 ออกแบบการทดลอง .....	 7
3.1 การออกแบบการทดลอง.....	7
3.1.1 การออกแบบการทดลองการวัดค่ากระแสโดยใช้เครื่องบันทึกข้อมูล .....	7

## สารบัญ(ต่อ)

3.1.2 ขั้นตอนและวิธีการทดลอง.....	8
3.2 อุปกรณ์ที่ใช้ในการทดลอง .....	8
3.2.1แบบริงที่ใช้ในการทดลอง .....	10
3.3 การเก็บค่าสัญญาณกระแสเตอร์.....	11
3.3.1 วิเคราะห์ลักษณะสัญญาณ .....	12
3.4 การวิเคราะห์สัญญาณเสียง .....	12
บทที่ 4 ผลการทดลอง .....	13
4.1 ผลการทดลองเมื่อแบร์จเกิดสนิม โดยวิธีการวิเคราะห์ด้วยการแปลงสัญญาณเสียง.....	13
4.1.1 สัญญาณเสียงกรณีแบร์จแข่น้ำเกลือ 1 วัน ขนาดมอเตอร์ขับ โคลด 0 เปอร์เซนต์.....	13
4.1.2 สัญญาณเสียงกรณีแบร์จแข่น้ำเกลือ 1 วัน ขนาดมอเตอร์ขับ โคลด 25 เปอร์เซนต์...13	13
4.1.3 สัญญาณเสียงกรณีแบร์จแข่น้ำเกลือ 1 วัน ขนาดมอเตอร์ขับ โคลด 50 เปอร์เซนต์...14	14
4.1.4 สัญญาณเสียงกรณีแบร์จแข่น้ำเกลือ 1 วัน ขนาดมอเตอร์ขับ โคลด 75 เปอร์เซนต์...14	14
4.1.5 สัญญาณเสียงกรณีแบร์จแข่น้ำเกลือ 1 วัน ขนาดมอเตอร์ขับ โคลด 100 เปอร์เซนต์.15	15
4.1.6 สัญญาณเสียงกรณีแบร์จแข่น้ำเกลือ 2 วัน ขนาดมอเตอร์ขับ โคลด 0 เปอร์เซนต์....15	15
4.1.7 สัญญาณเสียงกรณีแบร์จแข่น้ำเกลือ 2 วัน ขนาดมอเตอร์ขับ โคลด 25 เปอร์เซนต์...16	16
4.1.8 สัญญาณเสียงกรณีแบร์จแข่น้ำเกลือ 2 วัน ขนาดมอเตอร์ขับ โคลด 50 เปอร์เซนต์...16	16
4.1.9 สัญญาณเสียงกรณีแบร์จแข่น้ำเกลือ 2 วัน ขนาดมอเตอร์ขับ โคลด 75 เปอร์เซนต์...17	17
4.1.10 สัญญาณเสียงกรณีแบร์จแข่น้ำเกลือ 2 วัน ขนาดมอเตอร์ขับ โคลด 100 เปอร์เซนต์17	17
4.1.11 สัญญาณเสียงกรณีแบร์จแข่น้ำเกลือ 3 วัน ขนาดมอเตอร์ขับ โคลด 0 เปอร์เซนต์...18	18
4.1.12 สัญญาณเสียงกรณีแบร์จแข่น้ำเกลือ 3 วัน ขนาดมอเตอร์ขับ โคลด 25 เปอร์เซนต์.18	18
4.1.13 สัญญาณเสียงกรณีแบร์จแข่น้ำเกลือ 3 วัน ขนาดมอเตอร์ขับ โคลด 50 เปอร์เซนต์.19	19
4.1.14 สัญญาณเสียงกรณีแบร์จแข่น้ำเกลือ 3 วัน ขนาดมอเตอร์ขับ โคลด 75 เปอร์เซนต์.19	19
4.1.15 สัญญาณเสียงกรณีแบร์จแข่น้ำเกลือ 3 วัน ขนาดมอเตอร์ขับ โคลด 100 เปอร์เซนต์20	20
4.1.16 สัญญาณเสียงกรณีแบร์จแข่น้ำเกลือ 4 วัน ขนาดมอเตอร์ขับ โคลด 0 เปอร์เซนต์...20	20
4.1.17 สัญญาณเสียงกรณีแบร์จแข่น้ำเกลือ 4 วัน ขนาดมอเตอร์ขับ โคลด 25 เปอร์เซนต์.21	21
4.1.18 สัญญาณเสียงกรณีแบร์จแข่น้ำเกลือ 4 วัน ขนาดมอเตอร์ขับ โคลด 50 เปอร์เซนต์.21	21
4.1.19 สัญญาณเสียงกรณีแบร์จแข่น้ำเกลือ 4 วัน ขนาดมอเตอร์ขับ โคลด 75 เปอร์เซนต์.22	22
4.1.20 สัญญาณเสียงกรณีแบร์จแข่น้ำเกลือ 4 วัน ขนาดมอเตอร์ขับ โคลด 100 เปอร์เซนต์22	22

สารบัญ(ต่อ)

## สารบัญ(ต่อ)

4.2.17 สัญญาณกระแสกรณีเบร์ริ่งแซ่น้ำเกลือ 4 วัน ขนาดมอเตอร์ขับ荷重 25 เปอร์เซนต์	33
4.2.18 สัญญาณกระแสกรณีเบร์ริ่งแซ่น้ำเกลือ 4 วัน ขนาดมอเตอร์ขับ荷重 50 เปอร์เซนต์	34
4.2.19 สัญญาณกระแสกรณีเบร์ริ่งแซ่น้ำเกลือ 4 วัน ขนาดมอเตอร์ขับ荷重 75 เปอร์เซนต์	34
4.2.20 สัญญาณกระแสกรณีเบร์ริ่งแซ่น้ำเกลือ 4 วัน ขนาดมอเตอร์ขับ荷重 100 เปอร์เซนต์	35
4.2.21 สัญญาณเสียงกรณีเบร์ริ่งแซ่น้ำเกลือ 5 วัน ขนาดมอเตอร์ขับ荷重 0 เปอร์เซนต์...35	35
4.2.22 สัญญาณเสียงกรณีเบร์ริ่งแซ่น้ำเกลือ 5 วัน ขนาดมอเตอร์ขับ荷重 25 เปอร์เซนต์..36	36
4.2.23 สัญญาณเสียงกรณีเบร์ริ่งแซ่น้ำเกลือ 5 วัน ขนาดมอเตอร์ขับ荷重 50 เปอร์เซนต์..36	36
4.2.24 สัญญาณเสียงกรณีเบร์ริ่งแซ่น้ำเกลือ 5 วัน ขนาดมอเตอร์ขับ荷重 75 เปอร์เซนต์..37	37
4.2.25 สัญญาณเสียงกรณีเบร์ริ่งแซ่น้ำเกลือ 5 วัน ขนาดมอเตอร์ขับ荷重 100 เปอร์เซนต์37	37
4.3 แสดงผลการทดลองเบร์ริบเที่ยนสัญญาณเสียง.....38	38
4.3.1 สัญญาณเสียงเบร์ริ่งแซ่น้ำเกลือ 1 วัน.....38	38
4.3.2 สัญญาณเสียงเบร์ริ่งแซ่น้ำเกลือ 2 วัน.....41	41
4.3.3 สัญญาณเสียงเบร์ริ่งแซ่น้ำเกลือ 3 วัน.....44	44
4.3.4 สัญญาณเสียงเบร์ริ่งแซ่น้ำเกลือ 4 วัน.....47	47
4.3.5 สัญญาณเสียงเบร์ริ่งแซ่น้ำเกลือ 5 วัน.....50	50
4.4 แสดงผลการทดลองเบร์ริบเที่ยนสัญญาณกระแส.....53	53
4.4.1 สัญญาณกระแสที่ความถี่ 0 เปอร์เซนต์.....53	53
4.4.2 สัญญาณกระแสที่ความถี่ 25 เปอร์เซนต์.....56	56
4.4.3 สัญญาณกระแสที่ความถี่ 50 เปอร์เซนต์.....59	59
4.4.4 สัญญาณกระแสที่ความถี่ 75 เปอร์เซนต์.....62	62
4.4.5 สัญญาณกระแสที่ความถี่ 100 เปอร์เซนต์.....65	65
บทที่ 5 สรุปผลการทดลอง และข้อเสนอแนะ .....68	68
5.1 สรุปผลการทดลอง .....	68
5.2 ปัญหา ข้อเสนอแนะ และแนวทางแก้ไข.....68	68

## สารบัญ(ต่อ)

เอกสารอ้างอิง .....	69
ประวัติผู้ดำเนินโครงการ.....	70



# สารบัญรูป

รูปที่	หน้า
2.1 มอเตอร์อินคัทชั่น.....	3
2.2 โครงสร้างภายในของมอเตอร์อินคัทชั่น [1].....	3
2.3 ขนาดของแบริ่งที่ใช้ศึกษา .....	5
3.1 รูปวงจรที่ใช้ในการทดสอบ.....	7
3.2 รูปใบโทรศัพท์ที่ต่อเพื่อเก็บค่าสัญญาณเสียง.....	7
3.3 อินคัทชั่นมอเตอร์ 3 เฟส 220 V 0.4 kW 4 pole 1410r/min .....	8
3.4 CT และตัวค้านทาน 0.1 โอมห 3 ชุด .....	8
3.5 มัลติมิเตอร์ .....	8
3.6 เครื่องบันทึกสัญญาณกระแส .....	8
3.7 เครื่องวัดความเร็วรอบ .....	9
3.8 แหล่งจ่ายไฟฟ้า.....	9
3.9 กล้องเก็บเสียง .....	9
3.10 ไมโครโฟน .....	9
3.11 ชุดทดลองแบริ่ง .....	9
3.12 ชุดปรับไฟดู.....	9
3.13 แบริ่งแขวน้ำเกลือ 1 วัน .....	10
3.14 แบริ่งแขวน้ำเกลือ 2 วัน .....	10
3.15 แบริ่งแขวน้ำเกลือ 3 วัน .....	10
3.16 แบริ่งแขวน้ำเกลือ 4 วัน .....	11
3.17 แบริ่งแขวน้ำเกลือ 5 วัน .....	11
3.18 การเก็บค่าสัญญาณกระแสเดือนร์ .....	11
3.19 การเก็บค่าสัญญาณเสียง .....	12
4.1 สัญญาณเสียงเมื่อแบริ่งในอินคัทชั่นมอเตอร์ที่เกิดสนิม .....	13
4.2 สัญญาณเสียงเมื่อแบริ่งในอินคัทชั่นมอเตอร์ที่เกิดสนิม .....	13
4.3 สัญญาณเสียงเมื่อแบริ่งในอินคัทชั่นมอเตอร์ที่เกิดสนิม .....	14
4.4 สัญญาณเสียงเมื่อแบริ่งในอินคัทชั่นมอเตอร์ที่เกิดสนิม .....	14
4.5 สัญญาณเสียงเมื่อแบริ่งในอินคัทชั่นมอเตอร์ที่เกิดสนิม .....	15
4.6 สัญญาณเสียงเมื่อแบริ่งในอินคัทชั่นมอเตอร์ที่เกิดสนิม .....	15
4.7 สัญญาณเสียงเมื่อแบริ่งในอินคัทชั่นมอเตอร์ที่เกิดสนิม .....	16

## สารบัญรูป(ต่อ)

## สารบัญรูป(ต่อ)

รูปที่	หน้า
4.36 สัญญาณกระแสสเตเตอร์	30
4.37 สัญญาณกระแสสเตเตอร์	31
4.38 สัญญาณกระแสสเตเตอร์	31
4.39 สัญญาณกระแสสเตเตอร์	32
4.40 สัญญาณกระแสสเตเตอร์	32
4.41 สัญญาณกระแสสเตเตอร์	33
4.42 สัญญาณกระแสสเตเตอร์	33
4.43 สัญญาณกระแสสเตเตอร์	34
4.44 สัญญาณกระแสสเตเตอร์	34
4.45 สัญญาณกระแสสเตเตอร์	35
4.46 สัญญาณกระแสสเตเตอร์	35
4.47 สัญญาณกระแสสเตเตอร์	36
4.48 สัญญาณกระแสสเตเตอร์	36
4.49 สัญญาณกระแสสเตเตอร์	37
4.50 สัญญาณกระแสสเตเตอร์	37
4.51 สัญญาณเตียงที่รวม荷ลคภายใน 1 วัน	39
4.52 กราฟสัญญาณแอนปริจุกของเตียงแบริ่งแข่น้ำเกลือ 1 วัน	40
4.53 สัญญาณเตียงที่รวม荷ลคภายใน 2 วัน	42
4.54 กราฟสัญญาณแอนปริจุกของเตียงแบริ่งแข่น้ำเกลือ 2 วัน	43
4.55 สัญญาณเตียงที่รวม荷ลคภายใน 3 วัน	45
4.56 กราฟสัญญาณแอนปริจุกของเตียงแบริ่งแข่น้ำเกลือ 3 วัน	46
4.57 สัญญาณเตียงที่รวม荷ลคภายใน 4 วัน	48
4.58 กราฟสัญญาณแอนปริจุกของเตียงแบริ่งแข่น้ำเกลือ 4 วัน	49
4.59 สัญญาณเตียงที่รวม荷ลคภายใน 5 วัน	51
4.60 กราฟสัญญาณแอนปริจุกของเตียงแบริ่งแข่น้ำเกลือ 5 วัน	52
4.61 สัญญาณกระแสของทั้ง 5 วัน	54
4.62 กราฟสัญญาณแอนปริจุกของกระแสแบริ่งแข่น้ำเกลือ 0 %	55
4.63 สัญญาณกระแสของทั้ง 5 วัน	57

## สารบัญรูป(ต่อ)

รูปที่	หน้า
4.64 กราฟสัญญาณแอนบิรุคของกระแสเบริ่งแข่น้ำเกลือ 25% .....	58
4.65 สัญญาณกระแสของทั้ง 5 วัน.....	60
4.66 กราฟสัญญาณแอนบิรุคของกระแสเบริ่งแข่น้ำเกลือ 50 % .....	61
4.67 สัญญาณกระแสของทั้ง 5 วัน.....	63
4.68 กราฟสัญญาณแอนบิรุคของกระแสเบริ่งแข่น้ำเกลือ 75 % .....	64
4.69 สัญญาณกระแสของทั้ง 5 วัน.....	66
4.70 กราฟสัญญาณแอนบิรุคของกระแสเบริ่งแข่น้ำเกลือ 100 % .....	67



## บทที่ 1

### บทนำ

#### 1.1 ที่มาและความสำคัญของโครงการ

ความเสียหายที่เกิดขึ้นกับแบบร่อง สามารถตรวจสอบได้หลายวิธี โดยปกติแล้วมักนิยมใช้การตรวจสอบโดยการวัดการสั่นสะเทือนของมอเตอร์ แต่เนื่องจากเครื่องมือวัดการสั่นสะเทือนมีราคาแพง จึงไม่เหมาะสมกับการนำมาใช้กับมอเตอร์ขนาดกลางและขนาดเล็ก โครงการนี้จึงนำเสนอวิธีการตรวจสอบความผิดปกติของเบริ่ง ด้วยวิธีการวิเคราะห์สัญญาณกระแสแม้มอเตอร์ และการวิเคราะห์สัญญาณเสียง

#### 1.2 วัตถุประสงค์ของโครงการ

เพื่อศึกษาคุณลักษณะสัญญาณกระแสและสัญญาณเสียงของมอเตอร์เมื่อเบริ่ง เกิดความเสียหายจากการเกิดสนิม

#### 1.3 ขอบเขตโครงการ

วิเคราะห์การตรวจสอบความผิดปกติของเบริ่งที่เกิดจากสนิม โดยวิธีการวิเคราะห์การสัญญาณกระแส และวิธีการวิเคราะห์สัญญาณเสียง

ศึกษาและเปรียบเทียบการตรวจสอบความผิดปกติของโอลด์ 0 เปอร์เซนต์ 25 เปอร์เซนต์ 50 เปอร์เซนต์ 75 เปอร์เซนต์ 100 เปอร์เซนต์

## 1.4 แผนการดำเนินงาน

ตารางที่ 1.1 แสดงแผนการดำเนินงาน

รายละเอียด	ปี 2553							ปี 2554			
	มิ.ย.	ก.ค.	ส.ค.	ก.ย.	ต.ค.	พ.ย.	ธ.ค.	ม.ค.	ก.พ.	มี.ค.	
1) หาหัวข้อโครงงานที่สนใจ											
2) ศึกษาการวิเคราะห์ คุณลักษณะของสัญญาณ สารนอนิกส์ในโคมไฟ ความถี่											
3) ออกรูปแบบการทดลอง											
4) เก็บค่าสัญญาณกระแสและ สัญญาณเสียงของมอเตอร์ ที่แบร์ริง เกิดความเสียหาย ในรูปแบบต่างๆ											
5) วิเคราะห์ผลการทดลอง และสรุปผลการทดลอง											
6) จัดทำรายงาน											

## 1.5 ประโยชน์ที่คาดว่าจะได้รับ

- 1) สามารถตรวจสอบความผิดปกติที่เกิดขึ้นกับแบร์ริงของมอเตอร์ได้
- 2) สามารถป้องกันความเสียหายที่อาจจะเกิดกับมอเตอร์ในอนาคตได้
- 3) สามารถนำความรู้ไปประยุกต์ใช้ในโรงงานอุตสาหกรรมได้

## 1.6 งบประมาณ

ค่าอุปกรณ์ที่ใช้ในการทดลอง	1,000 บาท
ค่าจัดทำรายงาน	1,000 บาท
รวม	2,000 บาท

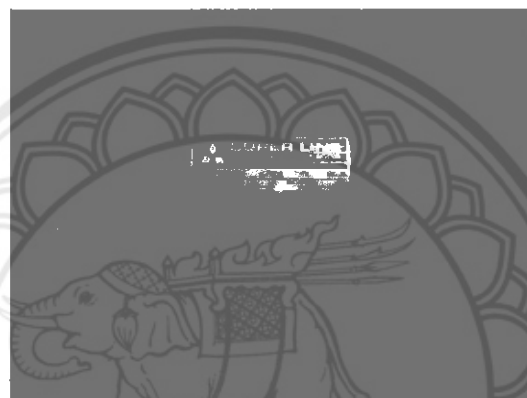
หมายเหตุ ขออนุมัติถ้าแล้วมีภาระการ

## บทที่ 2

### หลักการและทฤษฎีเบื้องต้น

#### 2.1 มอเตอร์อินดัคชัน (Induction Motors)

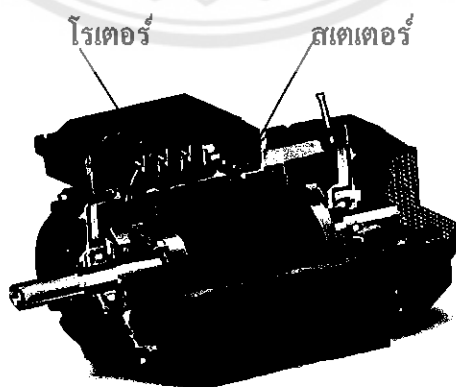
มอเตอร์อินดัคชัน นิยมใช้เป็นมอเตอร์ไฟฟ้า เพื่อเป็นต้นกำลังในการขับเคลื่อนระบบต่าง ๆ เพราะมีข้อดี หลากหลายประการ เช่น ทนทาน บำรุงรักษาง่าย ราคาถูก เมื่อเทียบกับมอเตอร์ส่องไฟแล้วมีประสิทธิภาพดีกว่า



รูปที่ 2.1 มอเตอร์อินดัคชัน

#### 2.2 โครงสร้างของมอเตอร์อินดัคชัน 3 เฟส (Induction Motor Construction)

มอเตอร์อินดัคชันมีส่วนประกอบที่สำคัญคือ ส่วนอยู่กับที่ (Stator) และส่วนที่หมุน (Rotor) ดังแสดงในรูปที่ 2.2



รูปที่ 2.2 โครงสร้างภายในของมอเตอร์อินดัคชัน [1]

### 2.3 หลักการทำงาน (Principle of Operation)

ถ้าจ่ายไฟฟ้ากระแสสลับ 3 เฟสให้ขดลวดอาร์เมเยอร์ที่สเตเตอเรจเกิดสนามแม่เหล็กหมุน เมื่อฟลักแม่เหล็กของสนามแม่เหล็กหมุนเคลื่อนตัวตัดผ่านตัวนำที่ปั้งอยู่ในโรเตอร์จะเกิดการเห็นี่ยวนำและเนื่องจากโรเตอร์ถูกลัดวงจรจึงเกิดแรงดันไฟฟ้าเหนี่ยวนำและแรงบิด มีผลทำให้โรเตอร์หมุนไปในทิศทางเดียวกับสนามแม่เหล็กหมุน

$$N_s = \frac{120f}{P} \quad (2-1)$$

$N_s$  = ความเร็วชิงโครนัส

$f$  = ความถี่หertz ของไฟฟ้ากระแสสลับ

$P$  = จำนวนขั้วแม่เหล็กของมอเตอร์

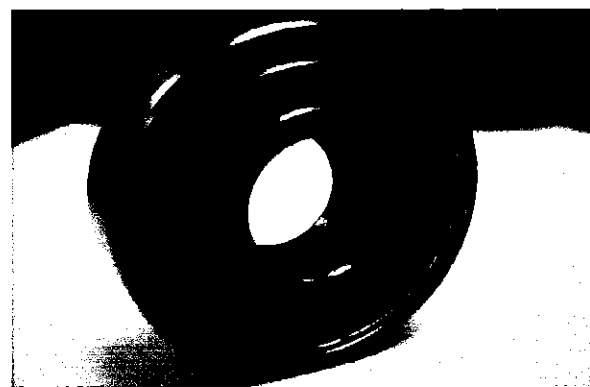
การกลับทิศทางการหมุนของมอเตอร์อินดักชันทำได้ง่ายเพียงแก่สลับสายไฟคู่ใดคู่หนึ่งที่จ่ายให้ขดลวดที่สเตเตอเรจทำให้สนามแม่เหล็กหมุนและโรเตอร์หมุนกลับทิศทางได้ จึงเป็นข้อดีของมอเตอร์ชนิดนี้

### 2.4 ความผิดปกติของเครื่องจักรกลไฟฟ้า

ความผิดปกติภายในมอเตอร์

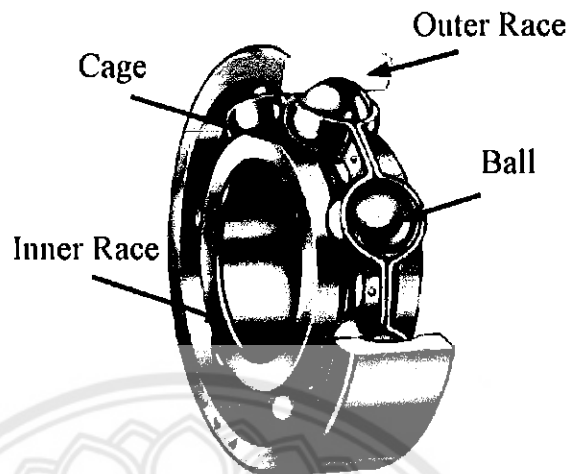
- ความผิดปกติภายในตัวมอเตอร์ได้แก่ การลัดวงจรระหว่างขดลวด (Short-turn Winding), การลัดวงจรของขดลวดลงดิน (Earth Fault Winding)

### 2.5 แบริ่ง (Bearing)



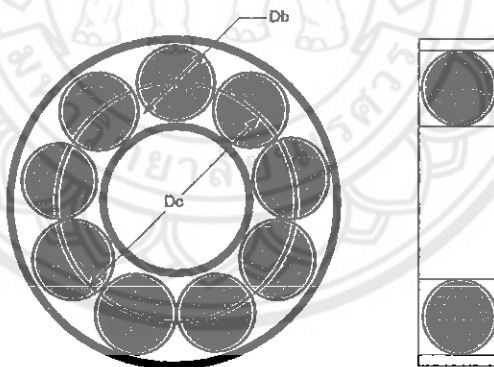
รูปที่ 2.5 แบริ่ง

แบริ่งเป็นองค์ประกอบสำคัญของมอเตอร์ที่ต้องการ การหล่อถ่าน แบริ่งเป็นอุปกรณ์ที่ช่วยรองรับหรือช่วยยึดชิ้นส่วนต่างๆ ที่มีการหมุนให้อยู่ในตำแหน่ง แบริ่ง มีหลายชนิด ขึ้นอยู่กับการออกแบบ และใช้งาน



รูปที่ 2.6 ส่วนประกอบของแบริ่ง [3]

แบริ่งลูกปืน ในรูป 2.6 เมื่อแบริ่งเริ่มหมุนจะเกิดการเสียดสีระหว่างลูกปืน และร่องลิ้นค้านใน และค้านนอก ซึ่งจะทำให้เกิดแรงเสียดทานขึ้น และในการณ์ที่แบริ่งเกิดสนิมแบริ่งก็จะเกิดแรงเสียดทานขึ้นด้วย โดยแรงเสียดทานนี้สามารถลดลงได้โดยการใช้สารบีเป็นตัวหล่อถ่าน



รูปที่ 2.3 ขนาดของแบริ่งที่ใช้ศึกษา

โดยขนาดของแบริ่งที่ใช้ในการทดลองมีรายละเอียดดังนี้

แบริ่งค้านหน้าของมอเตอร์ (เบอร์ 6202)

$D_b$ (cm.)	$D_c$ (cm.)	$N_b$ (Number)
0.60	2.53	8

### แบบร่องด้านหลังของมอเตอร์ (เบอร์ 6201)

$D_b$ (cm.)	$D_c$ (cm.)	$N_b$ (Number)
0.56	2.23	7

### 2.6 ความผิดปกติในมอเตอร์ที่เกี่ยวกับแบริ่ง

ความเสียหายของอินดักชั่นของมอเตอร์ประกอบด้วยหลายสาเหตุแต่ที่เกิดความเสียหายจากแบริ่งอาจมีสาเหตุมาได้ดังนี้

1) ทางกล (Mechanic) เนื่องจากแบริ่งอาจรับโหลดที่หนักกว่าขนาดพิกัดของแบริ่ง ส่งผลทำให้แบริ่งเกิดความเสียหายได้

2) ความชื้น (Moisture) เนื่องจากแบริ่งได้รับความชื้นขณะทำงาน ส่งผลทำให้แบริ่งเกิดสนิมชื้น ทำให้การทำงานของแบริ่งมีประสิทธิภาพลดลง (ความเสียดทาน) ส่งผลให้ความเสียหายแก่ตัวแบริ่งตามมา

3) อุณหภูมิสูง (Over-temperature) เนื่องจากแบริ่งขณะทำงาน มีการเสียดสีทำให้เกิดความร้อน และเมื่อความร้อนสะสมเป็นเวลานาน ๆ ส่งผลให้ความเสียหายแก่ตัวแบริ่งตามมา

### 2.7 การวินิจฉัยความผิดปกติของมอเตอร์

โดยปกติแล้วในการวินิจฉัยความผิดปกติของมอเตอร์นี้ด้วยกันหลายวิธี โดยขึ้นอยู่กับผู้ที่ต้องการวินิจฉัยซึ่งสามารถเลือกวิธีที่เหมาะสมกับกรณีของมอเตอร์ ซึ่งมีวิธีดังนี้

- 1) การเฝ้าสังเกตการณ์สั่นสะเทือน (Vibration Monitoring) [4]
- 2) การวิเคราะห์สัญญาณกระแสสเตเตเตอร์ (Motor Current Signature Analysis) [5]
- 3) การเฝ้าสังเกตสนามแม่เหล็ก (Electromagnetic Field Monitoring) [6]
- 4) การวิเคราะห์ทางเคมี (Chemical Analysis) [7]
- 5) การวัดอุณหภูมิ (Temperature Measurement) [8]
- 6) การวัดอินฟราเรด (Infrared Measurement) [9]
- 7) การวัดริชาร์คบงานส่วน (Partial Discharge Measurement) [10]

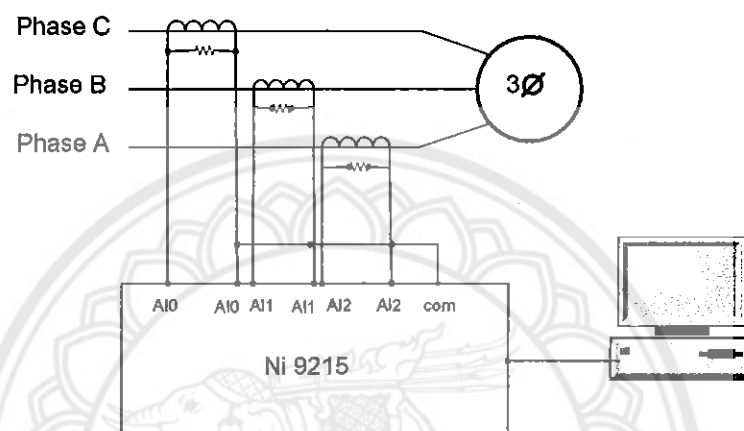
การเปรียบเทียบทักษิณการตรวจสอบความเสียหายของมอเตอร์พบว่า แต่ละเทคนิคการตรวจสอบจะมีความสามารถในการตรวจสอบความผิดปกติที่แตกต่างกันขึ้นอยู่กับต้องการตรวจสอบความเสียหายที่ต้องการ ซึ่งโครงงานนี้พิจารณาเทคนิคการวิเคราะห์ความเสียหายที่เกิดขึ้นกับแบริ่ง เป็นหลัก โดยการวิเคราะห์จากสัญญาณกระแสสเตเตเตอร์ และการศึกษาสัญญาณเสียงเมื่อแบริ่ง เกิดการเสียหายอีกด้วย

### บทที่ 3

#### ออกแบบการทดลอง

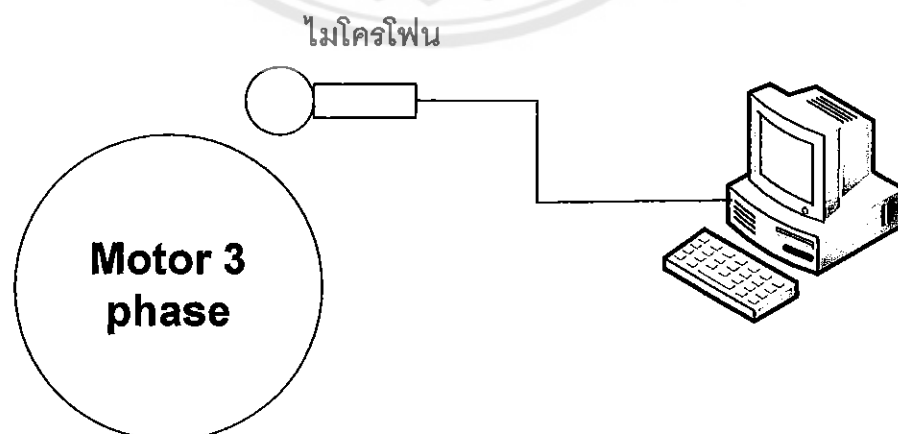
##### 3.1 การออกแบบการทดลอง

###### 3.1.1 การออกแบบการทดลองการวัดค่ากระแสโดยใช้เครื่องบันทึกข้อมูล



รูปที่ 3.1 รูปวงจรที่ใช้ในการทดลอง

รูปที่ 3.1 ใช้มอเตอร์อิเล็กทรอนิกส์สามเฟสวัดค่าของสัญญาณกระแสที่ต่อผ่านเครื่อง NI 9125 ซึ่งทนค่ากระแสได้น้อยจึงใช้มอเตอร์กระแสตรง (DC) สามตัวเพื่อลดค่าสัญญาณกระแสก่อนต่อผ่านเครื่อง NI 9125 และต่อเข้าเครื่องคอมพิวเตอร์เพื่อบันทึกค่าสัญญาณกระแส

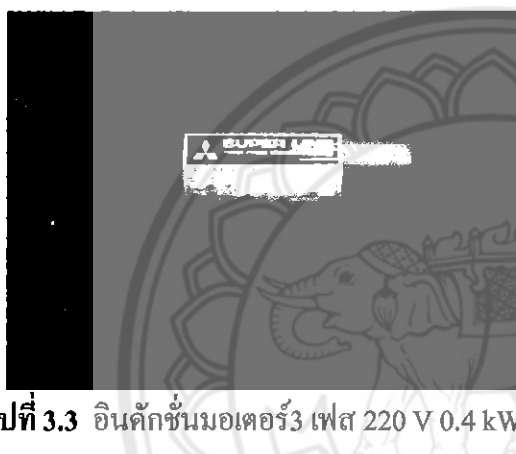


รูปที่ 3.2 รูปไมโครโฟนที่ต่อเพื่อกีบค่าสัญญาณเสียง

### 3.1.2 ขั้นตอนและวิธีการทดลอง

- 1) ใช้ CT เพื่อลดค่ากระแสและ อุปกรณ์บันทึกค่ากระแสต่อเข้าคอมพิวเตอร์
- 2) ต้องจรมอเตอร์ตามรูปที่ 3.1 และรูปที่ 3.2
- 3) ทำการทดสอบมอเตอร์ที่โหลดต่างๆดังนี้ 0%, 25%, 50%, 75% และ 100%
- 4) บันทึกค่าสัญญาณกระแสและสัญญาณเสียงด้วยโปรแกรมแลบวิว
- 5) นำผลการทดลองที่ได้มาพัฒนากราฟเพื่อเปรียบเทียบและวิเคราะห์ผล

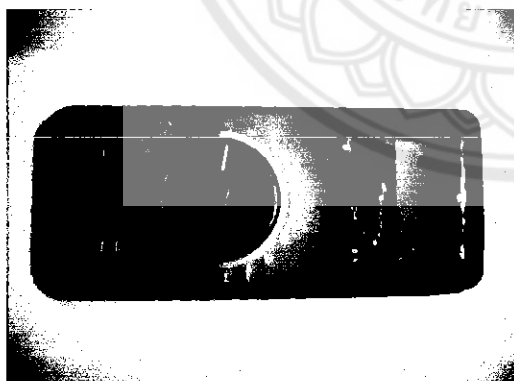
### 3.2 อุปกรณ์ที่ใช้ในการทดลอง



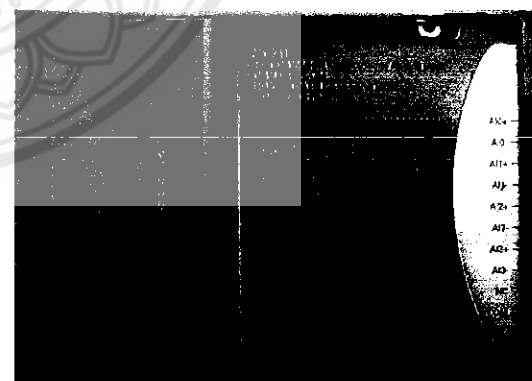
รูปที่ 3.3 อินคั๊กชั่น มอเตอร์ 3 เฟส 220 V 0.4 kW 4 pole 1410r/min



รูปที่ 3.4 CT และตัวต้านทาน 0.1 โอมที่ 3 ชุด



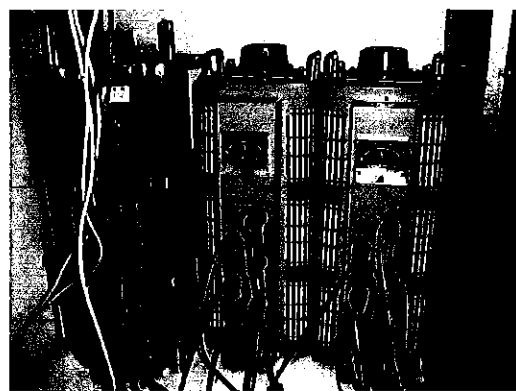
รูปที่ 3.5 มัลติมิเตอร์



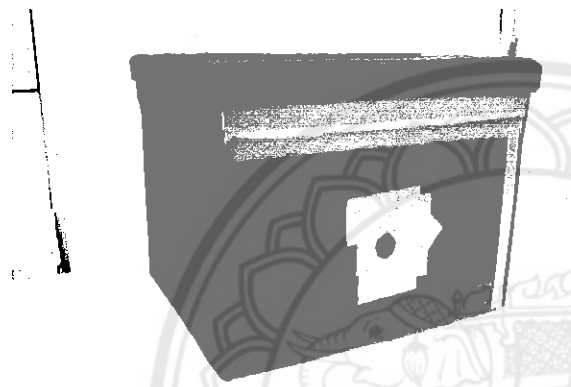
รูปที่ 3.6 เครื่องบันทึกสัญญาณกระแส



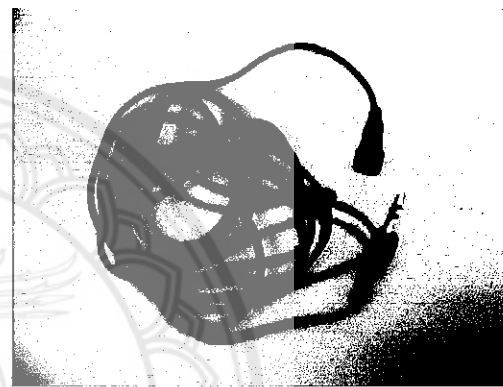
รูปที่ 3.7 เครื่องวัดความเร็วรอบ



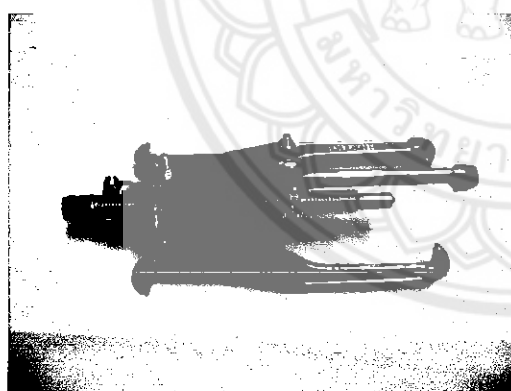
รูปที่ 3.8 แหล่งจ่ายไฟฟ้า



รูปที่ 3.9 กล่องเก็บเสียง



รูปที่ 3.10 ไมโครโฟน

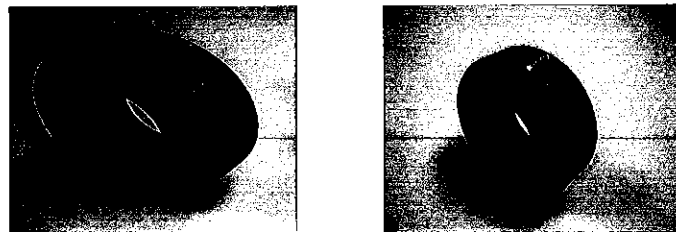


รูปที่ 3.11 ชุดถอดแบตเตอรี่



รูปที่ 3.12 ชุดปรับโหลด

**3.2.1 แบริ่งที่ใช้ในการทดลอง  
แบริ่งแซ่น้ำเกลือ 1 วัน**

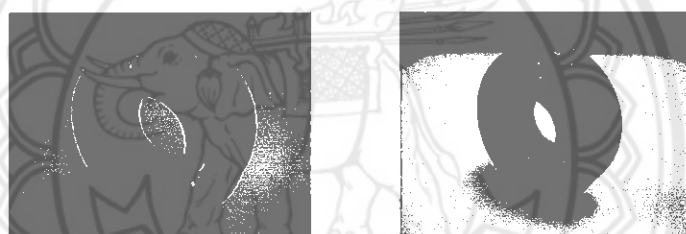


ด้านหน้า

ด้านหลัง

รูปที่ 3.13 แบริ่งแซ่น้ำเกลือ 1 วัน

**แบริ่งแซ่น้ำเกลือ 2 วัน**

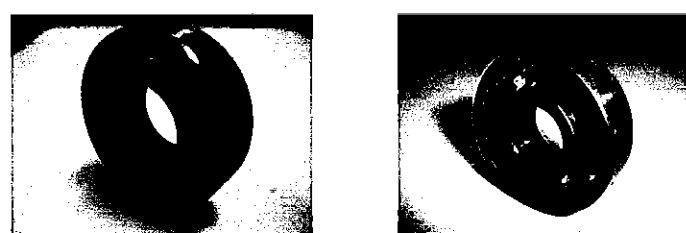


ด้านหน้า

ด้านหลัง

รูปที่ 3.14 แบริ่งแซ่น้ำเกลือ 2 วัน

**แบริ่งแซ่น้ำเกลือ 3 วัน**



ด้านหน้า

ด้านหลัง

รูปที่ 3.15 แบริ่งแซ่น้ำเกลือ 3 วัน

### แบบริงแซ่น้ำเกลือ 4 วัน



ด้านหน้า

ด้านหลัง

รูปที่ 3.16 แบบริงแซ่น้ำเกลือ 4 วัน

### แบบริงแซ่น้ำเกลือ 5 วัน

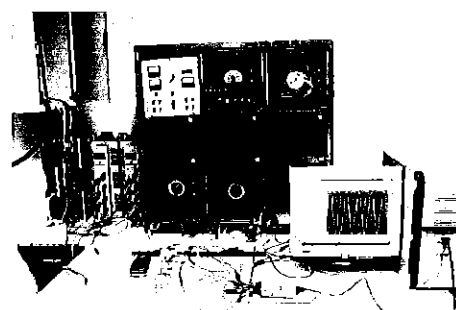


ด้านหน้า

ด้านหลัง

รูปที่ 3.17 แบบริงแซ่น้ำเกลือ 5 วัน

### 3.3 การเก็บค่าสัญญาณกระแสเตาเตอร์



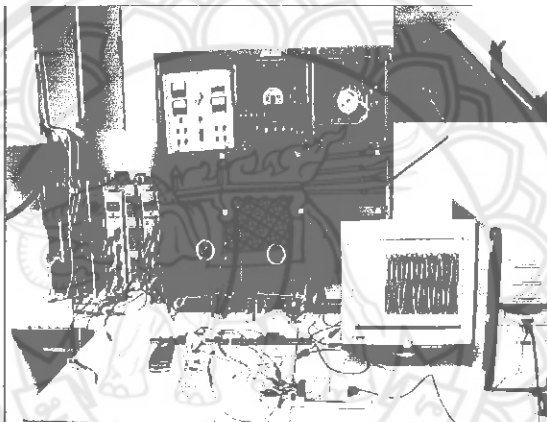
รูปที่ 3.18 การเก็บค่าสัญญาณกระแสเตาเตอร์

เป็นการเก็บค่าสัญญาณกระแสในการทดลองที่มีการต่อวงจรริง โดยเก็บค่าสัญญาณกระแสไว้ในเครื่องคอมพิวเตอร์ดังรูปที่ 3.18

### 3.3.1 วิเคราะห์ลักษณะสัญญาณ

นำข้อมูลที่ได้จากการทดลองมาทำการแปลงข้อมูลจากโคลเมนเวลาມาเป็นโคลเมนความถี่โดยใช้โปรแกรมแมทแลป เมื่อได้ข้อมูลสัญญาณกระแสเป็นโคลเมนความถี่แล้วสามารถวิเคราะห์ความผิดปกติของแบร์จของมอเตอร์

## 3.4 การวิเคราะห์สัญญาณเสียง



รูปที่ 3.19 การเก็บค่าสัญญาณเสียง

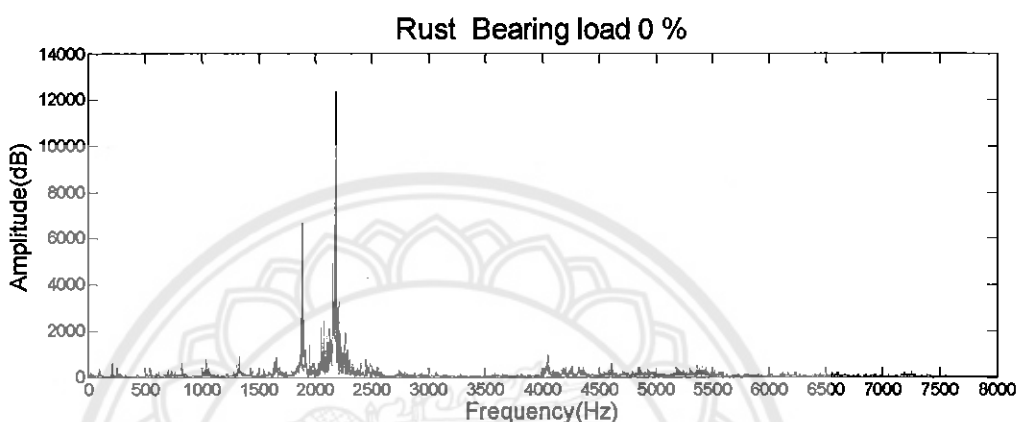
เนื่องจากการทดลองนี้มีการเก็บค่าสัญญาณเสียง มีการใช้ไมโครโฟนต่อเข้ากับเครื่องคอมพิวเตอร์อยู่ภายในกล่องสีแดงในรูปที่ 3.11 ใช้ไมโครโฟนต่อ กับเครื่องคอมพิวเตอร์ เสียง และแปลงค่าเป็นสัญญาณความถี่โดยใช้โปรแกรมແບປົວ เนื่องจากโครงงานนี้ต้องการวิเคราะห์สัญญาณของเสียงในโคลเมนความถี่เมื่อแบร์จ เกิดการเสียหายในกรณีเกิดสนิม จึงจำเป็นต้องใช้กล้องเก็บเสียงเพื่อป้องกันสัญญาณเสียงจากภายนอกมารบกวน โดยกล้องเก็บเสียงนี้ใช้แคมป์เป็นวัสดุในการเก็บเสียง

## บทที่ 4

### ผลการทดลอง

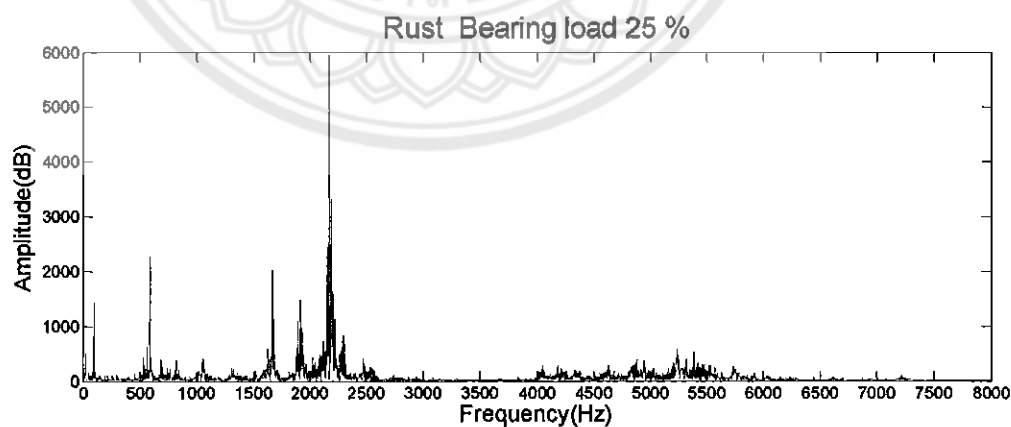
4.1 ผลการทดลองเมื่อแบริ่งเกิดสนิม โดยวิธีการวิเคราะห์ด้วยการแปลงสัญญาณเสียง

4.1.1 สัญญาณเสียงกรณีแบริ่งแห้งแล้ง 1 วัน ขนาดอัตโนมัติขั้นโภลค 0 เปอร์เซนต์



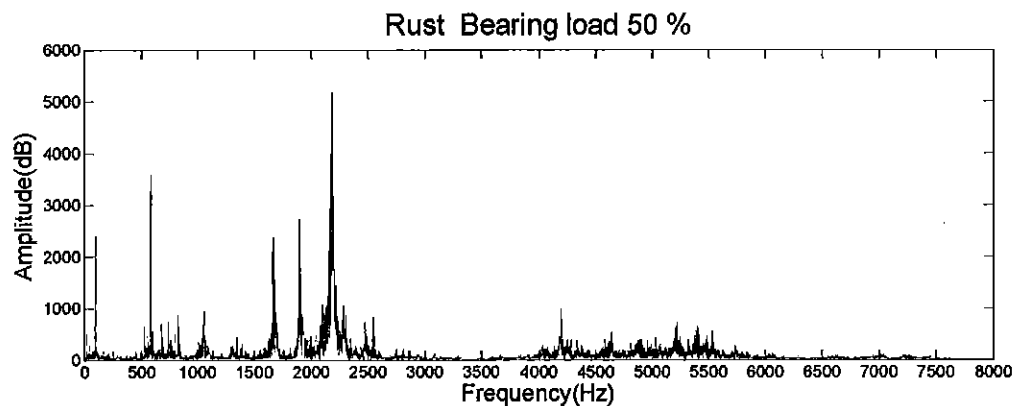
รูปที่ 4.1 สัญญาณเสียงเมื่อแบริ่งในอินดักชั่นมอเตอร์ที่เกิดสนิม

4.1.2 สัญญาณเสียงกรณีแบริ่งแห้งแล้ง 1 วัน ขนาดอัตโนมัติขั้นโภลค 25 เปอร์เซนต์



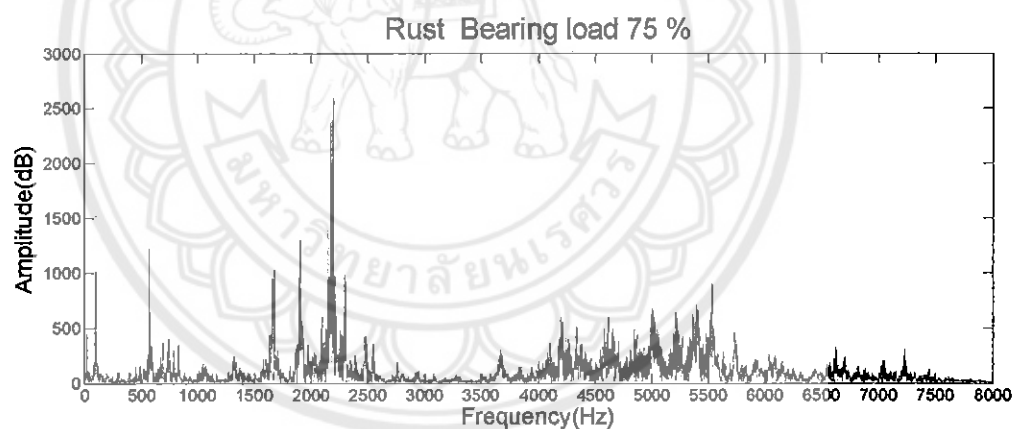
รูปที่ 4.2 สัญญาณเสียงเมื่อแบริ่งในอินดักชั่นมอเตอร์ที่เกิดสนิม

#### 4.1.3 สัญญาณเสียงกรณีแบร์ริงแข็งน้ำเกลือ 1 วัน ขนาดมอเตอร์ขับโหลด 50 เปอร์เซนต์



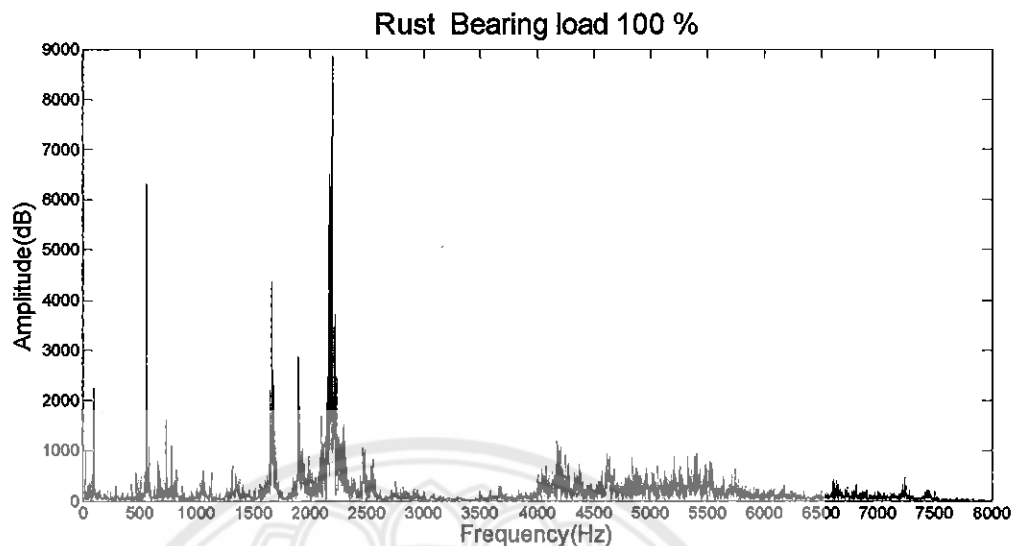
รูปที่ 4.3 สัญญาณเสียงเมื่อแบร์ริงในอินดักชั่นมอเตอร์ที่เกิดสนิม

#### 4.1.4 สัญญาณเสียงกรณีแบร์ริงแข็งน้ำเกลือ 1 วัน ขนาดมอเตอร์ขับโหลด 75 เปอร์เซนต์



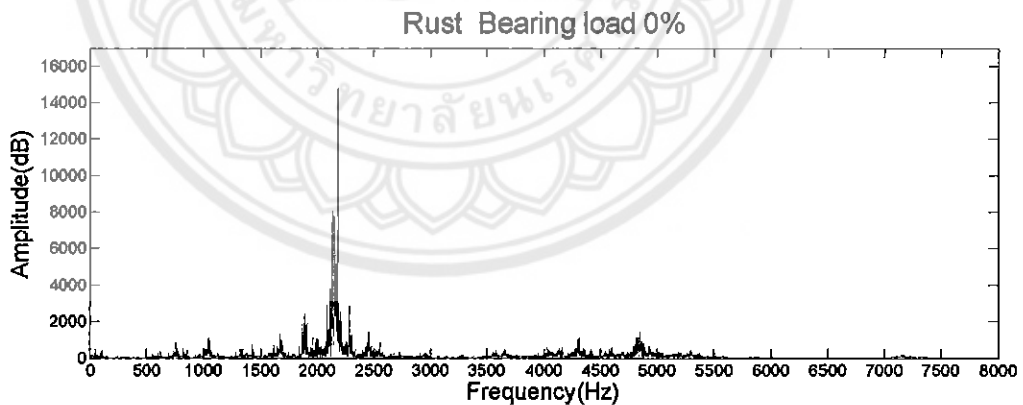
รูปที่ 4.4 สัญญาณเสียงเมื่อแบร์ริงในอินดักชั่นมอเตอร์ที่เกิดสนิม

**4.1.5 สัญญาณเสียงกรณีแบร์จเน่น้ำเกลือ 1 วัน ขนาดนองเตอร์ขับโหลด 100 เปอร์เซนต์**



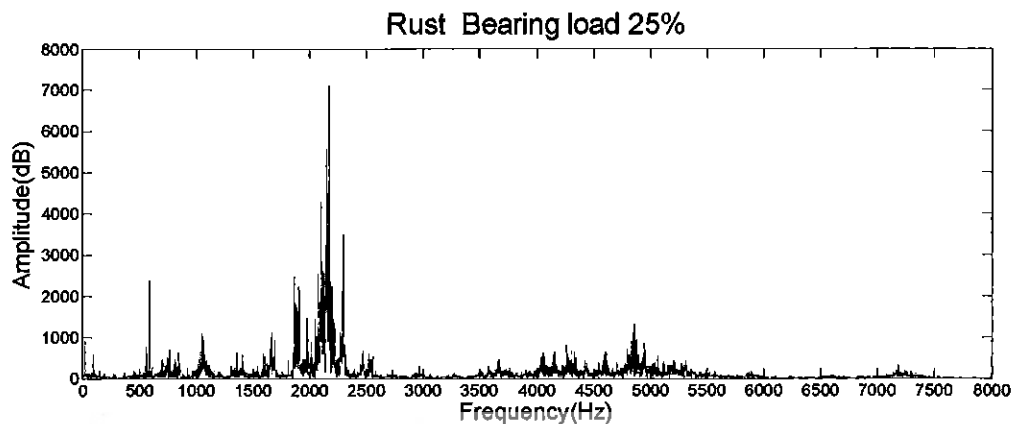
รูปที่ 4.5 สัญญาณเสียงเมื่อแบร์จในอินดักชั่นนองเตอร์ที่เกิดสนิม

**4.1.6 สัญญาณเสียงกรณีแบร์จเน่น้ำเกลือ 2 วัน ขนาดนองเตอร์ขับโหลด 0 เปอร์เซนต์**



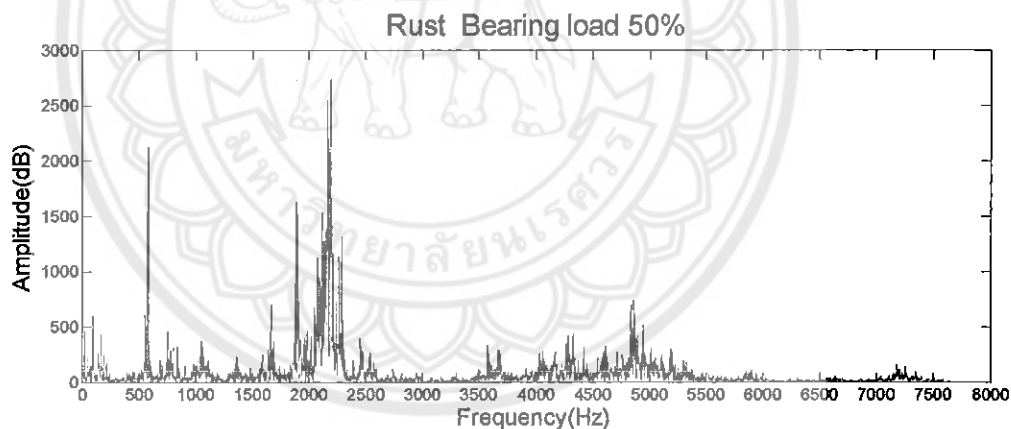
รูปที่ 4.6 สัญญาณเสียงเมื่อแบร์จในอินดักชั่นนองเตอร์ที่เกิดสนิม

#### 4.1.7 สัญญาณเสียงกรณีแบริ่งแข็งแก้วหลังจาก 2 วัน ขนาด载荷ชั้นโภค 25 เปอร์เซนต์



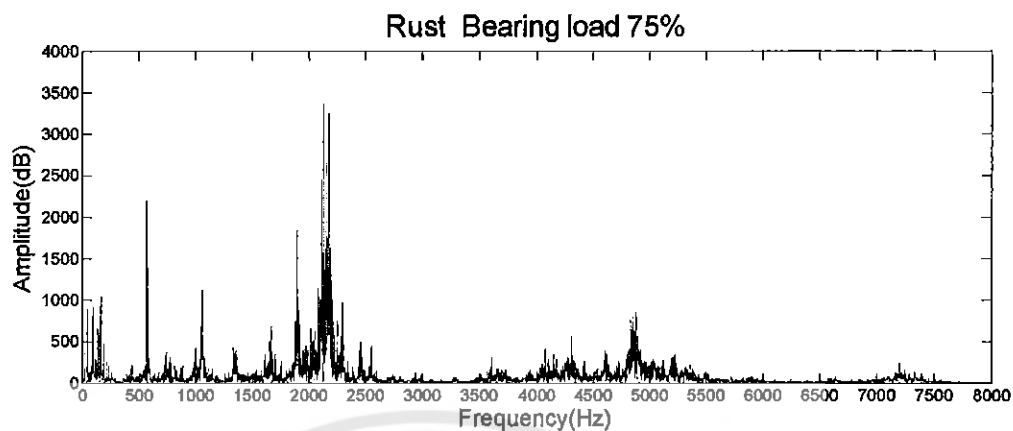
รูปที่ 4.7 สัญญาณเสียงเมื่อแบริ่งในอินคักชั้นมอเตอร์ที่เกิดสนิม

#### 4.1.8 สัญญาณเสียงกรณีแบริ่งแข็งแก้วหลังจาก 2 วัน ขนาด载荷ชั้นโภค 50 เปอร์เซนต์



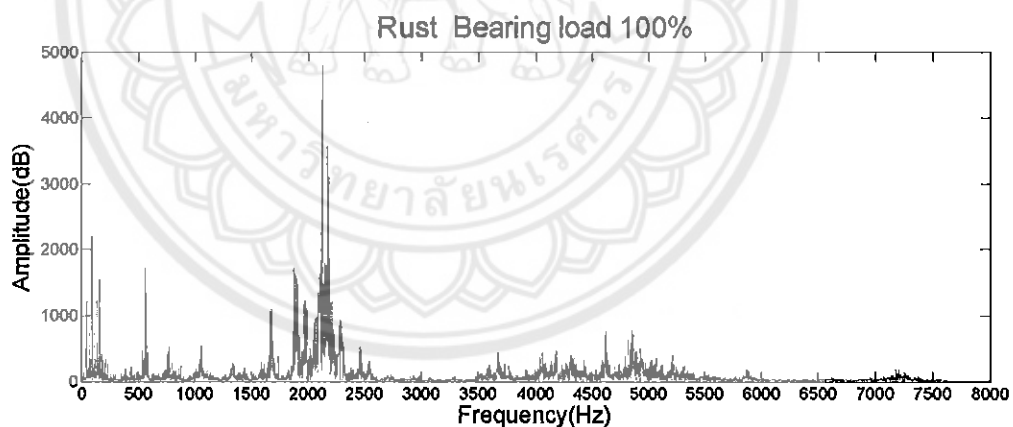
รูปที่ 4.8 สัญญาณเสียงเมื่อแบริ่งในอินคักชั้นมอเตอร์ที่เกิดสนิม

**4.1.9 สัญญาณเสียงกรณีแบร์จชั่น้ำเกลือ 2 วัน ขนาดมอเตอร์ขับโหลด 75 เปอร์เซนต์**



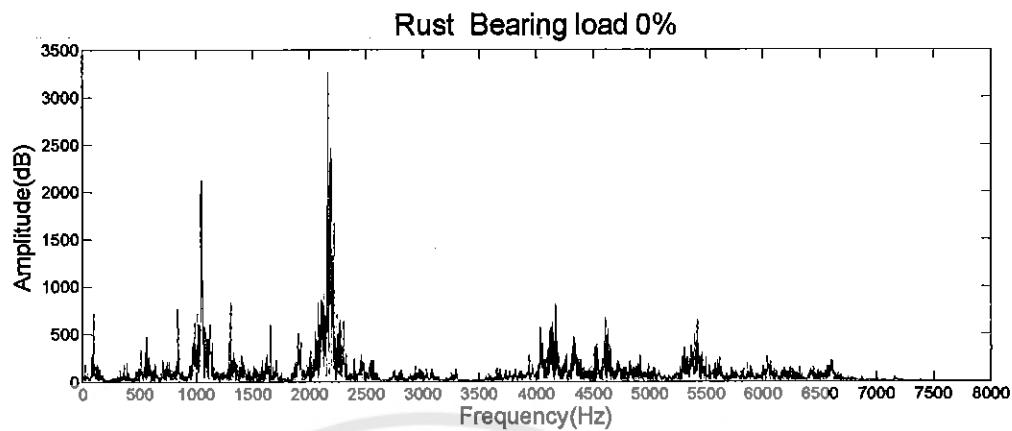
รูปที่ 4.9 สัญญาณเสียงเมื่อแบร์จชั่น้ำเกลือ 2 วัน ขนาดมอเตอร์ขับโหลด 75 เปอร์เซนต์

**4.1.10 สัญญาณเสียงกรณีแบร์จชั่น้ำเกลือ 2 วัน ขนาดมอเตอร์ขับโหลด 100 เปอร์เซนต์**



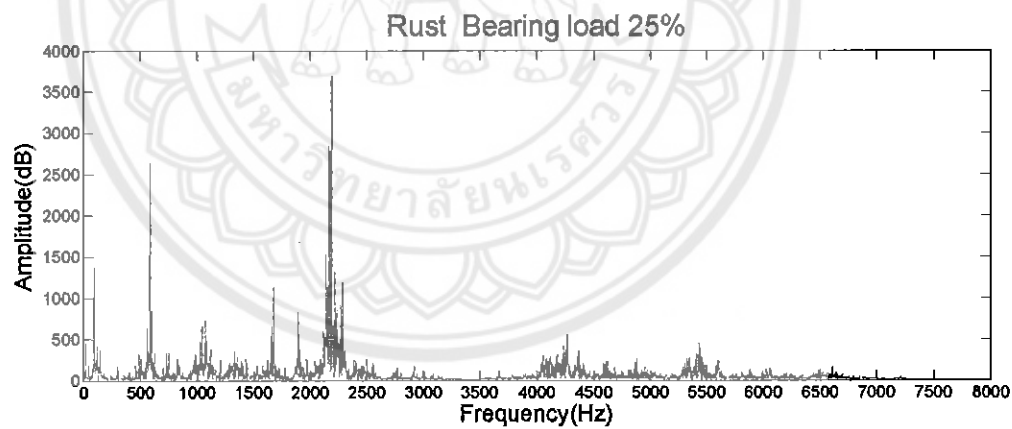
รูปที่ 4.10 สัญญาณเสียงเมื่อแบร์จชั่น้ำเกลือ 2 วัน ขนาดมอเตอร์ขับโหลด 100 เปอร์เซนต์

**4.1.11 สัญญาณเสียงกรณีแบริ่งแข็งน้ำเกลือ 3 วัน ขนาดมอเตอร์ขับโหลด 0 เปอร์เซ็นต์**



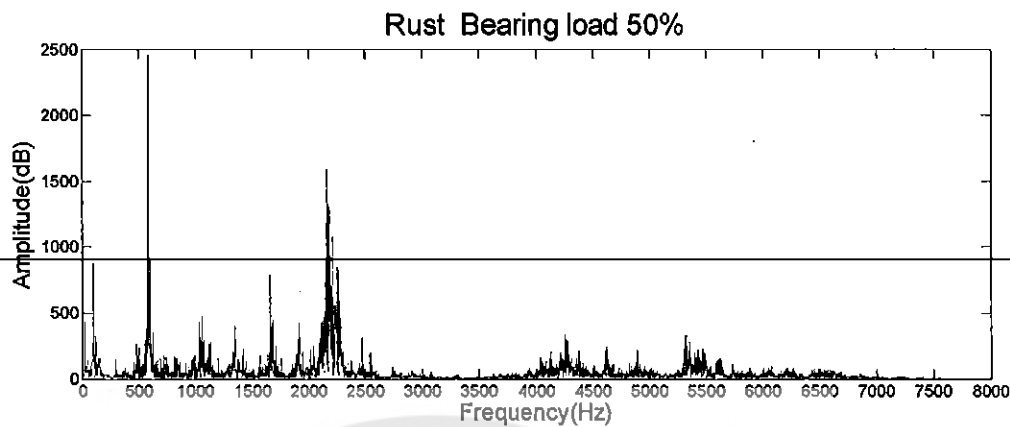
รูปที่ 4.11 สัญญาณเสียงเมื่อแบริ่งในอินดักชั่นมอเตอร์ที่เกิดสนิม

**4.1.12 สัญญาณเสียงกรณีแบริ่งแข็งน้ำเกลือ 3 วัน ขนาดมอเตอร์ขับโหลด 25 เปอร์เซ็นต์**



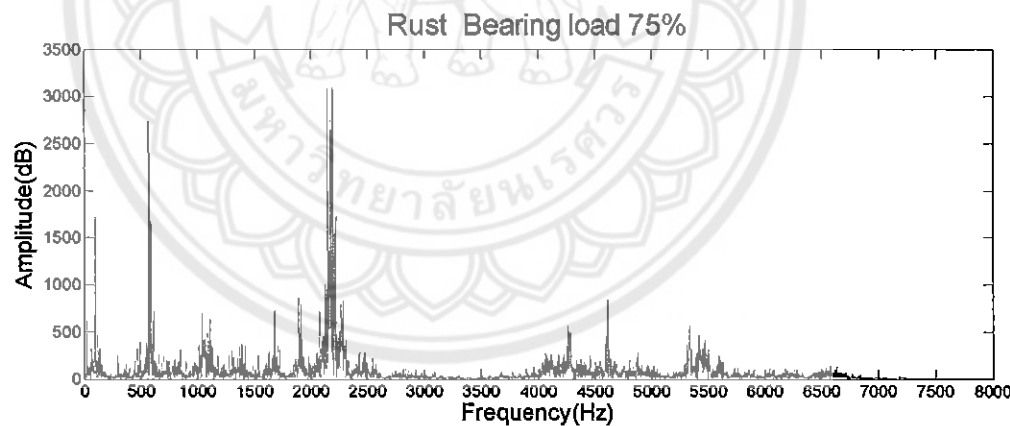
รูปที่ 4.12 สัญญาณเสียงเมื่อแบริ่งในอินดักชั่นมอเตอร์ที่เกิดสนิม

**4.1.13 สัญญาณเสียงกรณีแบร์จแห่น้ำเกลือ 3 วัน ขนาดมอเตอร์ขับโหลด 50 เปอร์เซนต์**



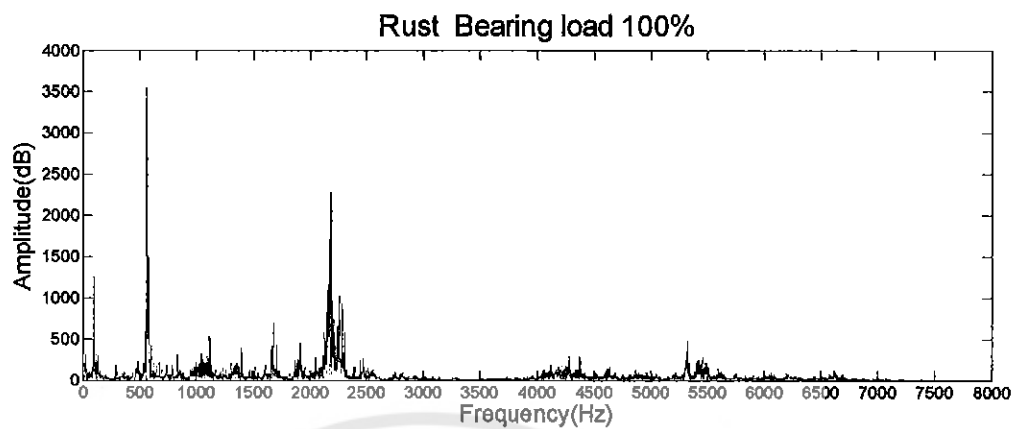
รูปที่ 4.13 สัญญาณเสียงเมื่อแบร์จในอินดักชั่นมอเตอร์ที่เกิดสนิม

**4.1.14 สัญญาณเสียงกรณีแบร์จแห่น้ำเกลือ 3 วัน ขนาดมอเตอร์ขับโหลด 75 เปอร์เซนต์**



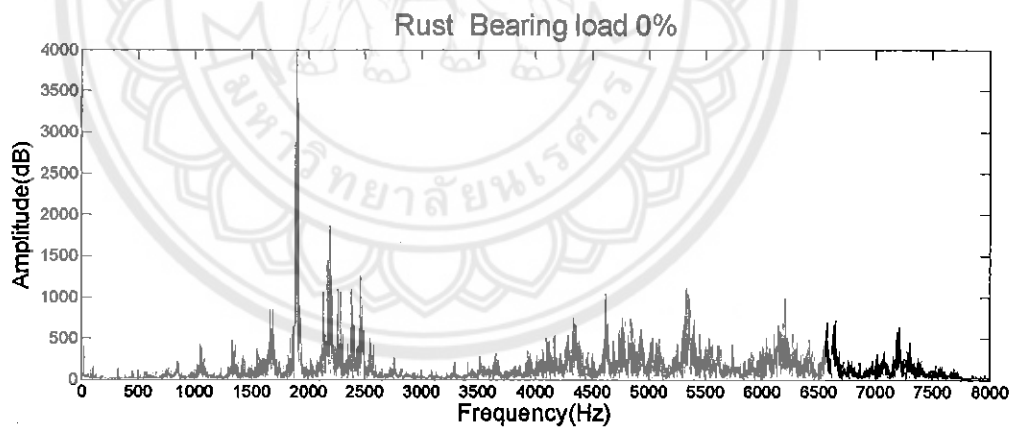
รูปที่ 4.14 สัญญาณเสียงเมื่อแบร์จในอินดักชั่นมอเตอร์ที่เกิดสนิม

**4.1.15 สัญญาณเสียงกรณีเบร์จแห้งน้ำเกลือ 3 วัน ขนาดมอเตอร์ขับโหลด 100 เปอร์เซนต์**



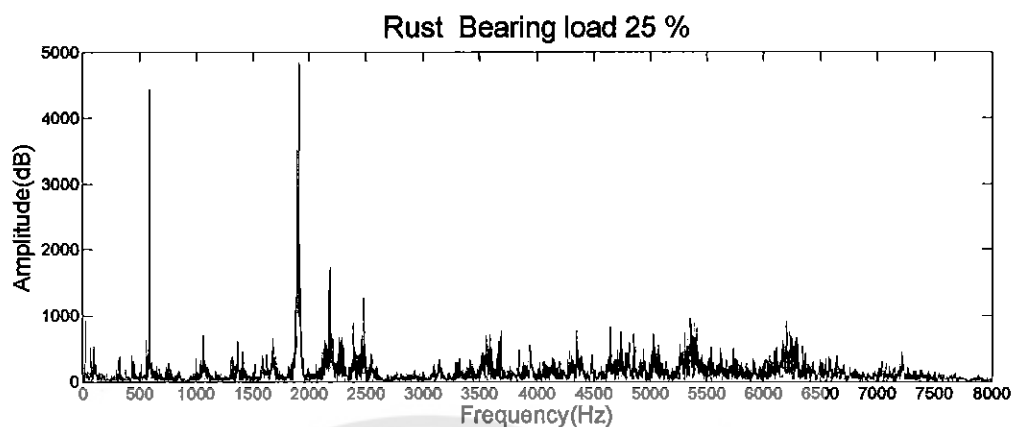
รูปที่ 4.15 สัญญาณเสียงเมื่อแบร์จในอินดี้ชั่นของมอเตอร์ที่เกิดสนิม

**4.1.16 สัญญาณเสียงกรณีเบร์จแห้งน้ำเกลือ 4 วัน ขนาดมอเตอร์ขับโหลด 0 เปอร์เซนต์**



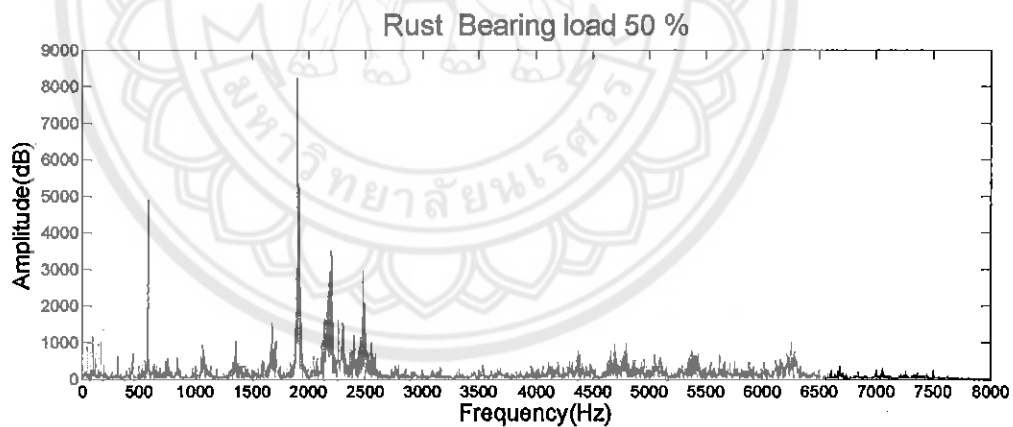
รูปที่ 4.16 สัญญาณเสียงเมื่อแบร์จในอินดี้ชั่นของมอเตอร์ที่เกิดสนิม

**4.1.17 สัญญาณเสียงกรณีแบร์จแห่น้ำเกลือ 4 วัน ขนาดมอเตอร์ขับโหลด 25 เปอร์เซนต์**



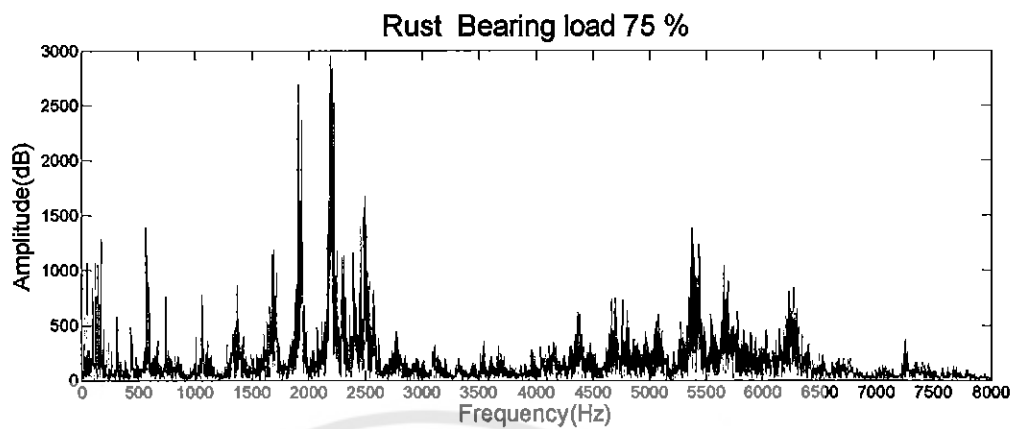
รูปที่ 4.17 สัญญาณเสียงเมื่อแบร์จในอินดักชั่นมอเตอร์ที่เกิดสนิม

**4.1.18 สัญญาณเสียงกรณีแบร์จแห่น้ำเกลือ 4 วัน ขนาดมอเตอร์ขับโหลด 50 เปอร์เซนต์**



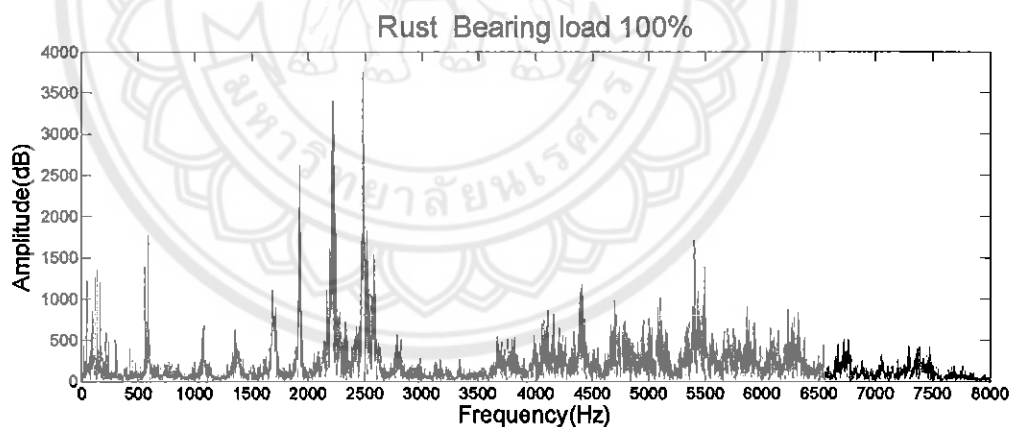
รูปที่ 4.18 สัญญาณเสียงเมื่อแบร์จในอินดักชั่นมอเตอร์ที่เกิดสนิม

**4.1.19 สัญญาณเสียงกรณีแบร์จแข่น้ำเกลือ 4 วัน ขนาดมอเตอร์ขับโหลด 75 เปอร์เซนต์**



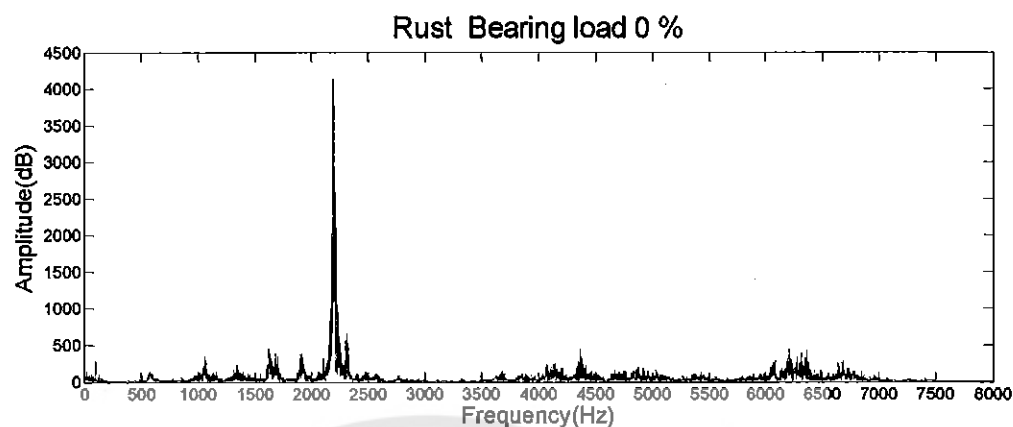
รูปที่ 4.19 สัญญาณเสียงเมื่อแบร์จแข่น้ำเกลือ 4 วัน ขนาดมอเตอร์ขับโหลด 75 เปอร์เซนต์

**4.1.20 สัญญาณเสียงกรณีแบร์จแข่น้ำเกลือ 4 วัน ขนาดมอเตอร์ขับโหลด 100 เปอร์เซนต์**



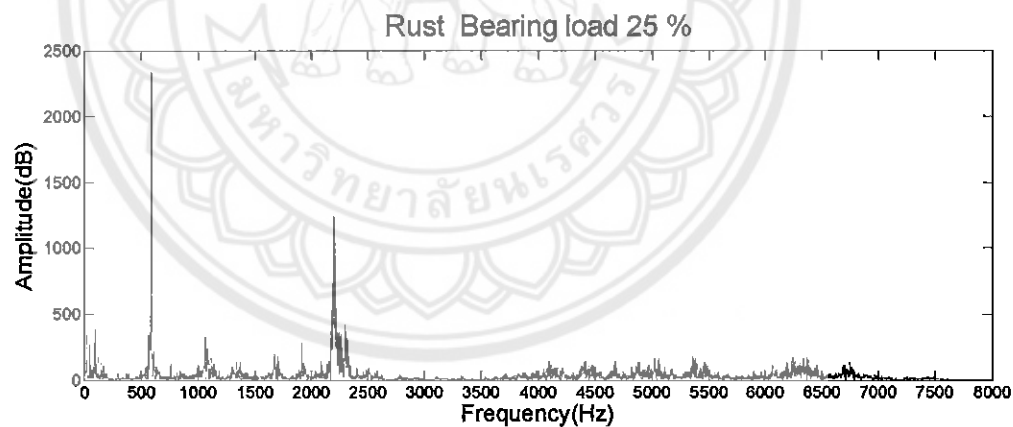
รูปที่ 4.20 สัญญาณเสียงเมื่อแบร์จแข่น้ำเกลือ 4 วัน ขนาดมอเตอร์ขับโหลด 100 เปอร์เซนต์

**4.1.21 สัญญาณเสียงกรณีแบร์จแข็งแกล็อก 5 วัน ขนาดมอเตอร์ขับโหลด 0 เปอร์เซนต์**



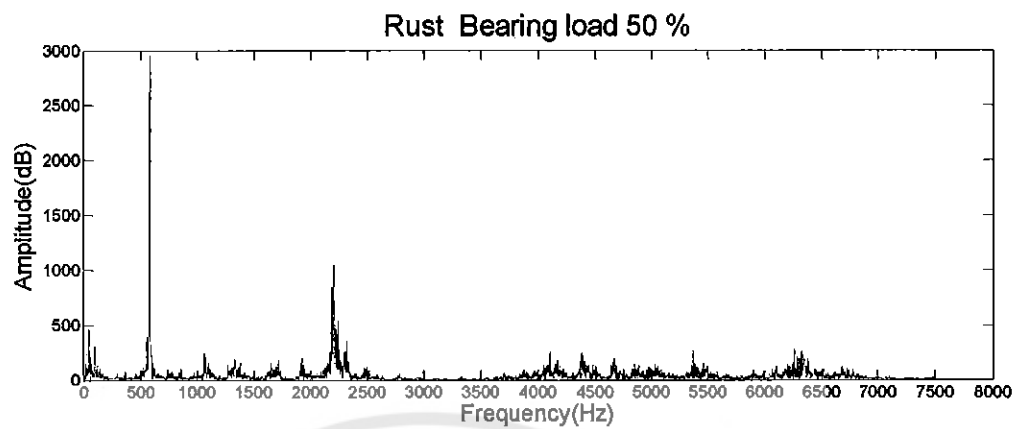
รูปที่ 4.21 สัญญาณเสียงเมื่อแบร์จแข็งแกล็อก 5 วัน ขนาดมอเตอร์ขับโหลด 0 เปอร์เซนต์

**4.1.22 สัญญาณเสียงกรณีแบร์จแข็งแกล็อก 5 วัน ขนาดมอเตอร์ขับโหลด 25 เปอร์เซนต์**



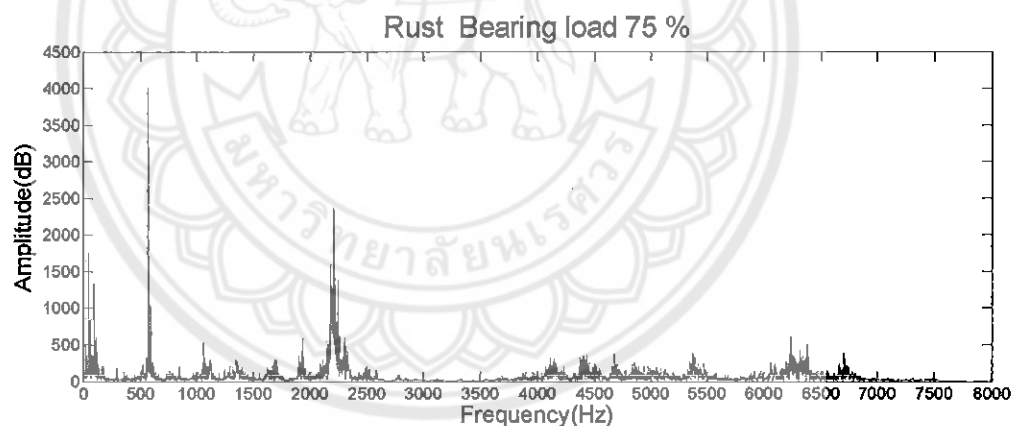
รูปที่ 4.22 สัญญาณเสียงเมื่อแบร์จแข็งแกล็อก 5 วัน ขนาดมอเตอร์ขับโหลด 25 เปอร์เซนต์

**4.1.23 สัญญาณเสียงกรณีแบร์จแห่น้ำเกลือ 5 วัน ขนาดมอเตอร์ขับโหลด 50 เปอร์เซนต์**



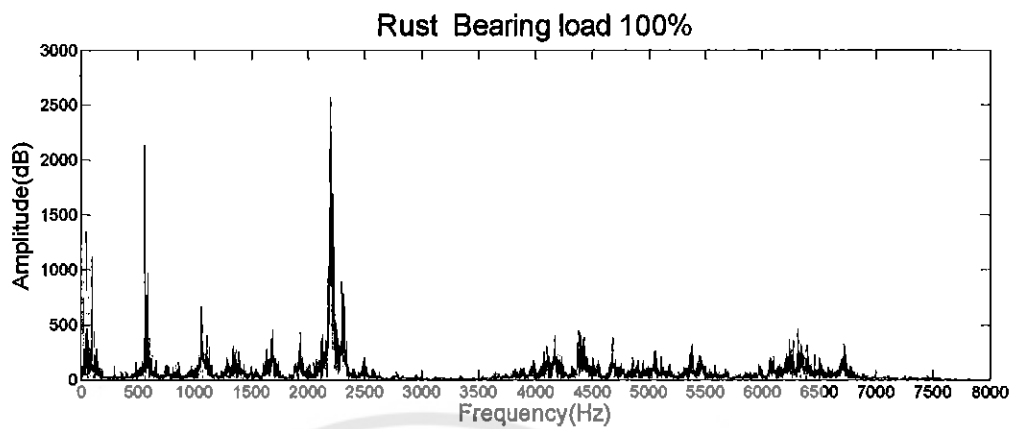
รูปที่ 4.23 สัญญาณเสียงเมื่อแบร์จแห่น้ำเกลือ 5 วัน ขนาดมอเตอร์ขับโหลด 50 เปอร์เซนต์

**4.1.24 สัญญาณเสียงกรณีแบร์จแห่น้ำเกลือ 5 วัน ขนาดมอเตอร์ขับโหลด 75 เปอร์เซนต์**



รูปที่ 4.24 สัญญาณเสียงเมื่อแบร์จแห่น้ำเกลือ 5 วัน ขนาดมอเตอร์ขับโหลด 75 เปอร์เซนต์

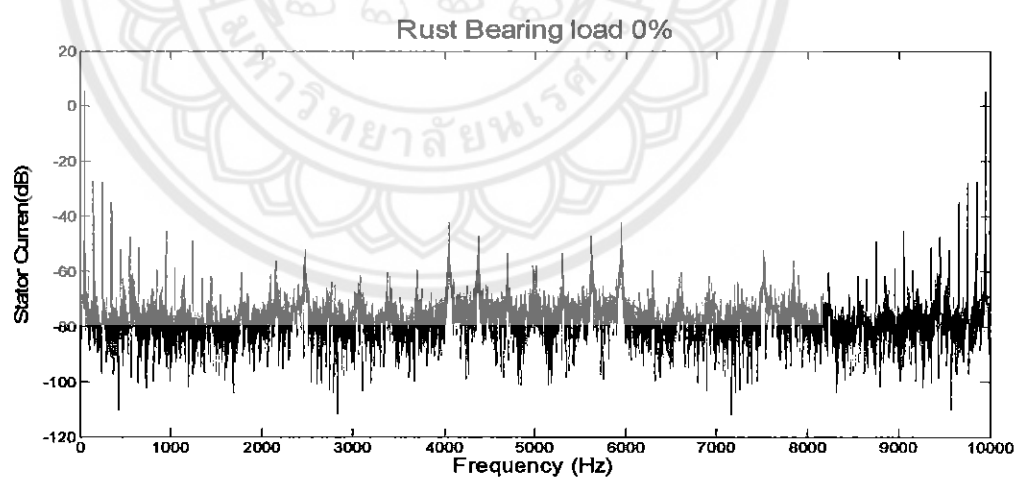
#### 4.1.25 สัญญาณเสียงกรณีแบร์จี้น้ำเกลือ 5 วัน ขณะมอเตอร์ขับโหลด 100 เปอร์เซนต์



รูปที่ 4.25 สัญญาณเสียงเมื่อแบร์จิงในอินดักชั่นมอเตอร์ที่เกิดสนิม

#### 4.2 ผลการทดลองเมื่อแบร์จิงเกิดสนิม โดยวิธีการวิเคราะห์ด้วยกระแสสเตเตอเร่อร์

##### 4.2.1 สัญญาณกระแสกรณีแบร์จิงน้ำเกลือ 1 วัน ขณะมอเตอร์ขับโหลด 0 เปอร์เซนต์



รูปที่ 4.26 แสดงสัญญาณกระแสสเตเตอเร่อร์

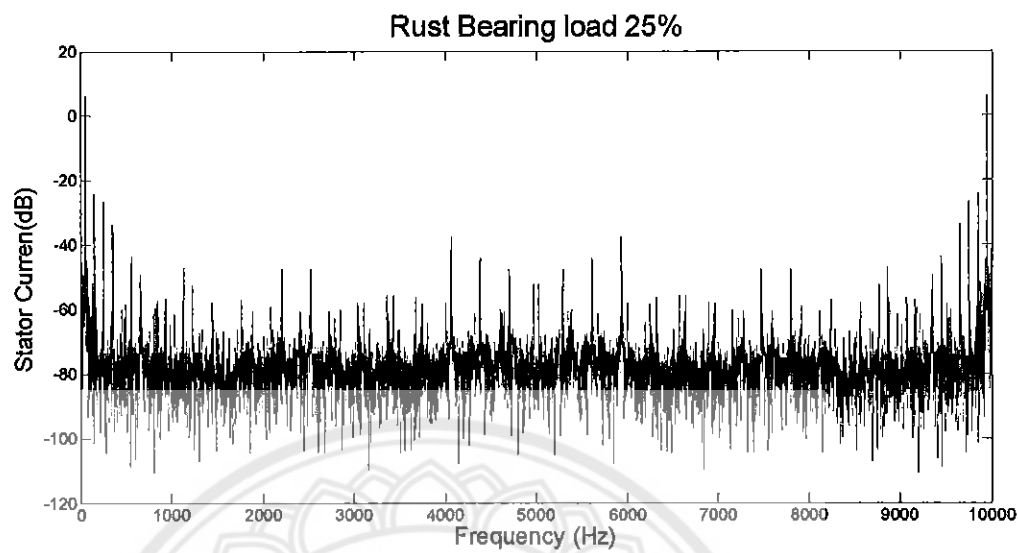
15733558

ผศ.

ก 5459

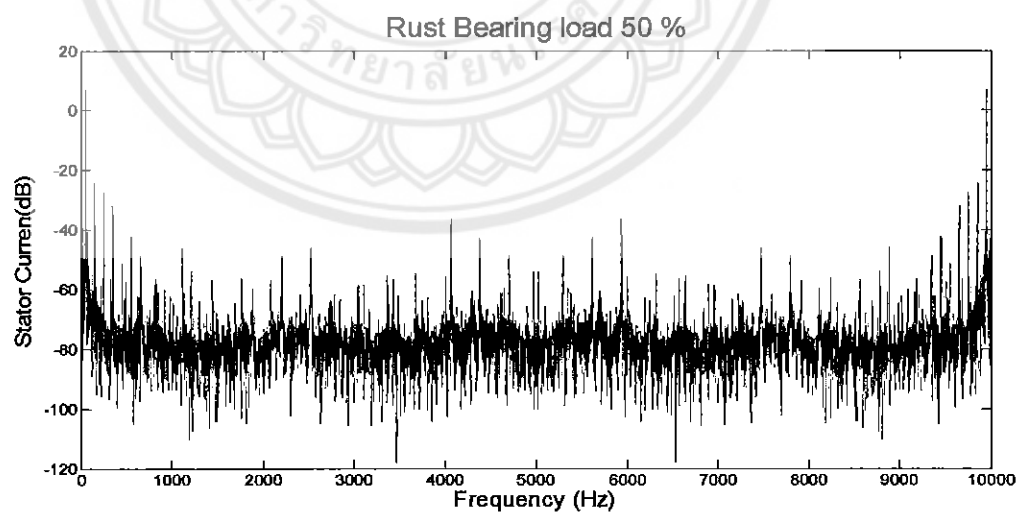
2553

**4.2.2 สัญญาณกระแสการณ์เบริ่งแข็งน้ำเกลือ 1 วัน ขนาดมอเตอร์ขับ荷载 25 เปอร์เซนต์**



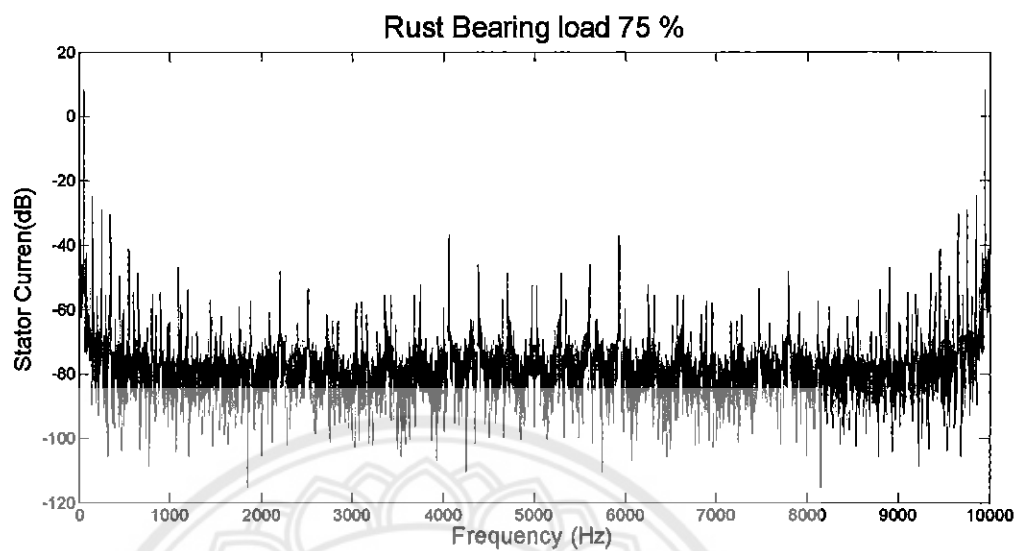
รูปที่ 4.27 สัญญาณกระแสสเตเตอร์

**4.2.3 สัญญาณกระแสการณ์เบริ่งแข็งน้ำเกลือ 1 วัน ขนาดมอเตอร์ขับ荷载 50 เปอร์เซนต์**



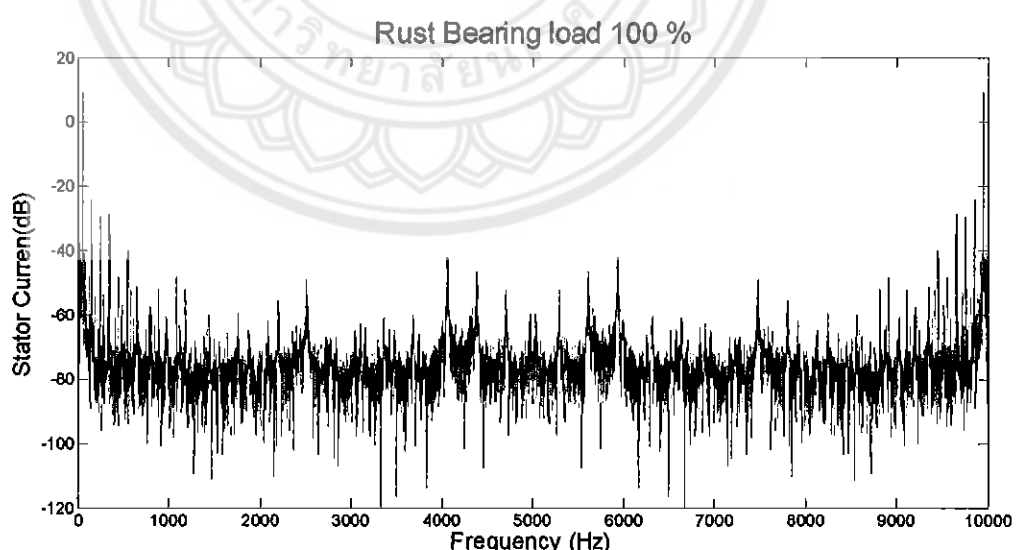
รูปที่ 4.28 สัญญาณกระแสสเตเตอร์

#### 4.2.4 สัญญาณกระแสแกร์นีเบอร์ริงแข็งน้ำเกลือ 1 วัน ขนาดมอเตอร์ขับ荷重 75 เปอร์เซนต์



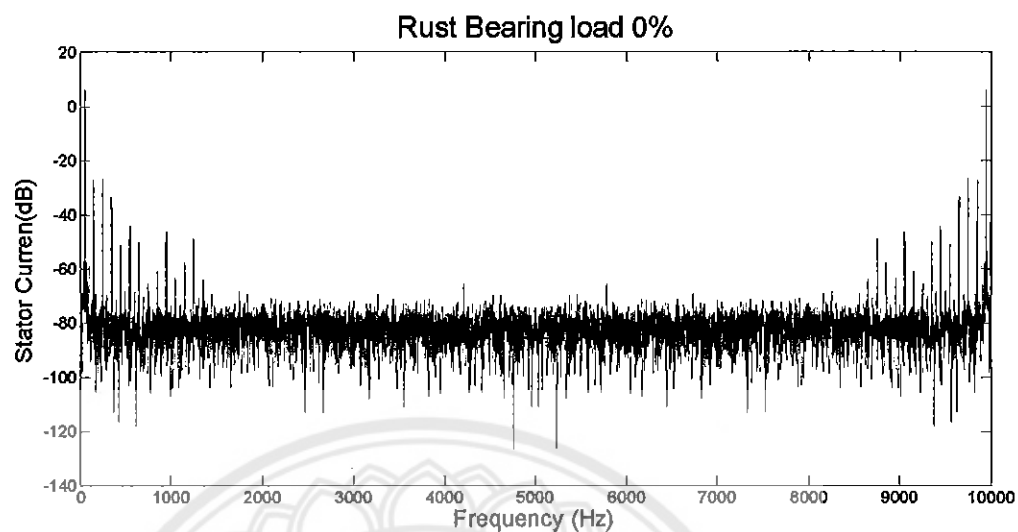
รูปที่ 4.29 สัญญาณกระแสแกร์นีเบอร์ริงแข็งน้ำเกลือ 1 วัน ขนาดมอเตอร์ขับ荷重 75 เปอร์เซนต์

#### 4.2.5 สัญญาณกระแสแกร์นีเบอร์ริงแข็งน้ำเกลือ 1 วัน ขนาดมอเตอร์ขับ荷重 100 เปอร์เซนต์



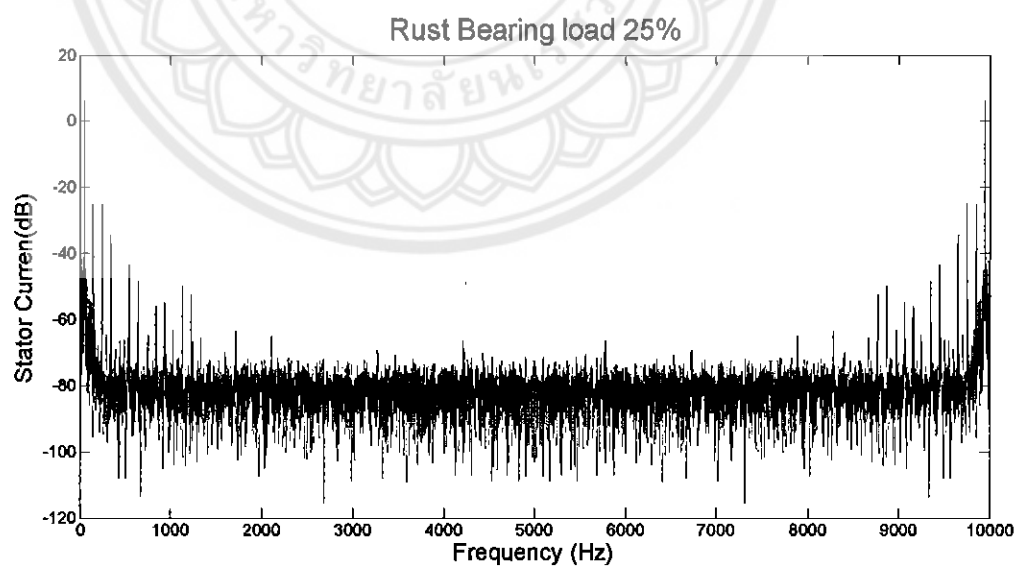
รูปที่ 4.30 สัญญาณกระแสแกร์นีเบอร์ริงแข็งน้ำเกลือ 1 วัน ขนาดมอเตอร์ขับ荷重 100 เปอร์เซนต์

**4.2.6 สัญญาณกระแสเกลียวแบบร่องช่องน้ำเกลือ 2 วัน ขนาดมอเตอร์ขับ荷载 0 เปอร์เซนต์**



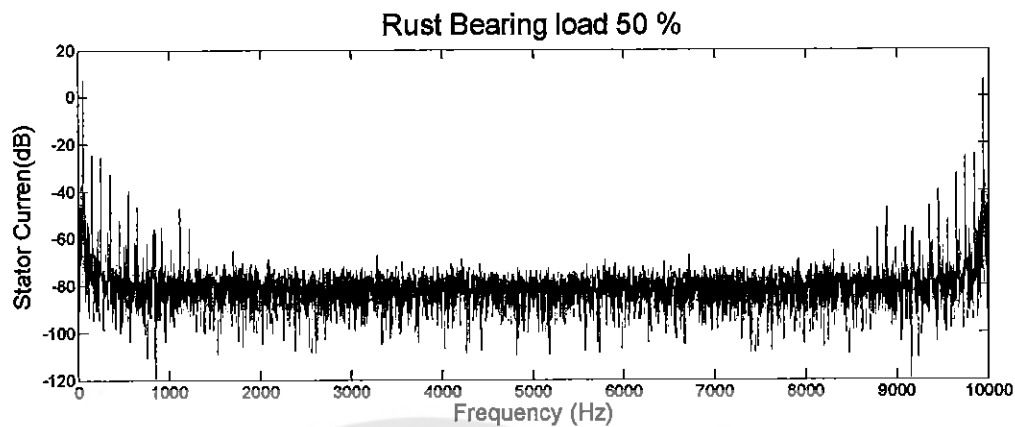
รูปที่ 4.31 สัญญาณกระแสสเตเตเตอร์

**4.2.7 สัญญาณกระแสเกลียวแบบร่องช่องน้ำเกลือ 2 วัน ขนาดมอเตอร์ขับ荷载 25 เปอร์เซนต์**



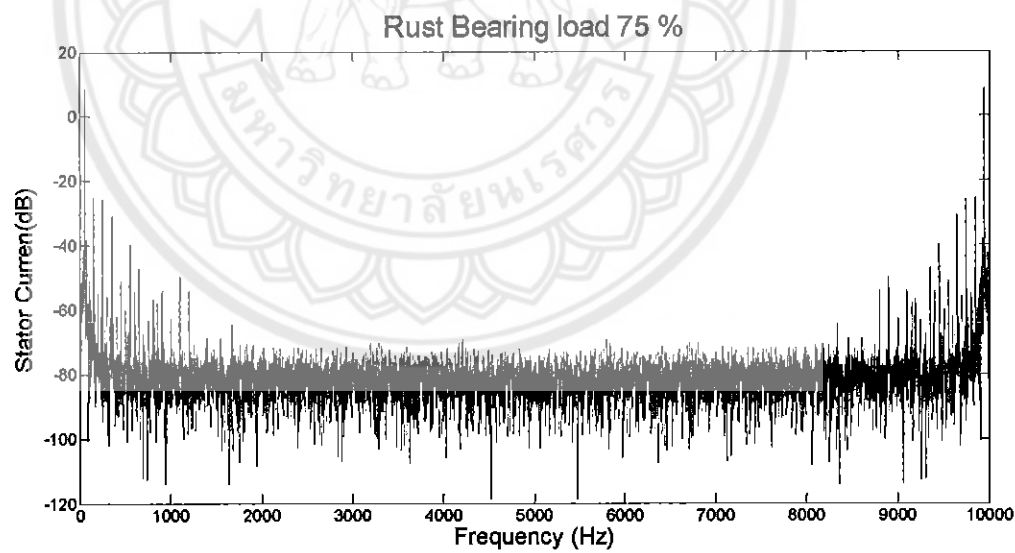
รูปที่ 4.32 สัญญาณกระแสสเตเตเตอร์

**4.2.8 สัญญาณกระแสการณ์เมริ่งแข็งน้ำเกลือ 2 วัน ขนาดมอเตอร์ขับโหลด 50 เปอร์เซนต์**



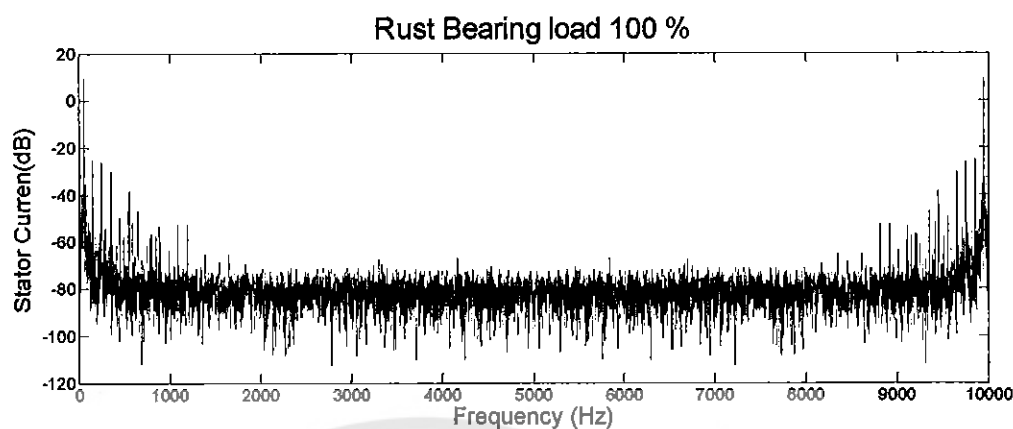
รูปที่ 4.33 สัญญาณกระแสสเตเตอร์

**4.2.9 สัญญาณกระแสการณ์เมริ่งแข็งน้ำเกลือ 2 วัน ขนาดมอเตอร์ขับโหลด 75 เปอร์เซนต์**



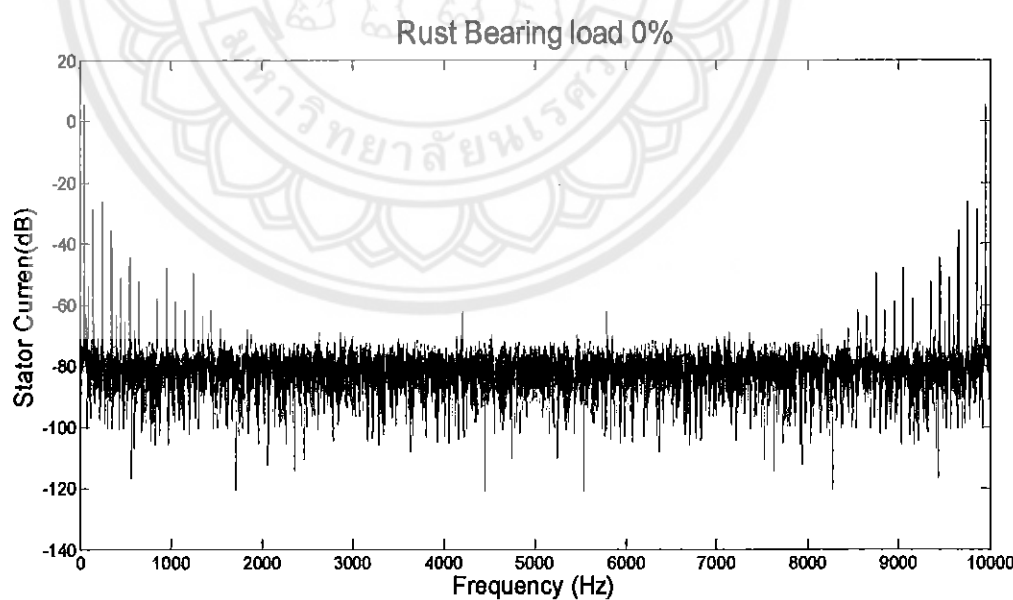
รูปที่ 4.34 สัญญาณกระแสสเตเตอร์

**4.2.10 สัญญาณกระแสกรามีเบริงแข็งน้ำเกลือ 2 วัน ขณะมอเตอร์ขับโหลด 100 เปอร์เซ็นต์**



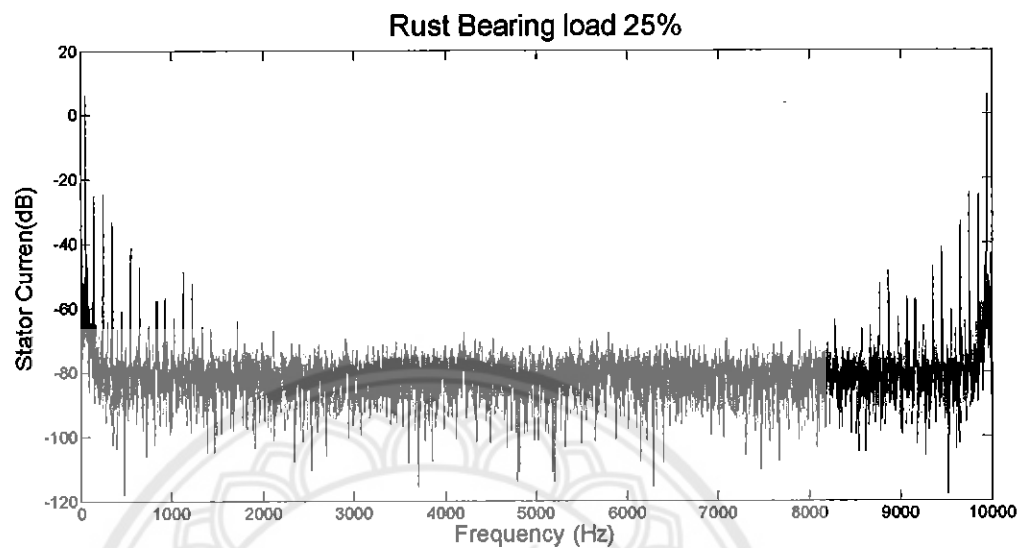
รูปที่ 4.35 สัญญาณกระแสสเตเตอร์

**4.2.11 สัญญาณกระแสกรามีเบริงแข็งน้ำเกลือ 3 วัน ขณะมอเตอร์ขับโหลด 0 เปอร์เซ็นต์**



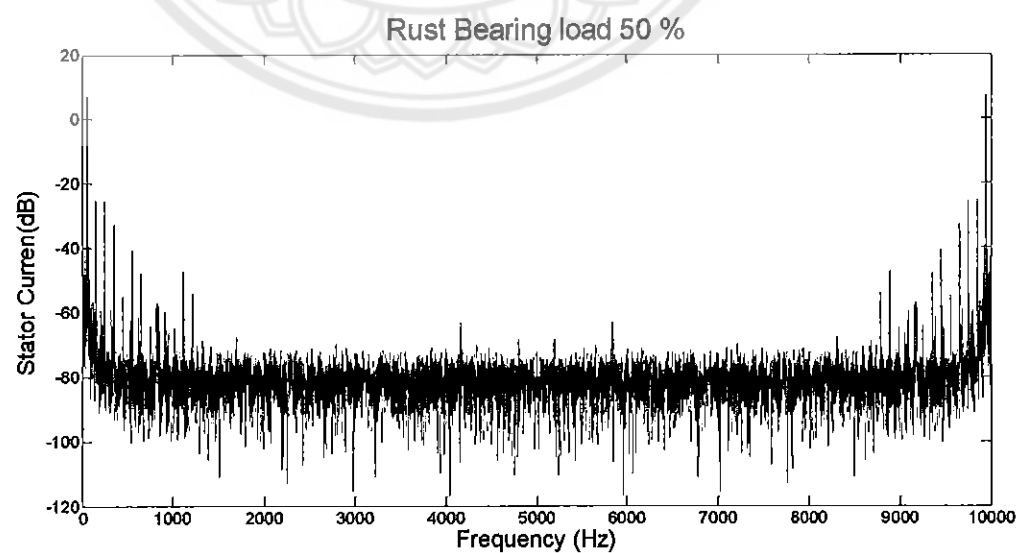
รูปที่ 4.36 สัญญาณกระแสสเตเตอร์

**4.2.12 สัญญาณกระแสกรามีเบริงแข่น้ำเกลือ 3 วัน ขนาดมอเตอร์ขับโหลด 25 เปอร์เซนต์**



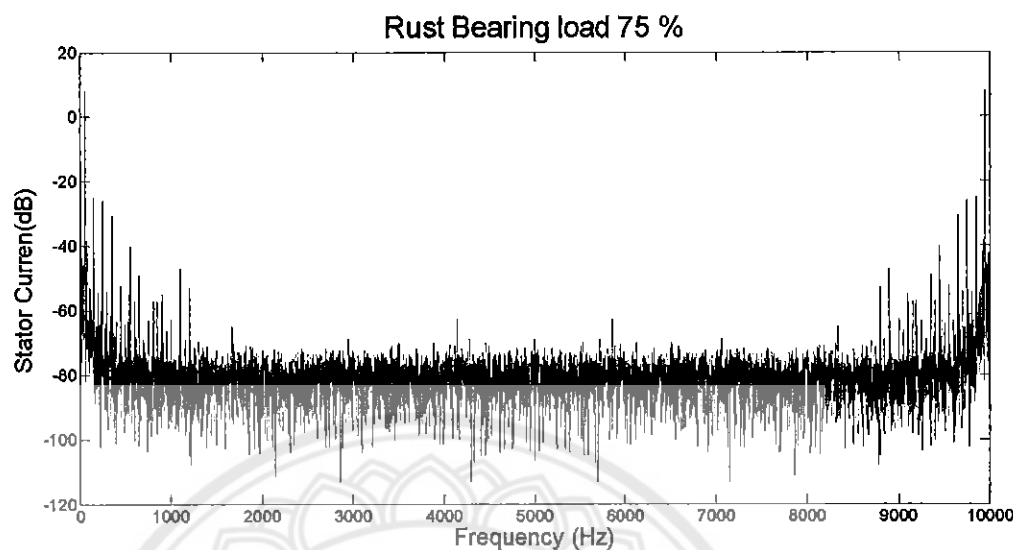
รูปที่ 4.37 สัญญาณกระแสสเตเตเตอร์

**4.2.13 สัญญาณกระแสกรามีเบริงแข่น้ำเกลือ 3 วัน ขนาดมอเตอร์ขับโหลด 50 เปอร์เซนต์**



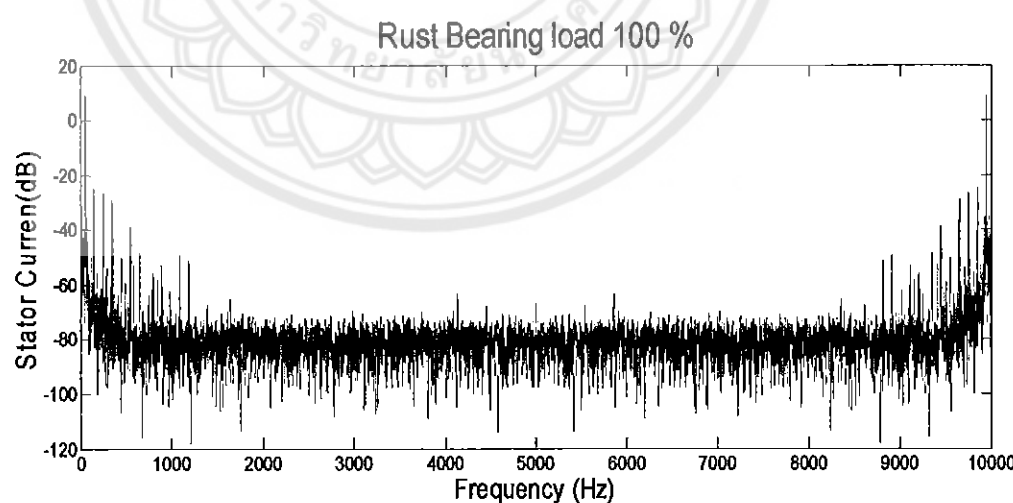
รูปที่ 4.38 สัญญาณกระแสสเตเตเตอร์

4.2.14 สัญญาณกระแสการณ์เบริ่งแข่น้ำเกลือ 3 วัน ขนาดมอเตอร์ขับโหลด 75 เปอร์เซนต์



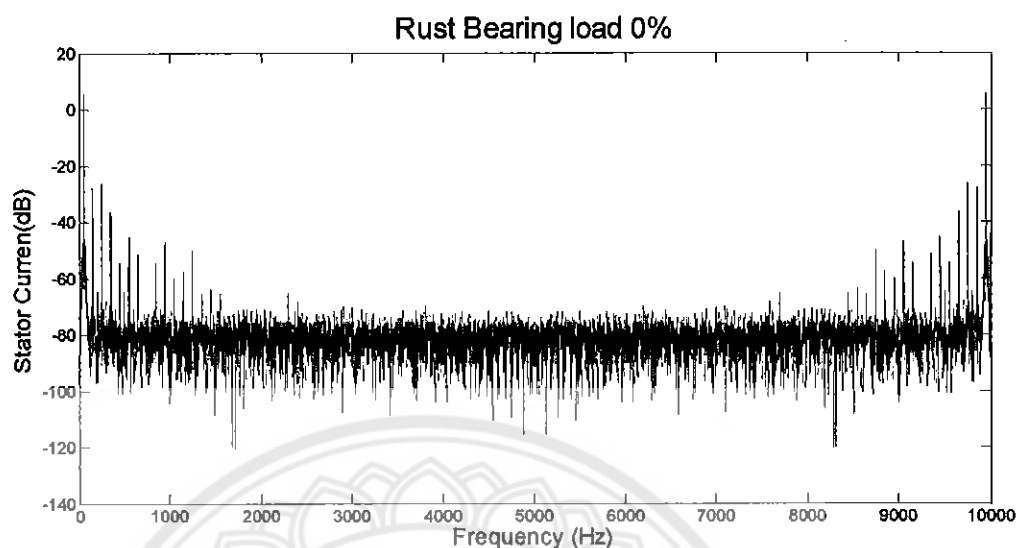
รูปที่ 4.39 สัญญาณกระแสสเตเตเตอร์

4.2.15 สัญญาณกระแสการณ์เบริ่งแข่น้ำเกลือ 3 วัน ขนาดมอเตอร์ขับโหลด 100 เปอร์เซนต์



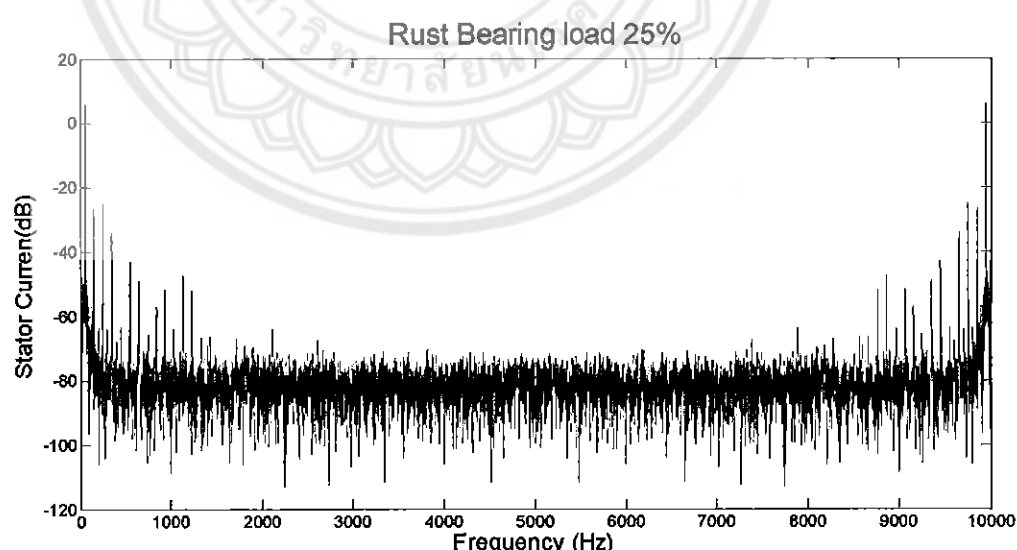
รูปที่ 4.40 สัญญาณกระแสสเตเตเตอร์

**4.2.16 สัญญาณกระแสกรดีแมร์จั่น้ำเกลือ 4 วัน ขนาดมอเตอร์ขับโหลด 0 เปอร์เซนต์**



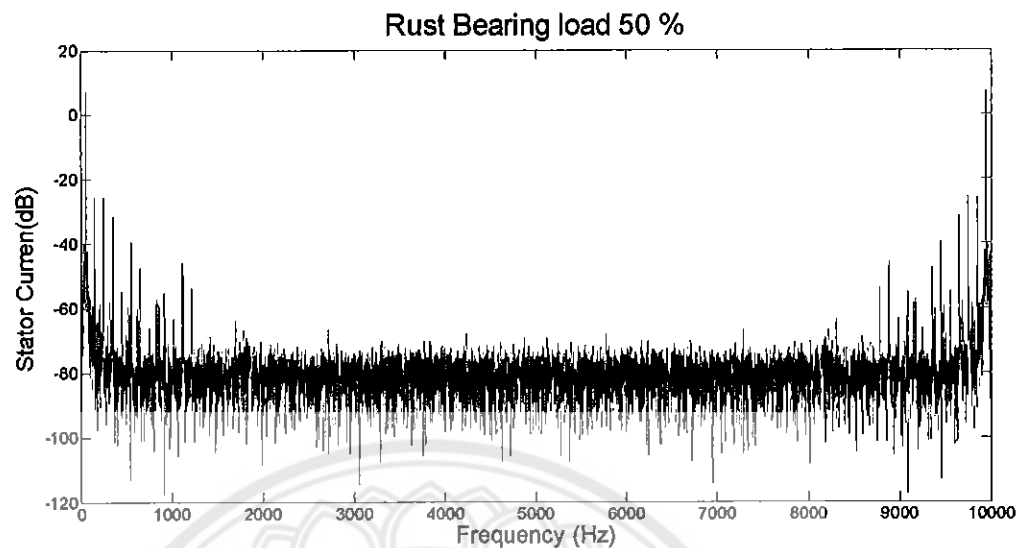
รูปที่ 4.41 สัญญาณกระแสสเตเตเตอร์

**4.2.17 สัญญาณกระแสกรดีแมร์จั่น้ำเกลือ 4 วัน ขนาดมอเตอร์ขับโหลด 25 เปอร์เซนต์**



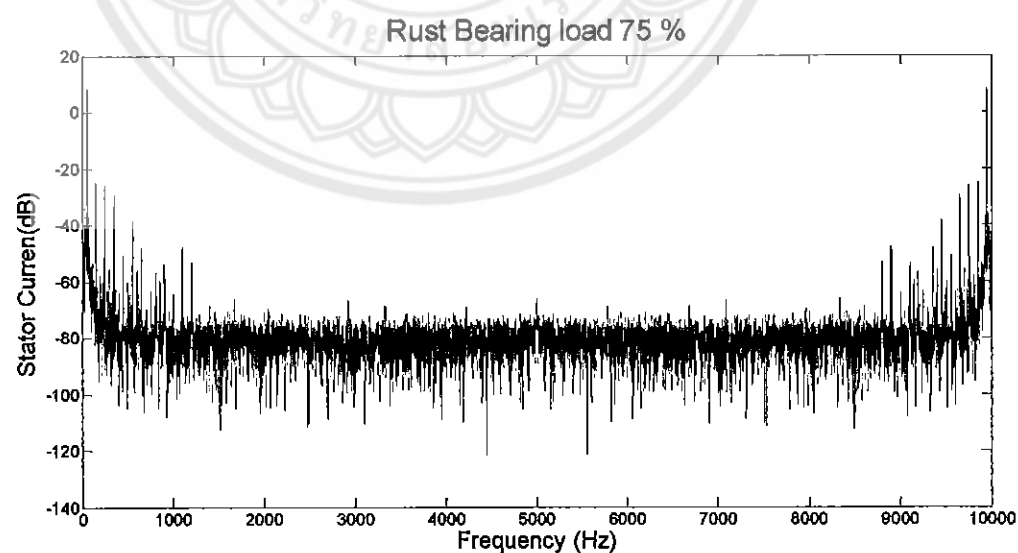
รูปที่ 4.42 สัญญาณกระแสสเตเตเตอร์

4.2.18 สัญญาณกระแสกรามีเบริ่งแข็งน้ำเกลือ 4 วัน ขนาดมอเตอร์ขับโหลด 50 เปอร์เซนต์



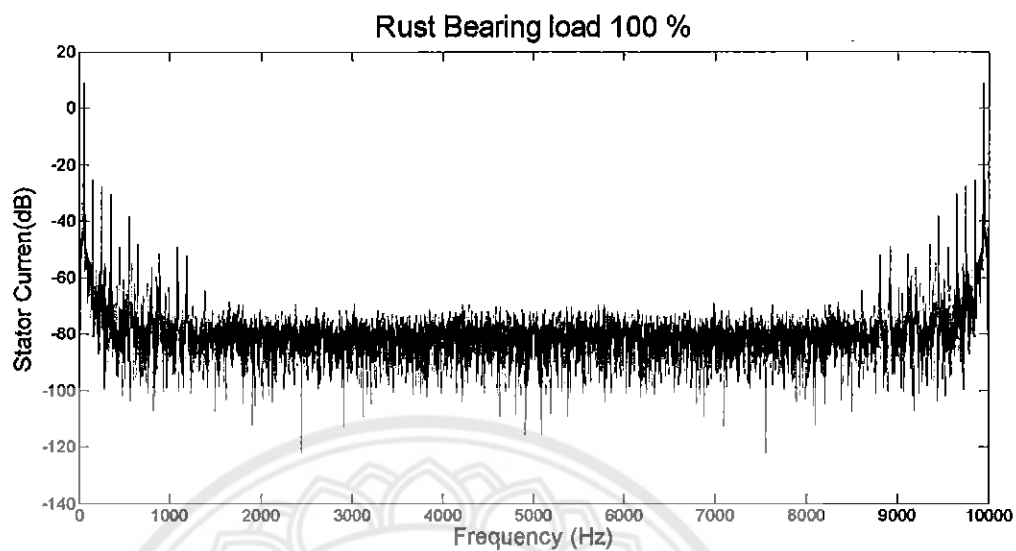
รูปที่ 4.43 สัญญาณกระแสสตатор

4.2.19 สัญญาณกระแสกรามีเบริ่งแข็งน้ำเกลือ 4 วัน ขนาดมอเตอร์ขับโหลด 75 เปอร์เซนต์



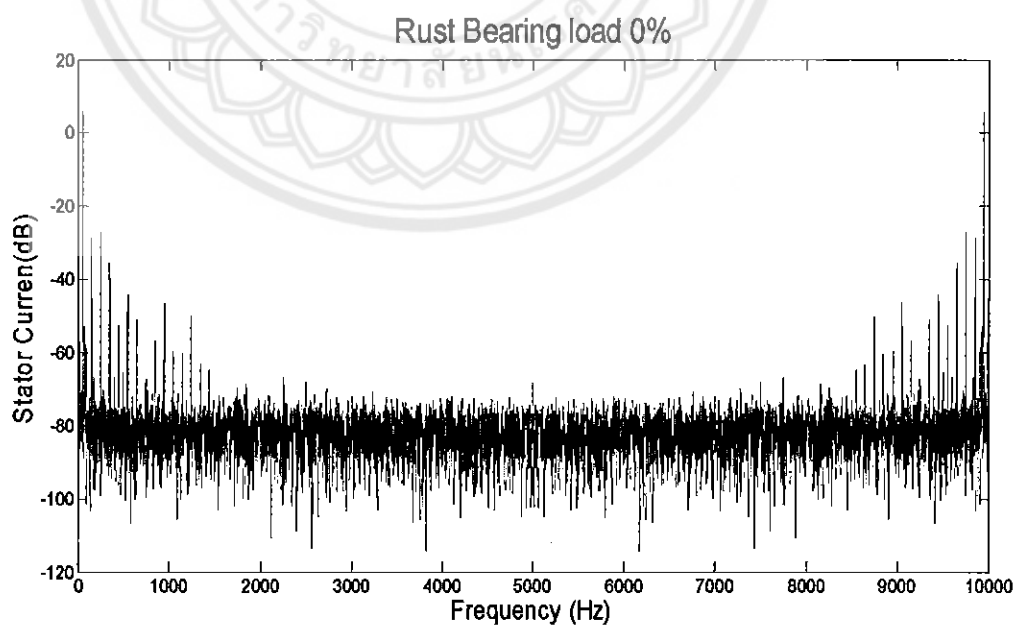
รูปที่ 4.44 สัญญาณกระแสสตатор

4.2.20 สัญญาณกระแสแกร์ดเมิร์งแข็งน้ำเกลือ 4 วัน ขนาดมอเตอร์ขับ荷重 100 เปอร์เซนต์



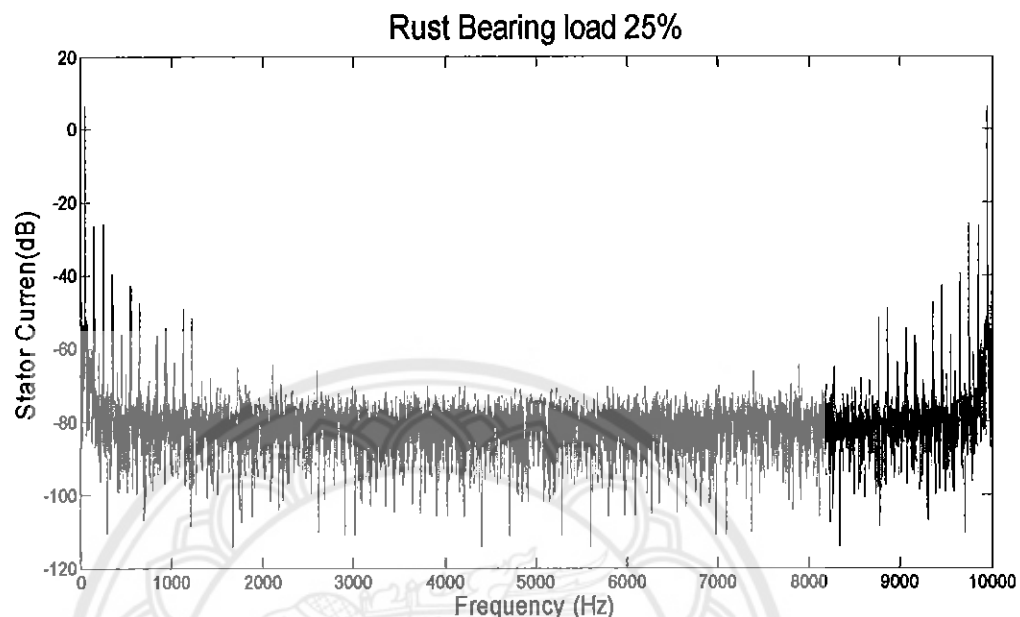
รูปที่ 4.45 สัญญาณกระแสแกร์ดเมิร์ง

4.2.21 สัญญาณเสียงกรณีแบร์งแข็งน้ำเกลือ 5 วัน ขนาดมอเตอร์ขับ荷重 0 เปอร์เซนต์



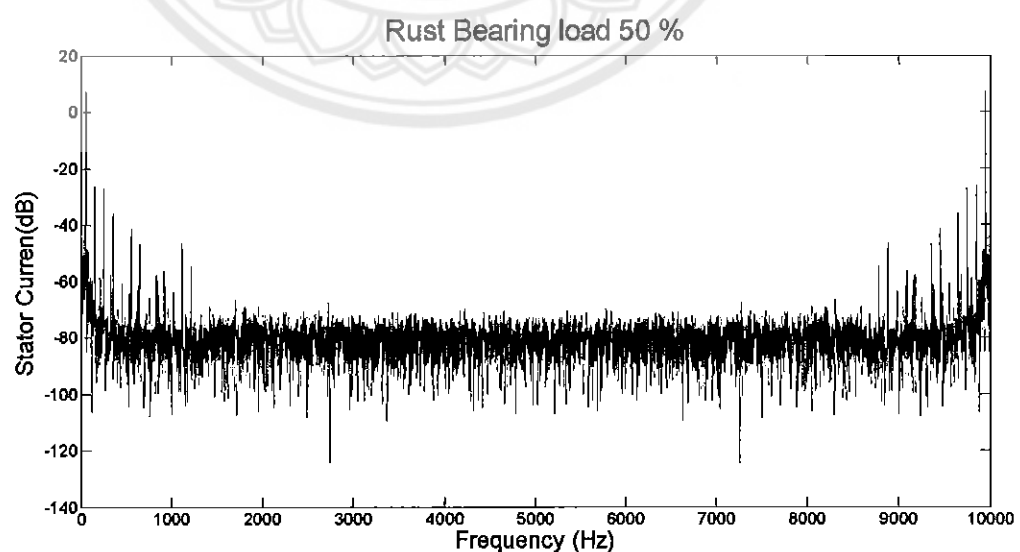
รูปที่ 4.46 สัญญาณกระแสแกร์ดเมิร์ง

**4.2.22 สัญญาณเสียงกรณีแบร์จแห่น้ำเกลือ 5 วัน ขนาดมอเตอร์ขับ荷载 25 เปอร์เซนต์**



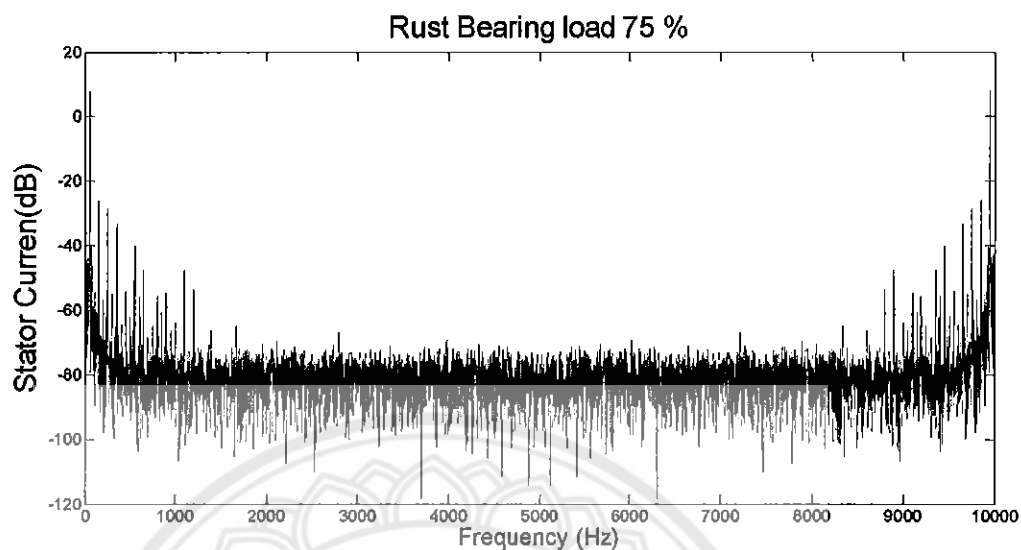
รูปที่ 4.47 สัญญาณกระแสสเตเตเตอร์

**4.2.23 สัญญาณเสียงกรณีแบร์จแห่น้ำเกลือ 5 วัน ขนาดมอเตอร์ขับ荷载 50 เปอร์เซนต์**



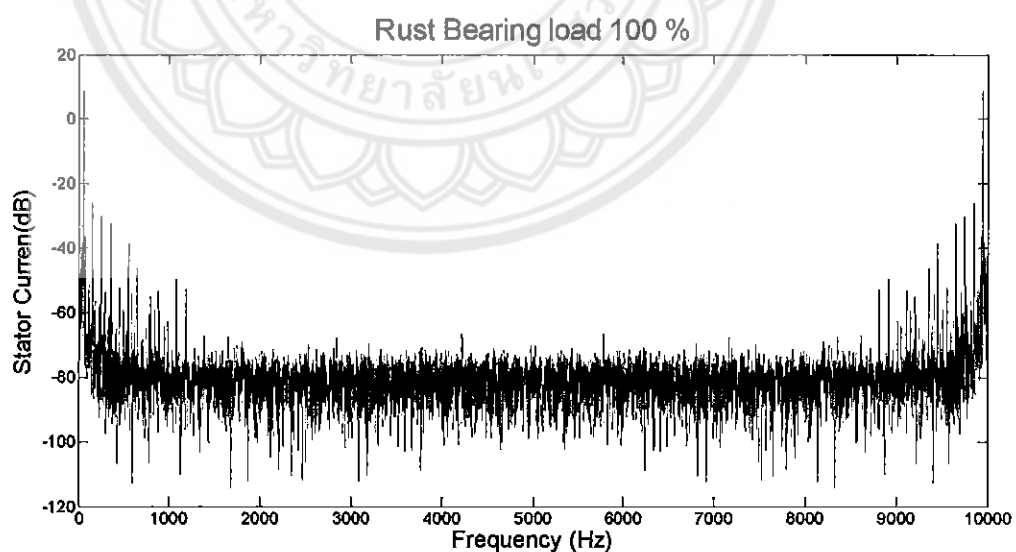
รูปที่ 4.48 สัญญาณกระแสสเตเตเตอร์

**4.2.24 สัญญาณเสียงกรณีแบร์จิ้งแข่น้ำเกลือ 5 วัน ขนาดมอเตอร์ขับโหลด 75 เปอร์เซนต์**



รูปที่ 4.49 สัญญาณกระแสสเตเตอร์

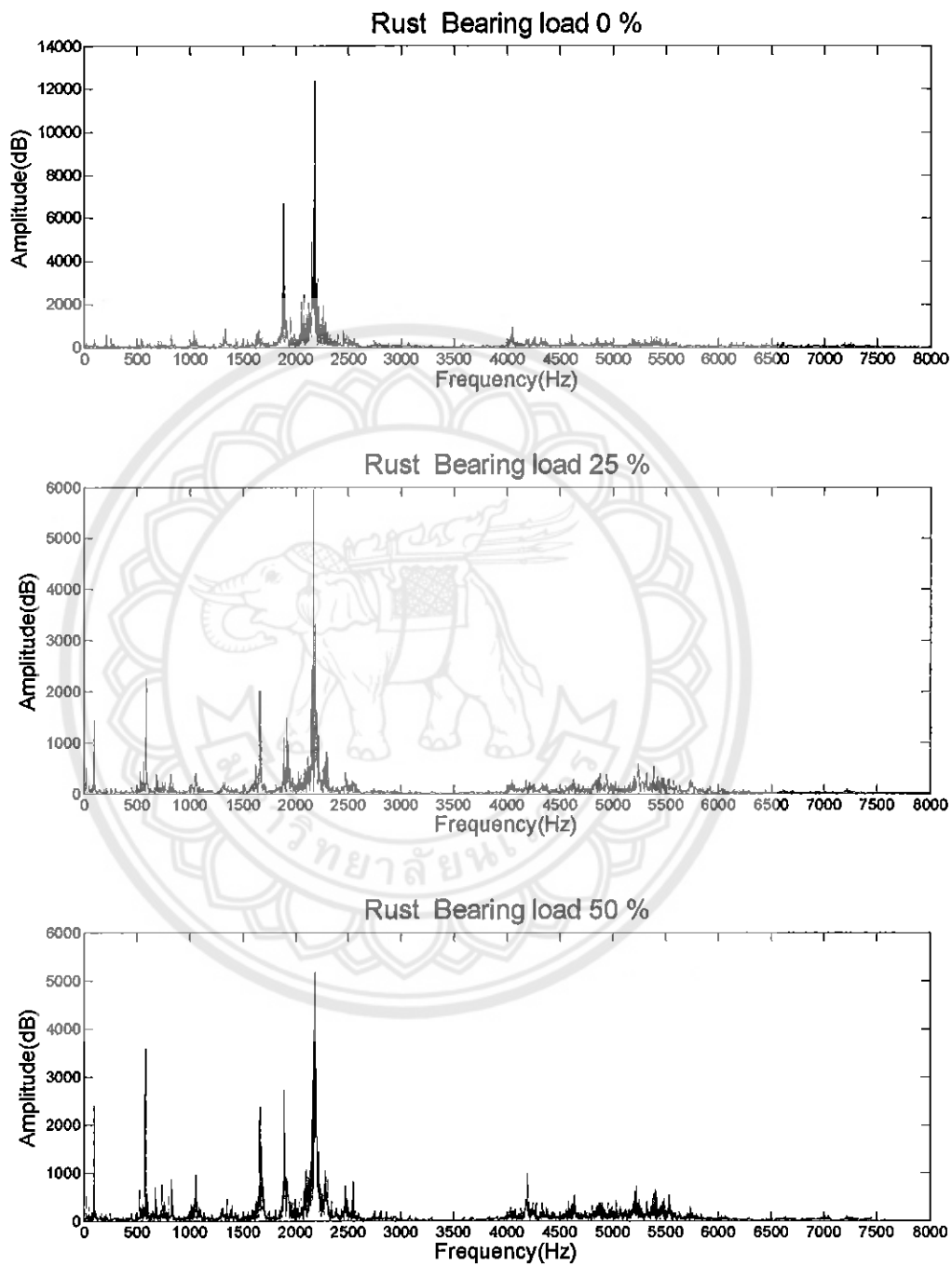
**4.2.25 สัญญาณเสียงกรณีแบร์จิ้งแข่น้ำเกลือ 5 วัน ขนาดมอเตอร์ขับโหลด 100 เปอร์เซนต์**

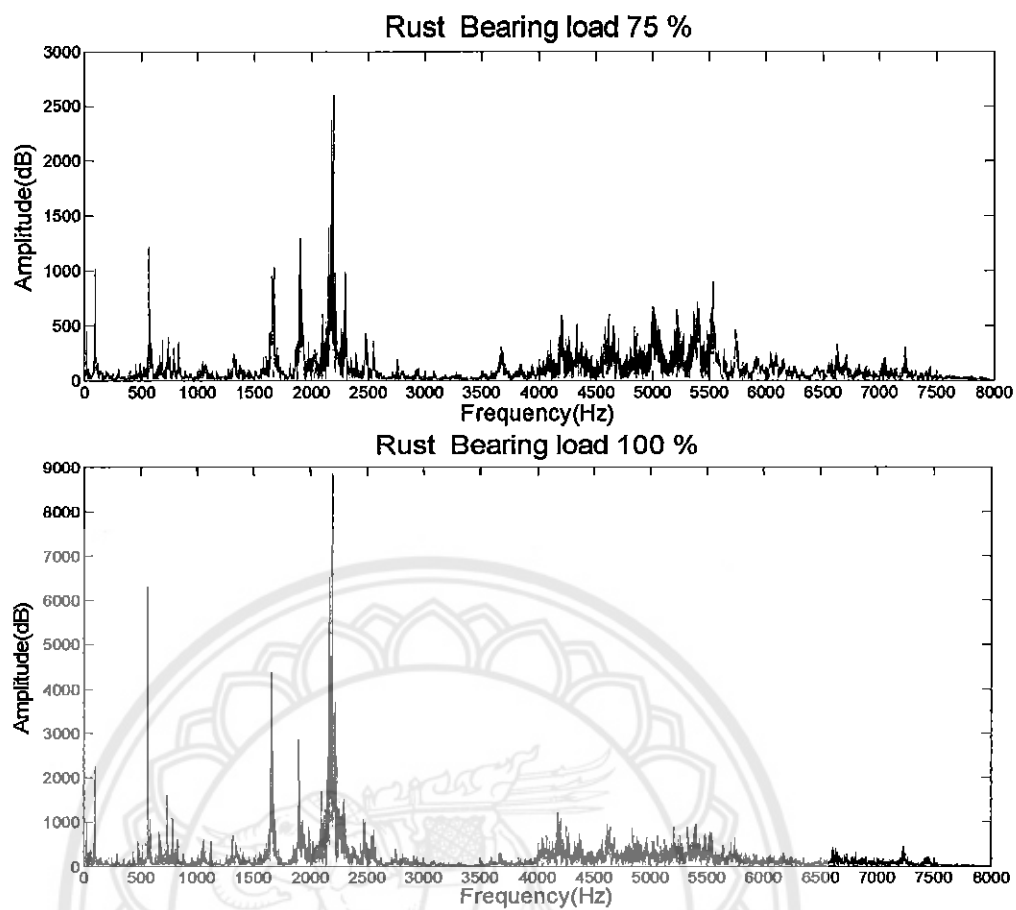


รูปที่ 4.50 สัญญาณกระแสสเตเตอร์

### 4.3 แสดงผลการทดลองเปรียบเทียบสัญญาณเดี่ยง

#### 4.3.1 สัญญาณเดี่ยงแบร์จชั่วAKERIO 1 วัน





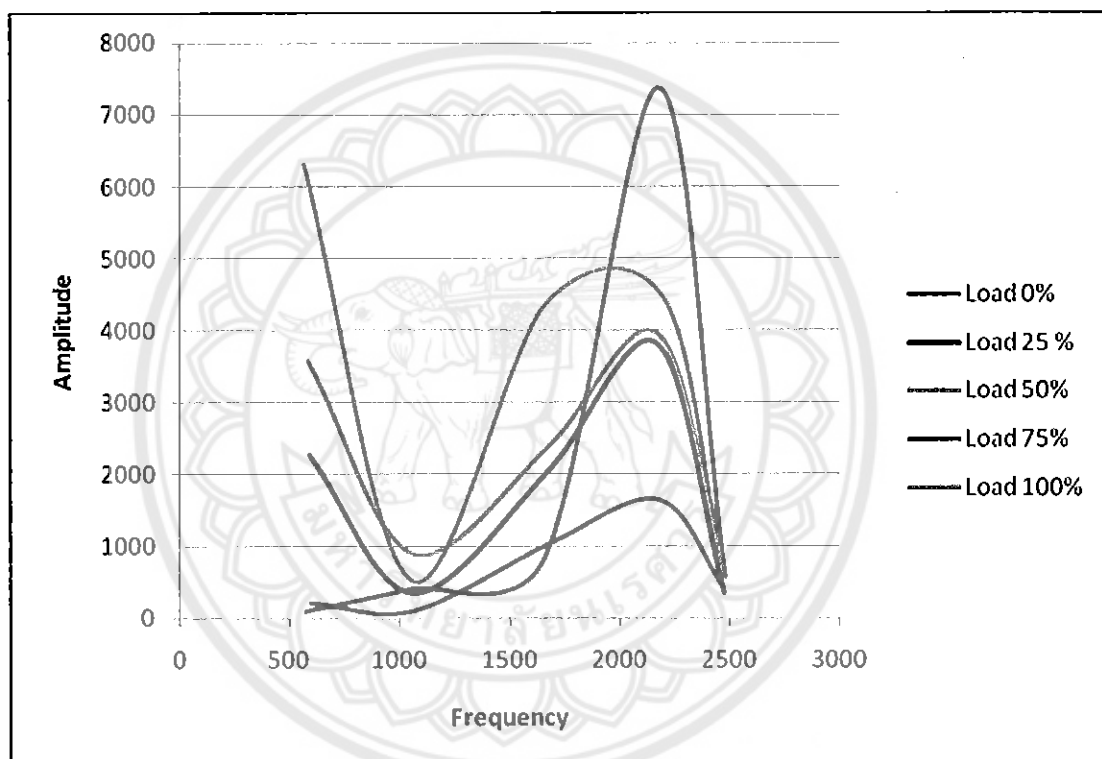
รูปที่ 4.51 สัญญาณเสียงที่รวม荷重ภายใน 1 วัน

ตารางที่ 4.1 ตารางเปรียบเทียบสัญญาณเสียงที่荷重 1 วัน

Load	Frequency	Amplitude	Frequency	Amplitude	Frequency	Amplitude
0	574	103	1057	416.1	1654	832.2
25	591	2270	1057	348.5	1663	2015
50	583	3581	1056	899.7	1665	2365
75	592	219.9	1059	109.4	1672	1034
100	566	6315	1055	523.7	1661	4364

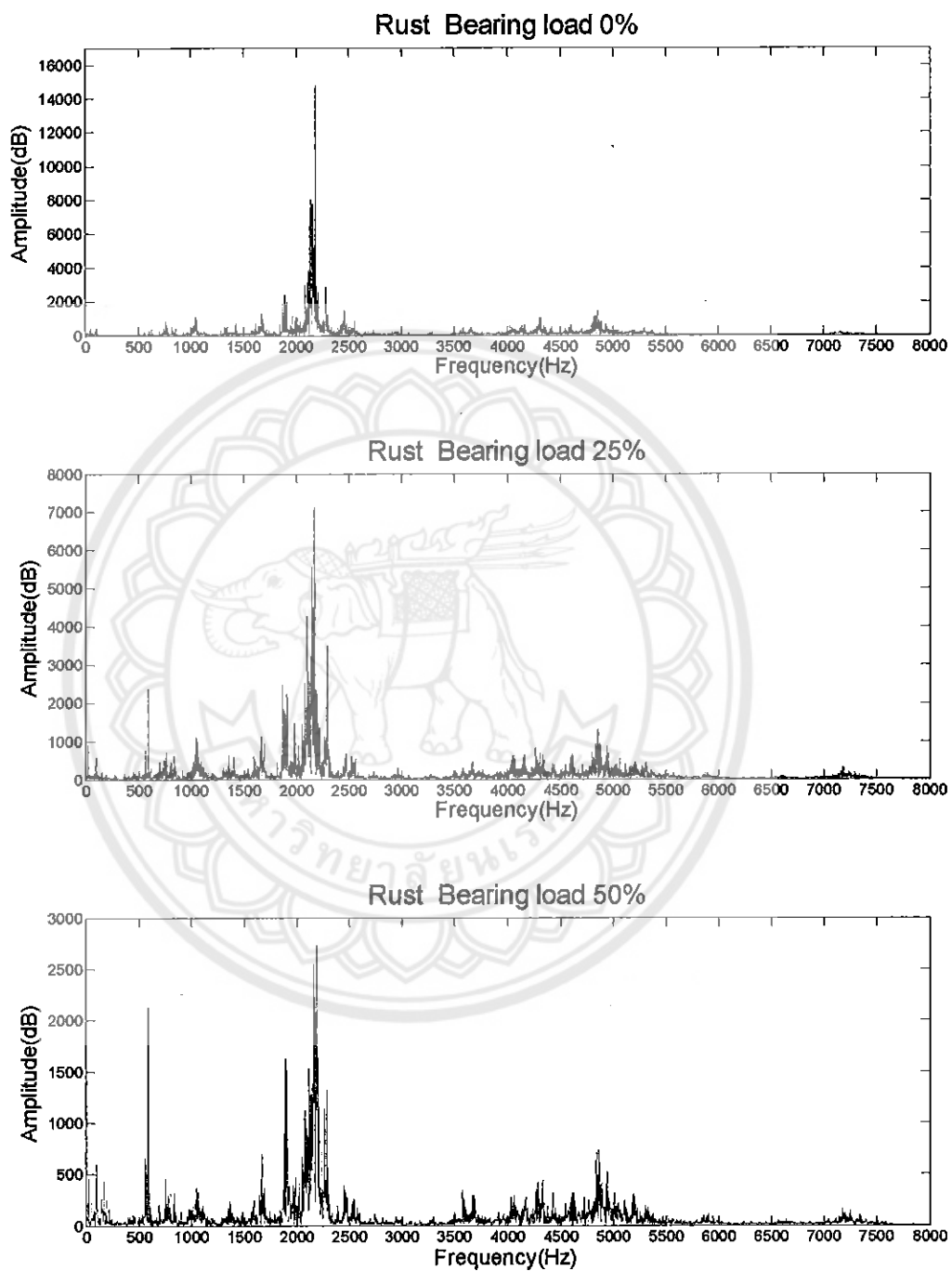
Load	Frequency	Amplitude	Frequency	Amplitude
0	2178	7377	2478	584.3
25	2164	3825	2472	360.3
50	2165	3976	2472	730
75	2174	1646	2471	417.1
100	2197	4481	2470	748.1

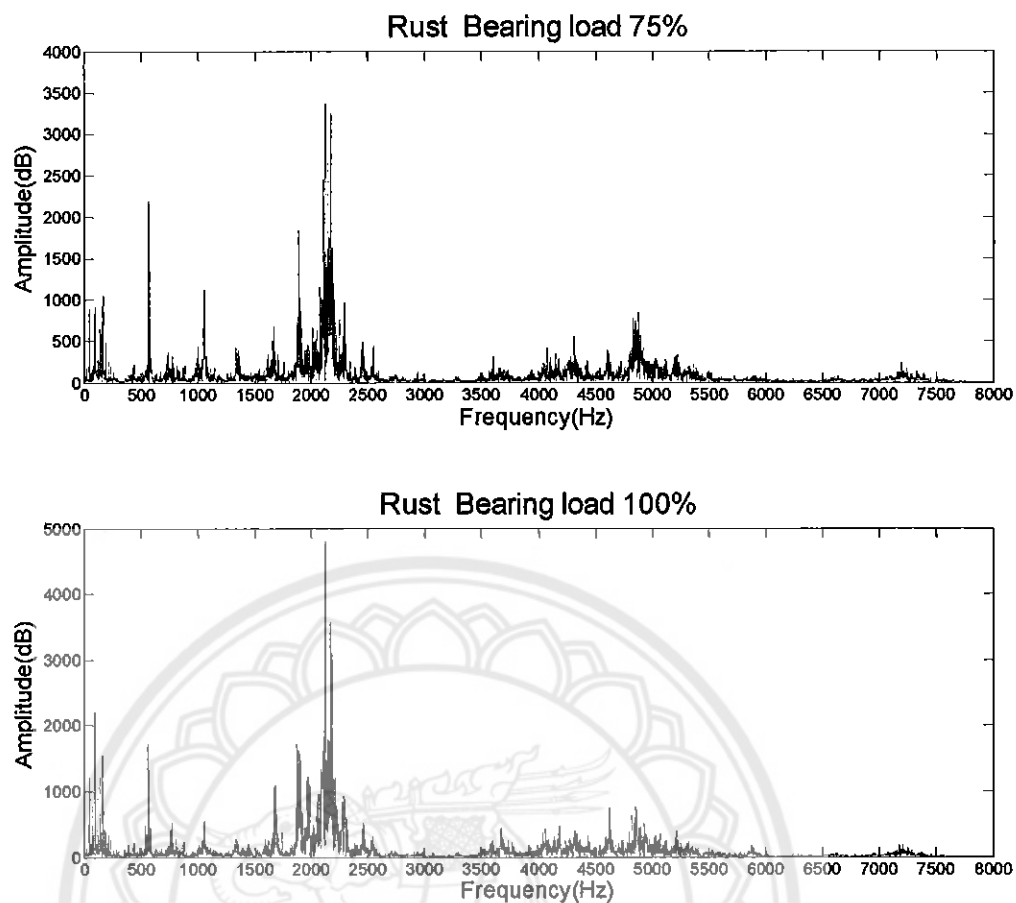
เมื่อนำผลการทดสอบที่ได้มามาพิจารณาพบว่า 4.51 แสดงรูปแบบโหลดของสัญญาณกระแทกที่แข็งแกร่งกรณีเกิดสนิมภายในหนึ่งวันที่ขณะทดสอบของน้ำเตอร์อินดันชั้น 0 เปอร์เซนต์, 25 เปอร์เซนต์, 50 เปอร์เซนต์, 75 เปอร์เซนต์ และ 100 เปอร์เซนต์ จะเห็นได้ว่าตัวแทนในรูปที่ 4.51 ตัวแทนที่เกิดของช่วงความถี่ของแต่ละโหลดภายในหนึ่งวัน มีค่าความถี่ใกล้เคียงกันหรืออยู่ในช่วงย่างความถี่ที่ได้ในตารางที่ 4.1 มีค่าความถี่ต่างๆ ที่ได้ดังนี้ ตัวแทนที่ 1 อยู่ในช่วงความถี่ประมาณ 500 เฮิรต ตัวแทนที่ 2 อยู่ในช่วงความถี่ประมาณ 1,000 เฮิรต ตัวแทนที่ 3 อยู่ในช่วงความถี่ประมาณ 1,500 เฮิรต และตัวแทนที่ 4 อยู่ในช่วงความถี่ประมาณ 2,500 เฮิรต



รูปที่ 4.52 กราฟสัญญาณแอนปริจุดของเสียงแข็งแกร่งแห่งน้ำเกลือ 1 วัน

#### 4.3.2 สัญญาณเสียงแบร์ริงแท่นน้ำเกลือ 2 วัน





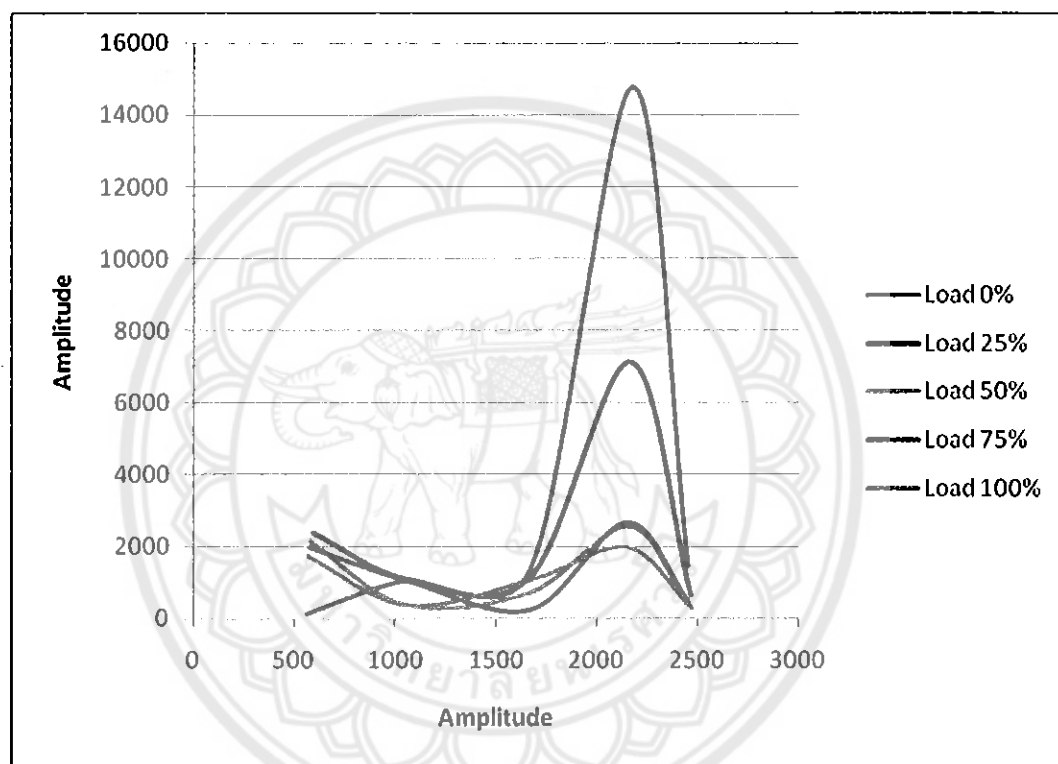
รูปที่ 4.53 สัญญาณเสียงที่รวม荷重ภายใน 2 วัน

ตารางที่ 4.2 ตารางเปรียบเทียบสัญญาณเสียงที่荷重 2 วัน

Load	Frequency	Amplitude	Frequency	Amplitude	Frequency	Amplitude
0	563	117.3	1051	1046	1667	1321
25	592	2376	1051	1101	1664	1114
50	583	2129	1049	371.2	1665	692
75	573	1982	1054	1054	1671	238.2
100	567	1723	1061	346	1682	1081

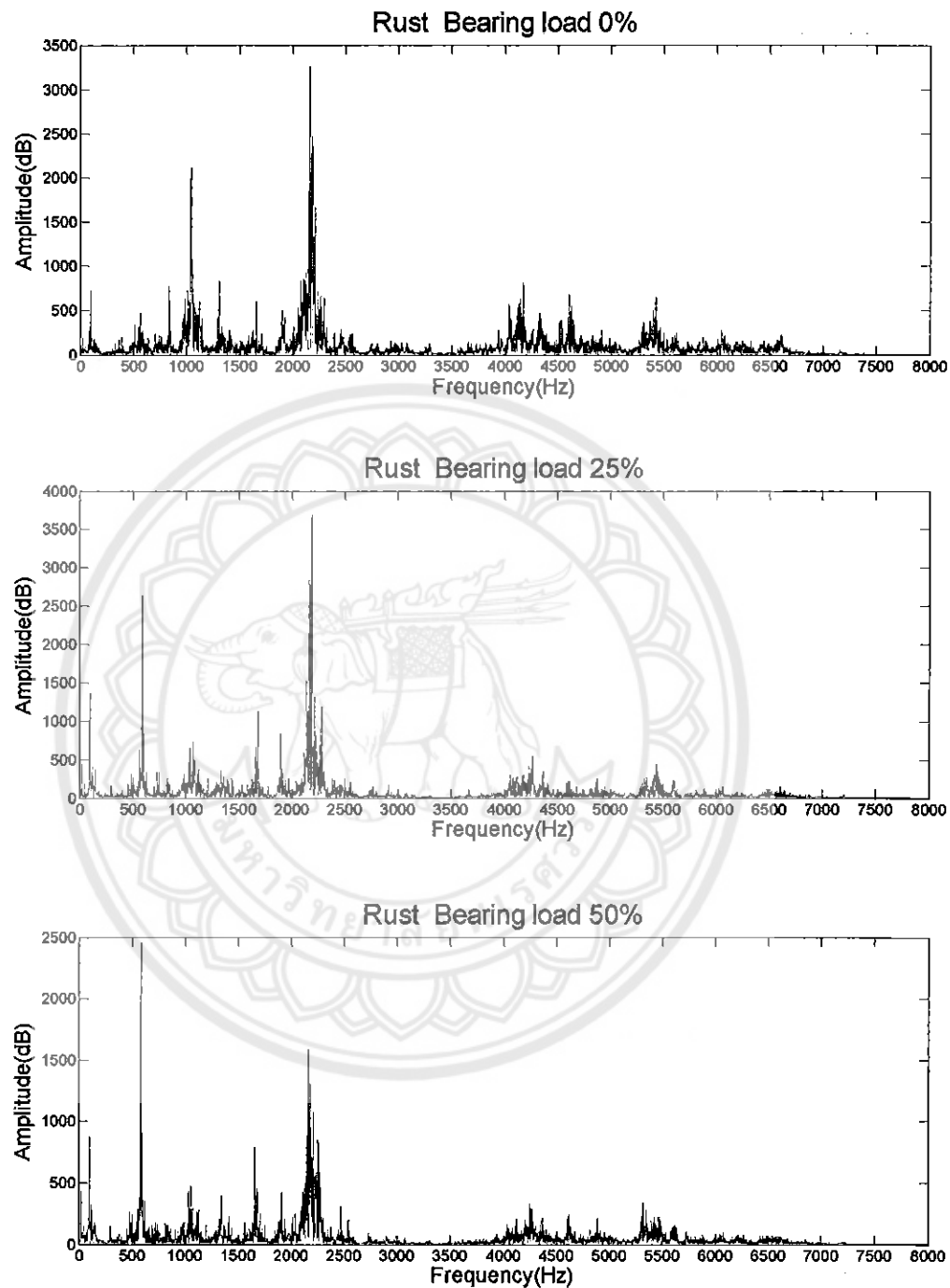
Load	Frequency	Amplitude	Frequency	Amplitude
0	2179	14770	2453	1444
25	2167	7112	2468	650.8
50	2161	2542	2447	393.3
75	2151	2685	2456	494.5
100	2153	1972	2473	275.6

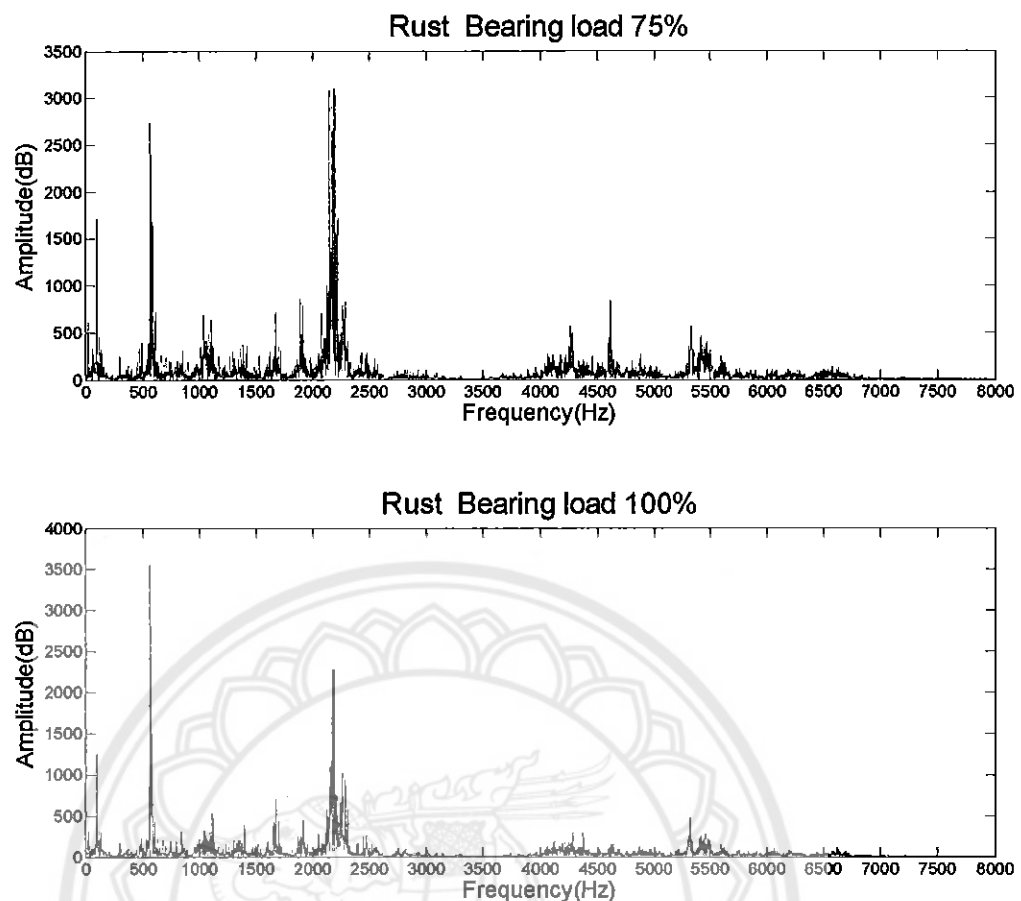
เมื่อนำผลการทดสอบที่ได้มาพิสูจน์ที่รูปที่ 4.52 แสดงรูปรวมโหลดของสัญญาณกระแสที่แข็งแกร่งกรณีเกิดสั่นสะเทือนในหนึ่งวันที่ขณะโหลดของมอเตอร์อยู่ที่ 0 เปอร์เซนต์, 25 เปอร์เซนต์, 50 เปอร์เซนต์, 75 เปอร์เซนต์ และ 100 เปอร์เซนต์ จะเห็นได้ว่าค่าแทนงในรูปที่ 4.52 ค่าแทนงที่เกิดขึ้นช่วงความถี่ของแต่ละโหลดภายในหนึ่งวัน มีค่าความถี่ใกล้เคียงกันหรืออยู่ในช่วงย่านความถี่ที่ได้ในตารางที่ 4.2 มีค่าความถี่ต่างๆที่ได้ดังนี้ ค่าแทนงที่ 1 อยู่ในช่วงความถี่ประมาณ 500 เฮิร์ต ค่าแทนงที่ 2 อยู่ในช่วงความถี่ประมาณ 1,000 เฮิร์ต ค่าแทนงที่ 3 อยู่ในช่วงความถี่ประมาณ 1,500 เฮิร์ต และค่าแทนงที่ 4 อยู่ในช่วงความถี่ประมาณ 2,500 เฮิร์ต



รูปที่ 4.54 กราฟสัญญาณแอนบิรุคของเดี๋ยงแบร์ริงเน้าเกลือ 2 วัน

### 4.3.3 สัญญาณเสียงเบริงແช่น้ำเกลือ 3 วัน





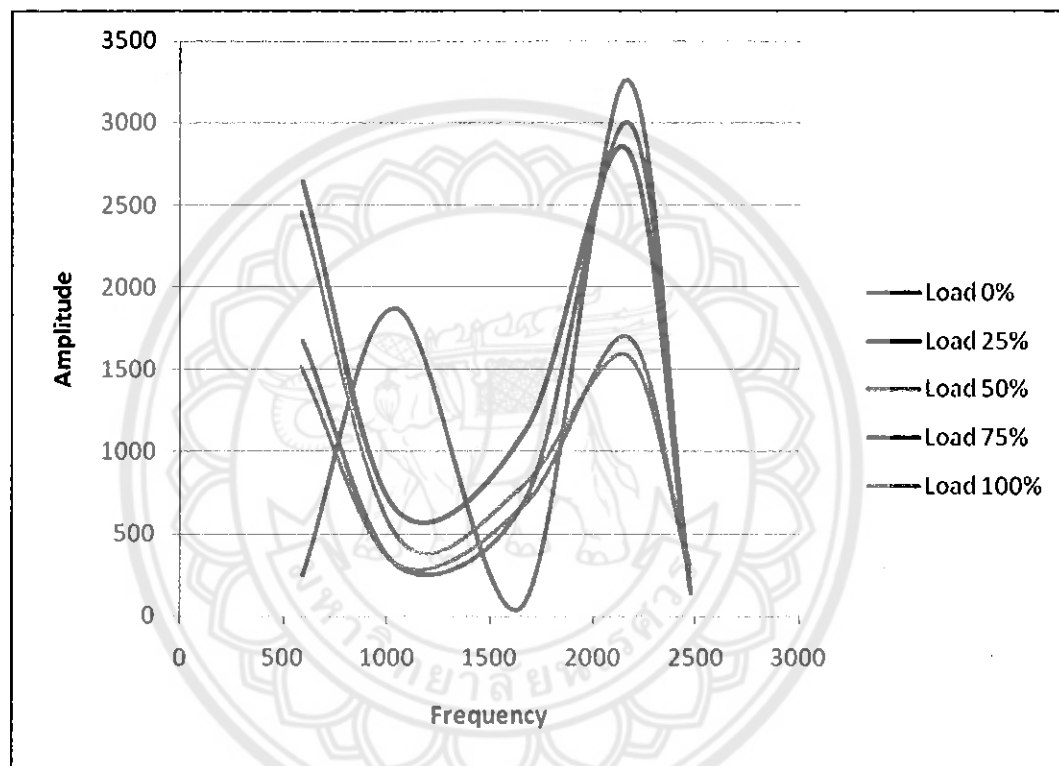
รูปที่ 4.55 สัญญาณเสียงที่รวม荷ลคภายใน 3 วัน

ตารางที่ 4.3 ตารางเปรียบเทียบสัญญาณเสียงที่โหลด 3 วัน

Load	Frequency	Amplitude	Frequency	Amplitude	Frequency	Amplitude
0	592	248	1045	1873	1655	55.63
25	591	2640	1044	650.2	1675	1135
50	583	2460	1055	472.1	1655	783.7
75	589	1675	1056	300.7	1674	718.8
100	582	1513	1045	314.4	1676	689.8

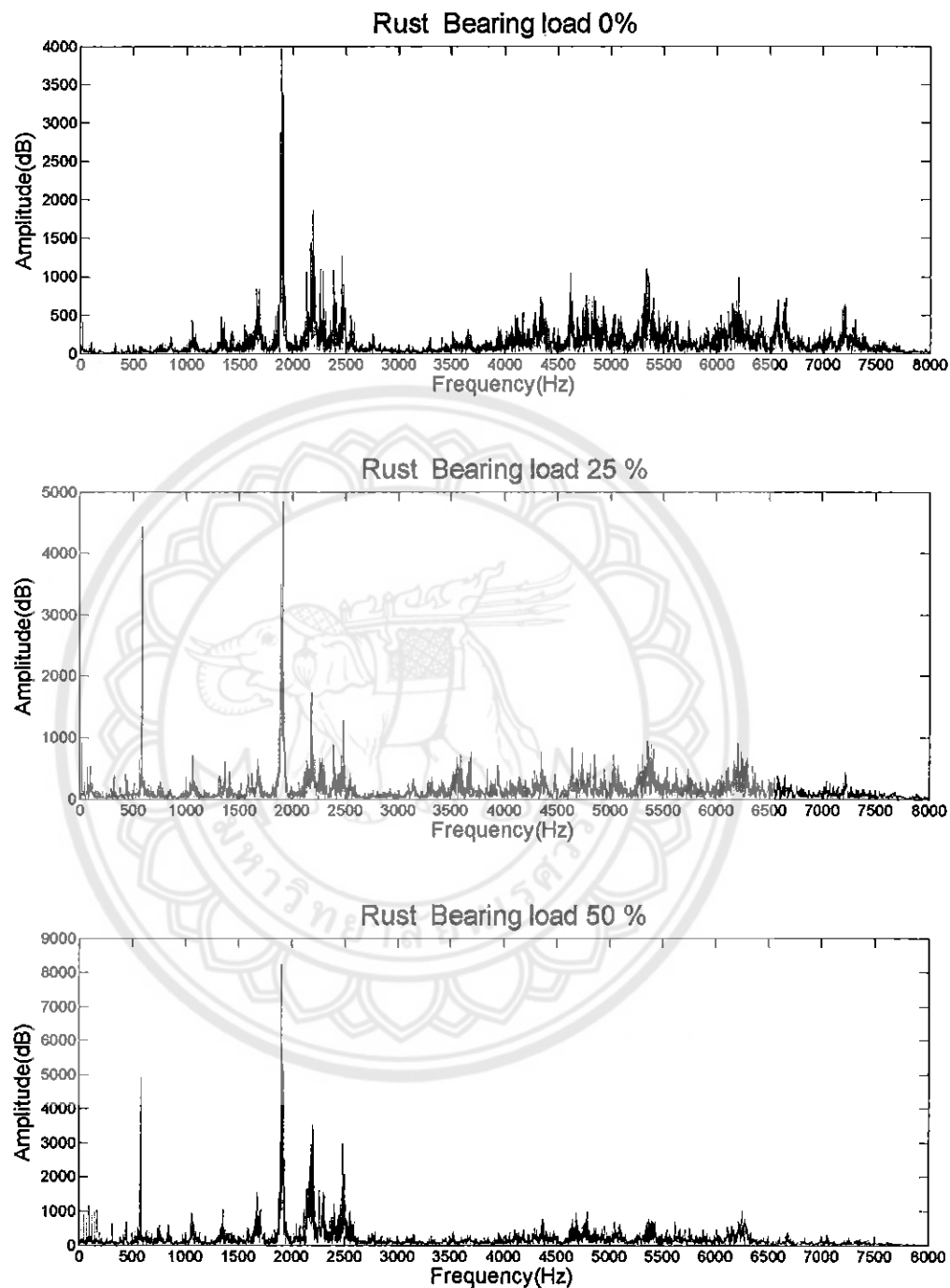
Load	Frequency	Amplitude	Frequency	Amplitude
0	2160	3261	2473	193.5
25	2161	2843	2479	143.6
50	2159	1588	2470	310.4
75	2170	2999	2477	152.4
100	2166	1701	2470	257.9

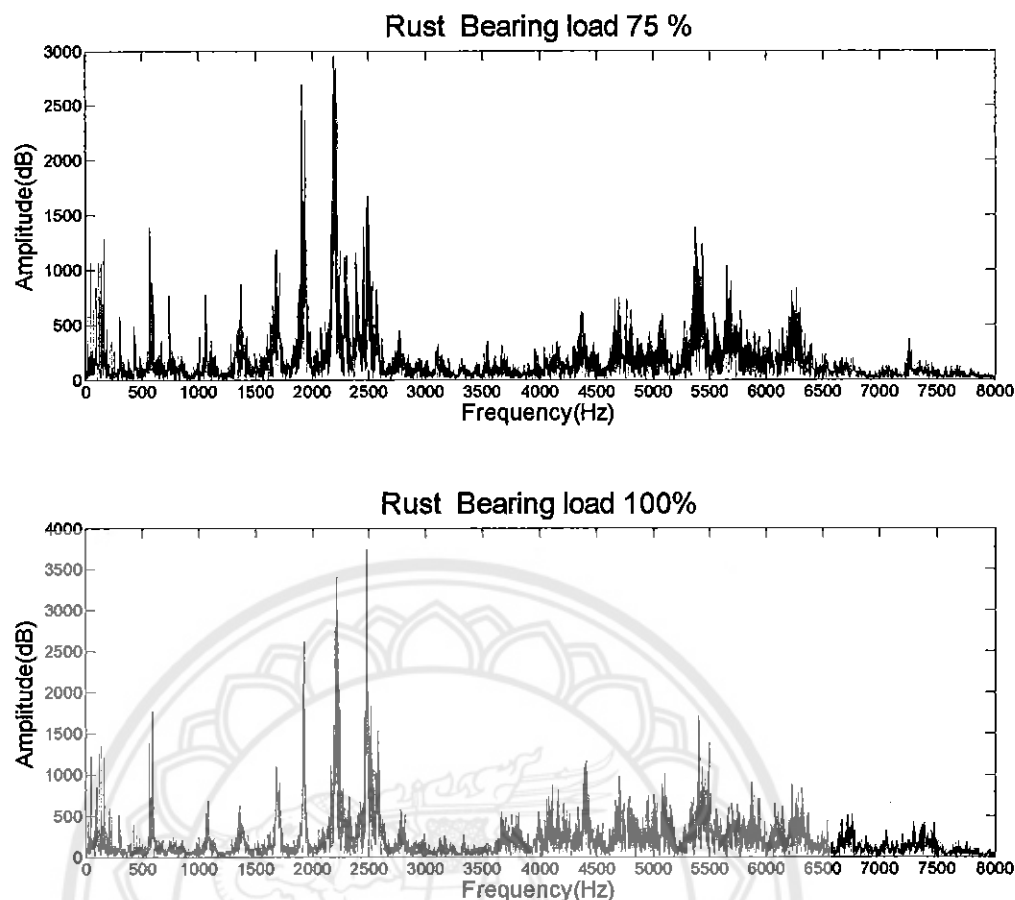
เมื่อนำผลการทดลองที่ได้มารีอตกราฟรูปที่ 4.53 และรูปที่ 4.54 มาเปรียบเทียบกับผลของสัญญาณกระแทกที่แชร์เบร้ย์กรัมเกิดขึ้นภายในหนึ่งวันที่ขณะทดสอบของเครื่องอินดิคเตอร์ 0 เปอร์เซนต์, 25 เปอร์เซนต์, 50 เปอร์เซนต์, 75 เปอร์เซนต์ และ 100 เปอร์เซนต์ จะเห็นได้ว่าตำแหน่งในรูปที่ 4.53 ตำแหน่งที่เกิดขึ้นของช่วงความถี่ของแต่ละโหลดภายในหนึ่งวัน มีค่าความถี่ใกล้เคียงกันหรืออยู่ในช่วงบานความถี่ที่ได้ในตารางที่ 4.3 มีค่าความถี่ต่างๆ ที่ได้ดังนี้ ตำแหน่งที่ 1 อยู่ในช่วงความถี่ประมาณ 500 เฮิร์ต ตำแหน่งที่ 2 อยู่ในช่วงความถี่ประมาณ 1,000 เฮิร์ต ตำแหน่งที่ 3 อยู่ในช่วงความถี่ประมาณ 1,500 เฮิร์ต และตำแหน่งที่ 4 อยู่ในช่วงความถี่ประมาณ 2,500 เฮิร์ต



รูปที่ 4.56 กราฟสัญญาณแอมป์ริคของเสียงเบร้ย์แชร์น้ำเกลือ 3 วัน

#### 4.3.4 สัญญาณเสียงแบร์จแซน้ำเกลือ 4 วัน





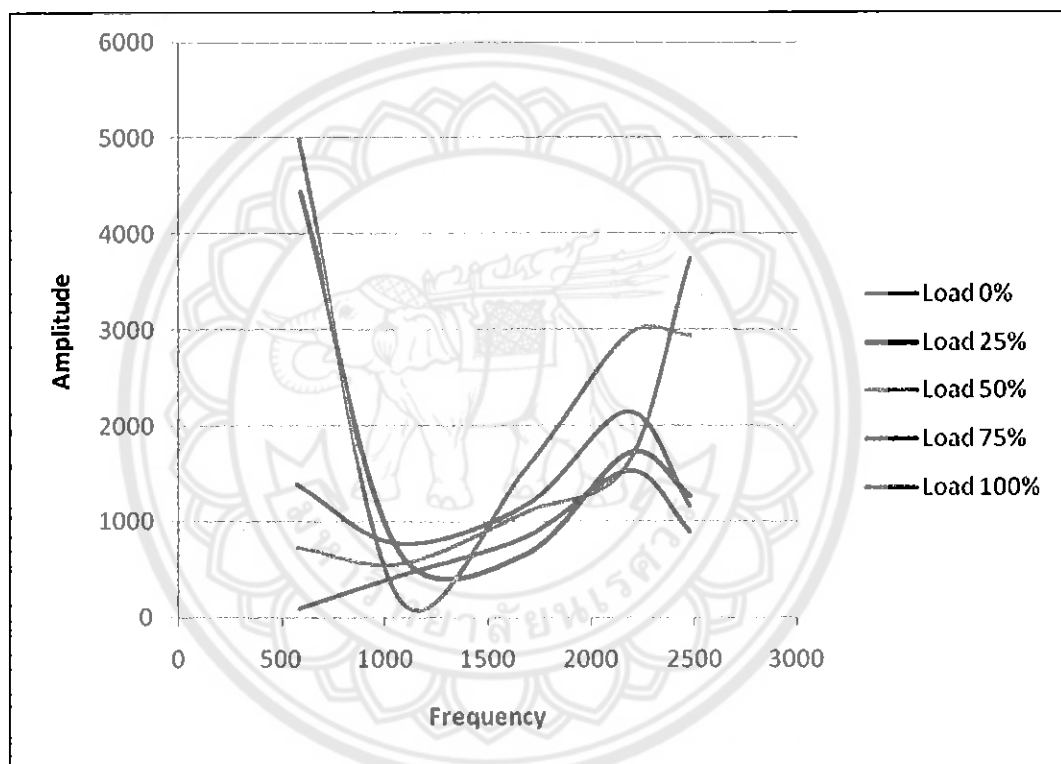
รูปที่ 4.57 สัญญาณเสียงที่รวม荷ลคภายใน 4 วัน

ตารางที่ 4.4 ตารางเปรียบเทียบสัญญาณเสียงที่荷ลค 4 วัน

Load	Frequency	Amplitude	Frequency	Amplitude	Frequency	Amplitude
0	582	91.93	1051	423.6	1686	845.9
25	591	4436	1062	693.8	1677	648.3
50	584	4991	1065	198.5	1678	1538
75	574	1393	1066	774.3	1691	1186
100	579	728.2	1075	555.2	1686	1100

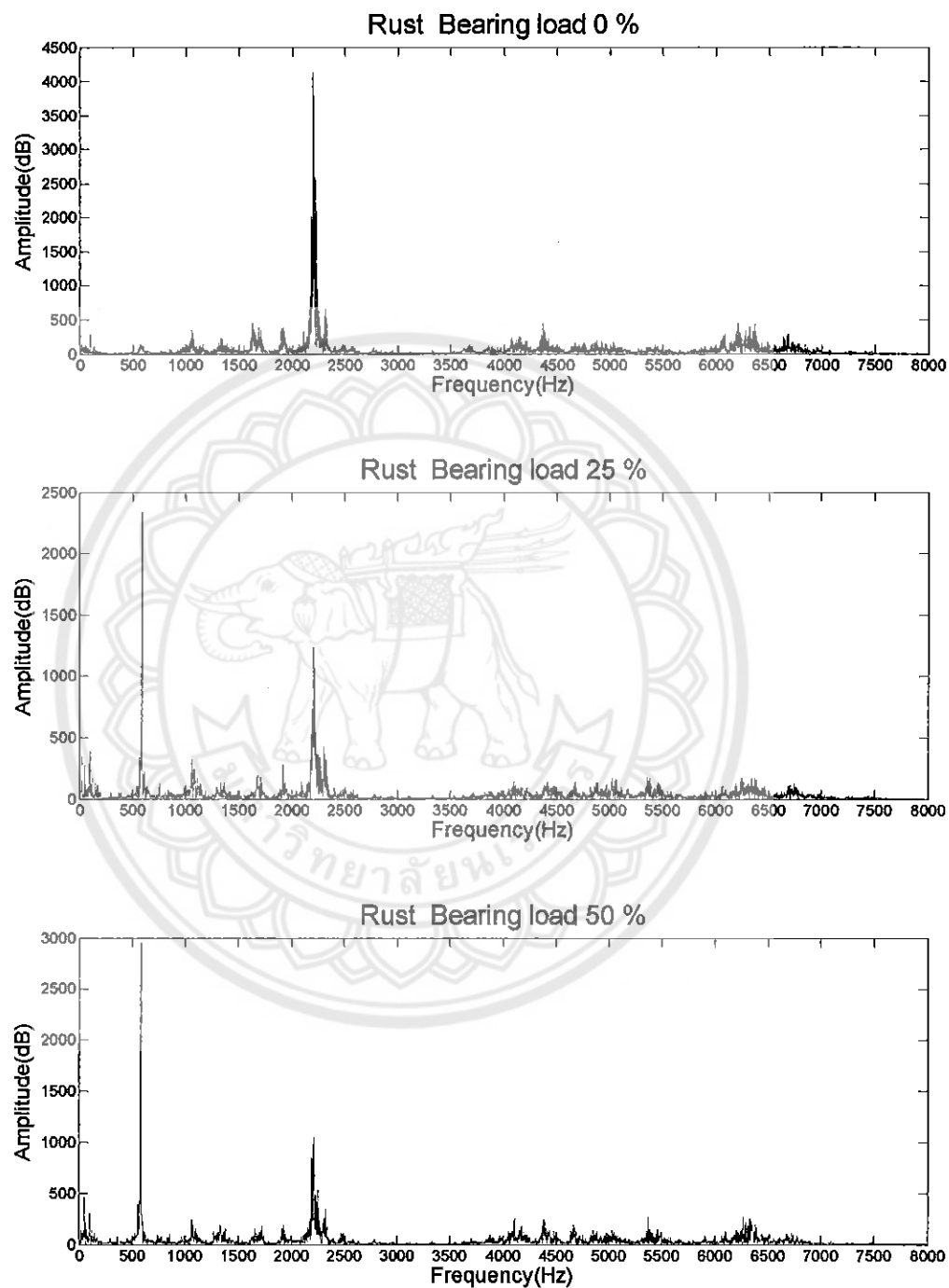
Load	Frequency	Amplitude	Frequency	Amplitude
0	2189	1535	2478	895.9
25	2182	1710	2476	1266
50	2178	2947	2479	2942
75	2181	2152	2476	1164
100	2180	1609	2476	3747

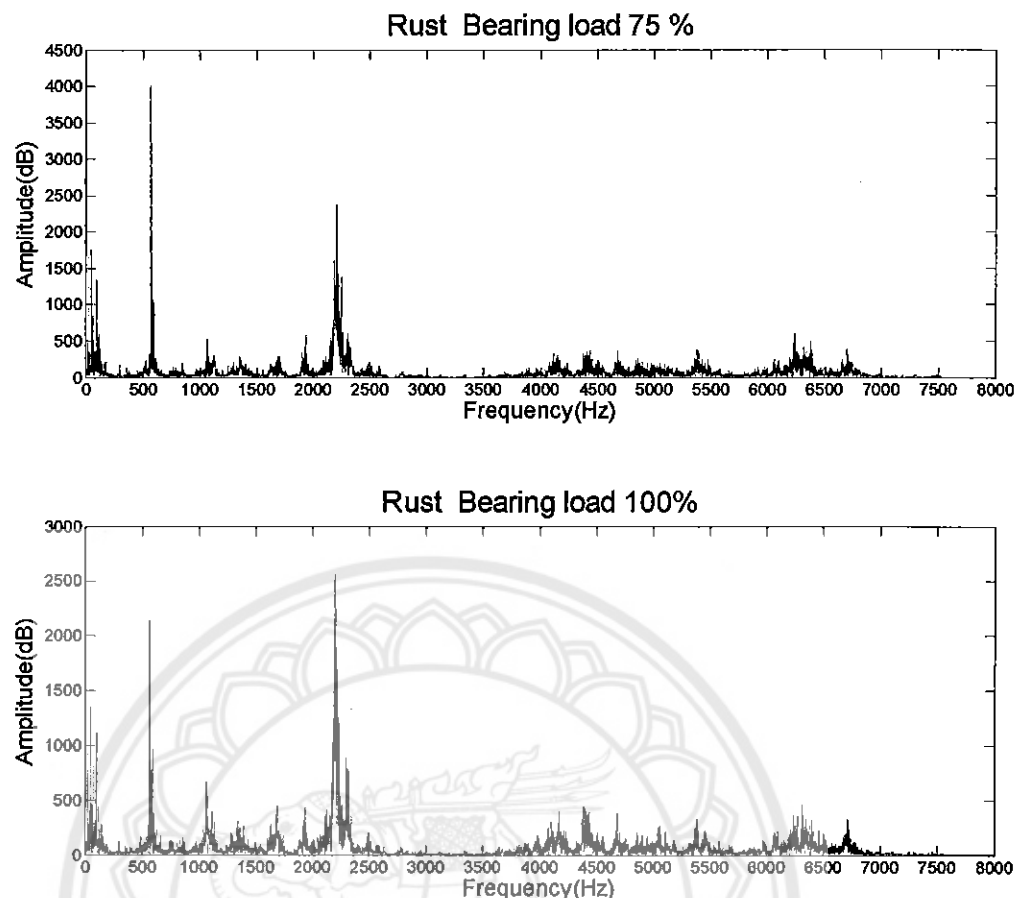
เมื่อนำผลการทดลองที่ได้มาพิอตกราฟรูปที่ 4.54 แสดงรูปรวมโหลดของสัญญาณกระแสที่แข็งแรงร่องเกิดสนิมภายในหนึ่งวันที่ขณะโหลดของมอเตอร์อินคันชั้น 0 เปอร์เซนต์, 25 เปอร์เซนต์, 50 เปอร์เซนต์, 75 เปอร์เซนต์ และ 100 เปอร์เซนต์ จะเห็นได้ว่าตำแหน่งในรูปที่ 4.54 ตำแหน่งที่เกิดของช่วงความถี่ของแต่ละโหลดภายในหนึ่งวัน มีค่าความถี่ใกล้เคียงกันหรืออยู่ในช่วงบานความถี่ที่ได้ในตารางที่ 4.4 มีค่าความถี่ต่างๆ ที่ได้ดังนี้ ตำแหน่งที่ 1 อยู่ในช่วงความถี่ประมาณ 500 เฮิร์ต ตำแหน่งที่ 2 อยู่ในช่วงความถี่ประมาณ 1,000 เฮิร์ต ตำแหน่งที่ 3 อยู่ในช่วงความถี่ประมาณ 1,500 เฮิร์ต และตำแหน่งที่ 4 อยู่ในช่วงความถี่ประมาณ 2,500 เฮิร์ต



รูปที่ 4.58 กราฟสัญญาณแอนมปริจุดของเดียงแบร์ริงแข็งน้ำเกลือ 4 วัน

#### 4.3.5 สัญญาณเสียงเบริงแซน้ำเกลือ 5 วัน





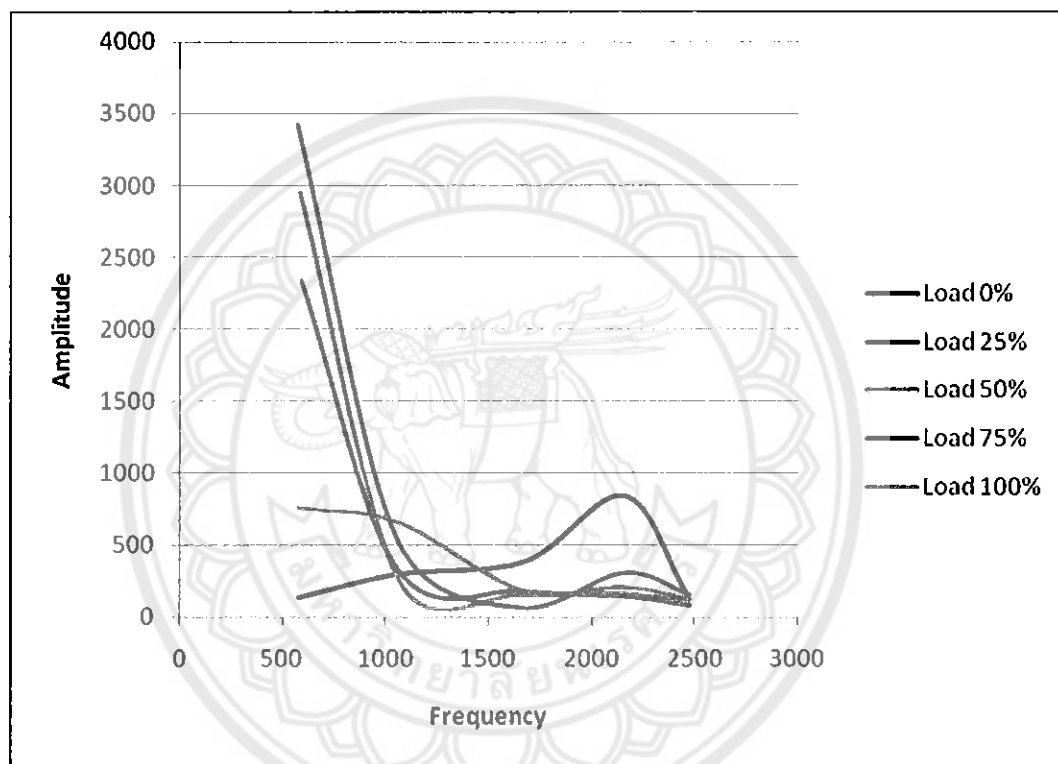
รูปที่ 4.59 สัญญาณเสียงที่รวม荷载ภายใน 5 วัน

ตารางที่ 4.5 ตารางเปรียบเทียบสัญญาณเสียงที่荷载 5 วัน

Load	Frequency	Amplitude	Frequency	Amplitude	Frequency	Amplitude
0	578	130.8	1062	293.8	1680	383
25	591	2335	1061	322.1	1667	180
50	583	2952	1072	235.6	1651	156.4
75	573	3418	1061	521.1	1652	60.56
100	580	759.9	1061	659.3	1668	179.7

Load	Frequency	Amplitude	Frequency	Amplitude
0	2158	839.7	2473	135.7
25	2153	141.1	2475	77.89
50	2153	163.2	2472	102.2
75	2153	302.2	2477	151.5
100	2151	205.2	2478	120.2

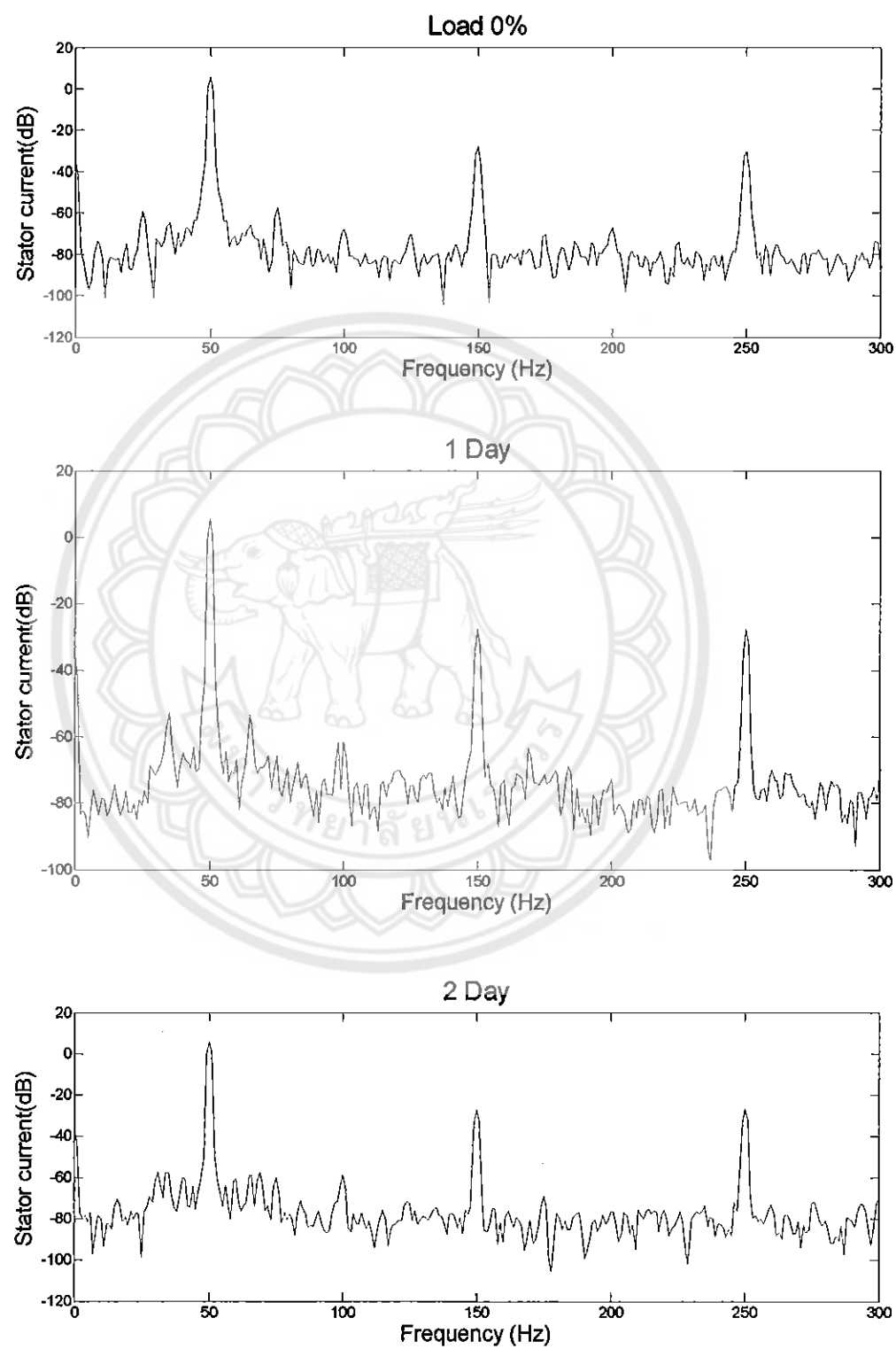
เมื่อนำผลการทดสอบที่ได้มาพิจารณาฟรูปที่ 4.55 แสดงรูปรวมโหลดของสัญญาณกระแสที่แข็งแรงกรณีเกิดสนิมภายในหนึ่งวันที่ขณะทดสอบของนอเตอร์อินคันชั่น 0 เปอร์เซนต์, 25 เปอร์เซนต์, 50 เปอร์เซนต์, 75 เปอร์เซนต์ และ 100 เปอร์เซนต์ จะเห็นได้ว่าตัวแทนในรูปที่ 4.55 ตัวแทนที่เกิดของช่วงความถี่ของแต่ละโหลดภายในหนึ่งวัน มีค่าความถี่ใกล้เคียงกันหรืออยู่ในช่วงยานความถี่ที่ได้ในตารางที่ 4.5 มีค่าความถี่ต่างๆที่ได้ดังนี้ ตัวแทนที่ 1 อยู่ในช่วงความถี่ประมาณ 500 เฮิรต ตัวแทนที่ 2 อยู่ในช่วงความถี่ประมาณ 1,000 เฮิรต ตัวแทนที่ 3 อยู่ในช่วงความถี่ประมาณ 1,500 เฮิรต และตัวแทนที่ 4 อยู่ในช่วงความถี่ประมาณ 2,500 เฮิรต

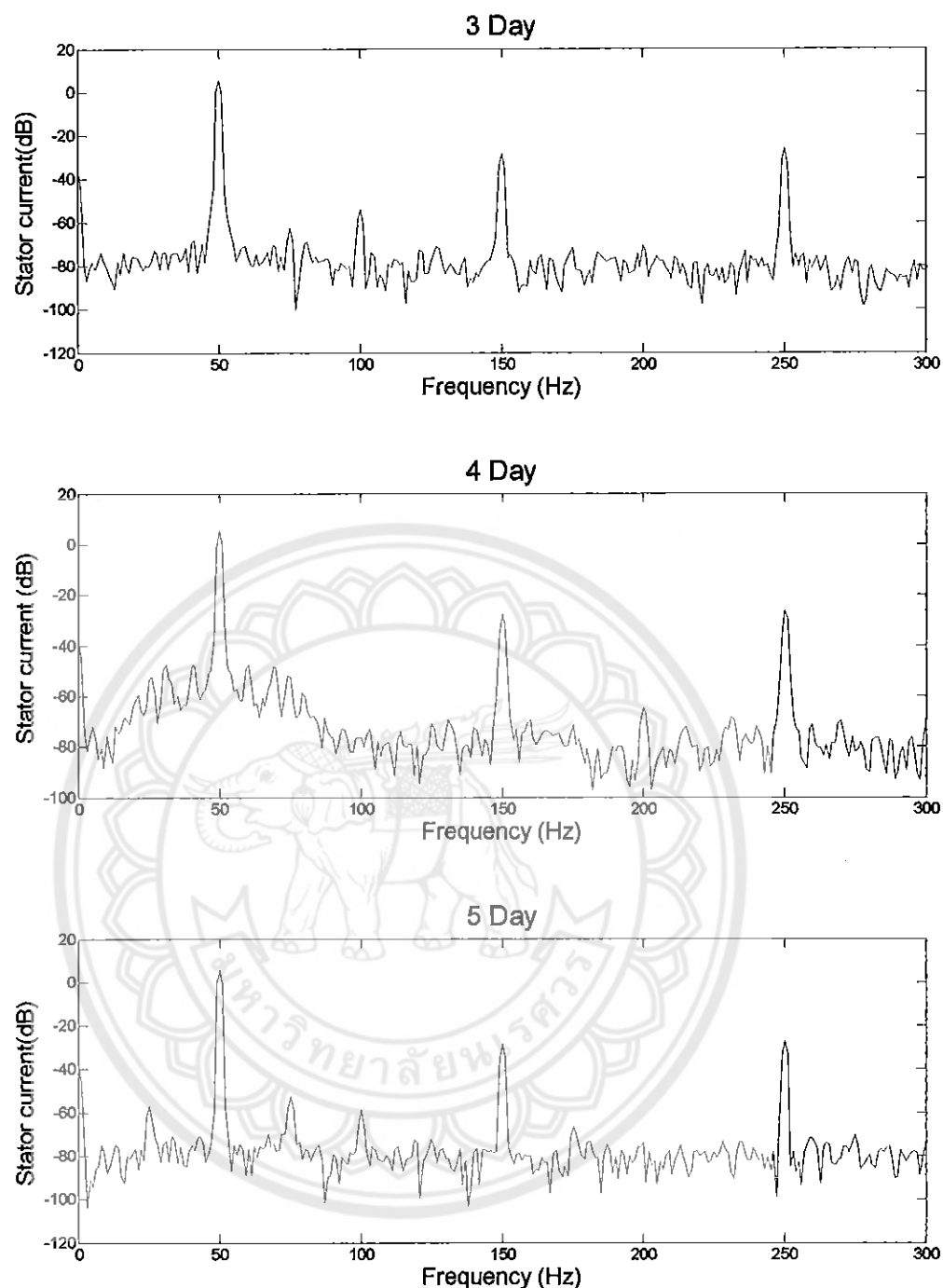


รูปที่ 4.60 กราฟสัญญาณแอมป์ริคของเสียงแข็งแรงที่น้ำเกลือ 5 วัน

#### 4.4 แสดงผลการทดลองเปรียบเทียบสัญญาณกระแส

##### 4.4.1 สัญญาณกระแสที่ความถี่ 0 เปอร์เซนต์

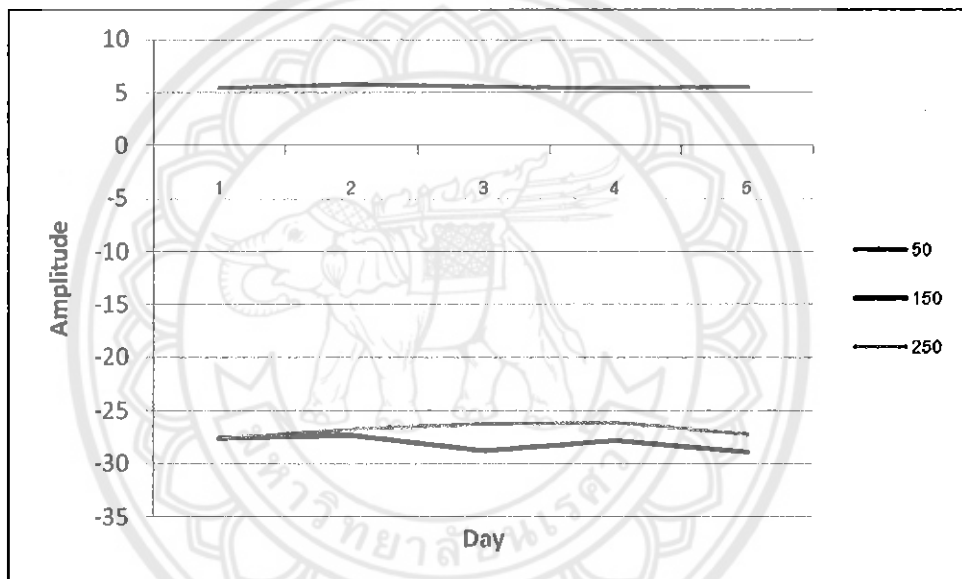




รูปที่ 4.61 สัญญาณกระแสของทั้ง 5 วัน

ตารางที่ 4.6 ตารางเปรียบเทียบสัญญาณกระแสที่โหลด 0 เมอร์เซนต์

Day	Amplitude		
	50	150	250
1	5.458	-27.54	-27.64
2	5.746	-27.34	-26.79
3	5.601	-28.77	-26.23
4	5.441	27.82	-26.17
5	5.557	-28.85	-27.16

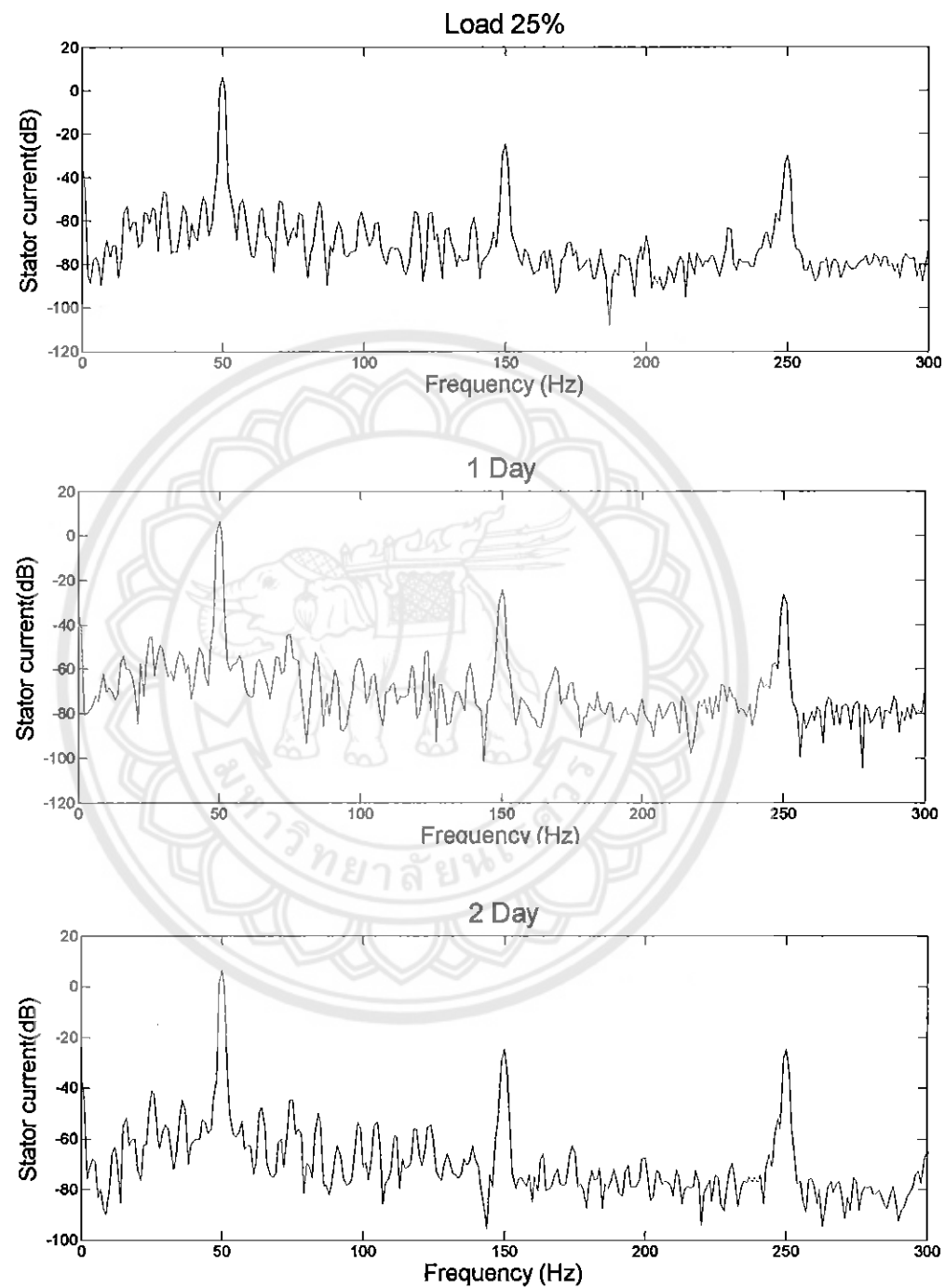


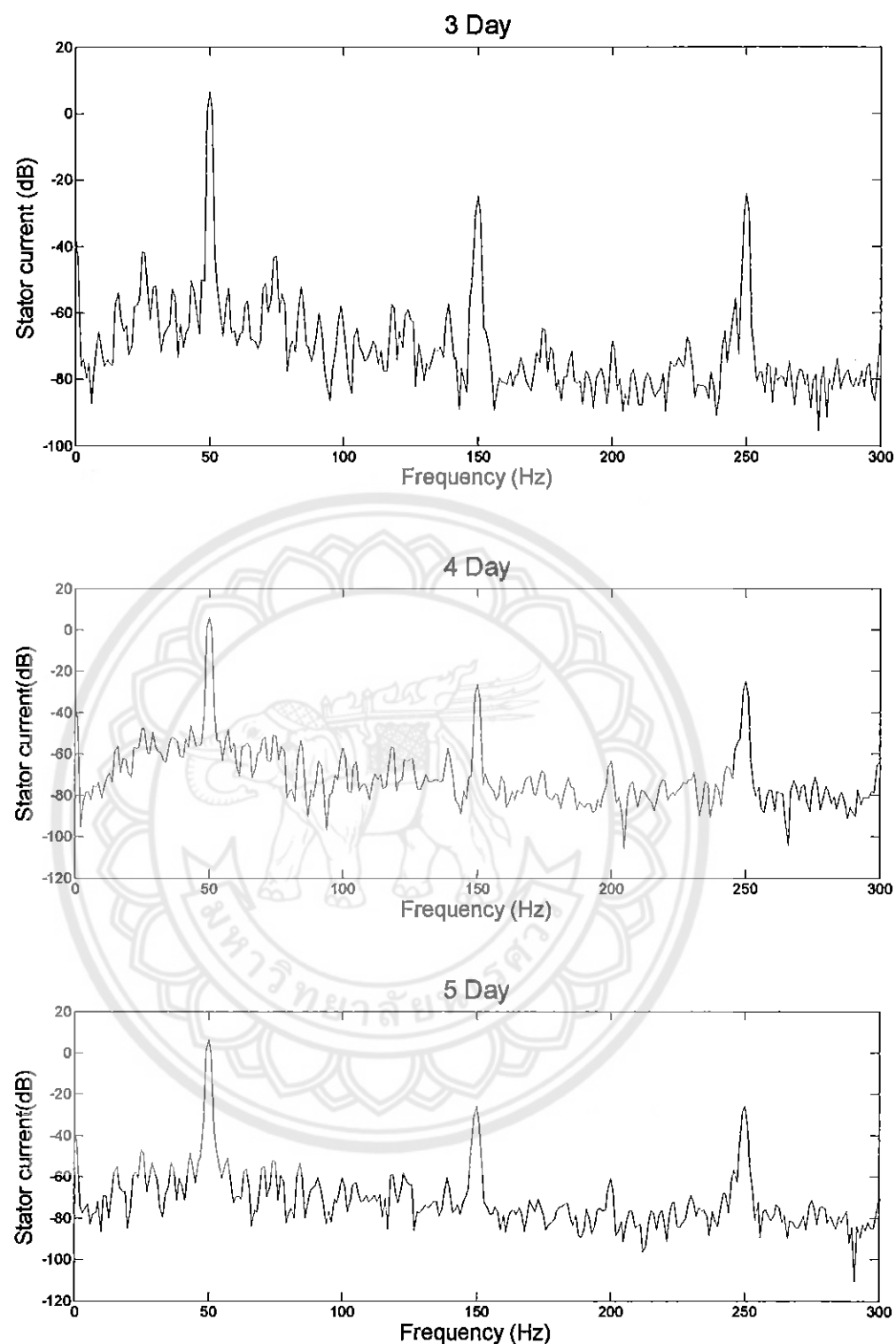
รูปที่ 4.62 กราฟสัญญาณแอนปวิจุตของกระแสเบร็จแข่น้ำเกลือ 0 เมอร์เซนต์

ตารางที่ 4.7 ตารางสัญญาณกระแสกรีดีบีริงบักติ

Load	Amplitude		
	50	150	250
0%	5.582	-27.82	-30.16
25%	6.211	-25.11	-30.07
50%	7.046	-25.28	-34.02
75%	8.218	-25.56	-34.01
100%	8.999	-25.3	-33.76

#### 4.4.2 สัญญาณกระแสที่ความถี่ 25 เปอร์เซ็นต์

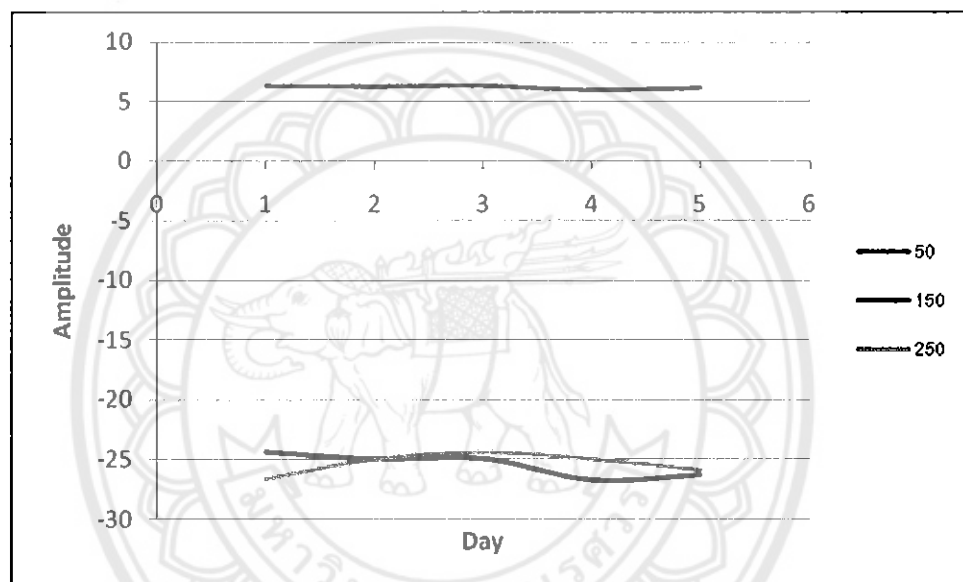




รูปที่ 4.63 ตัวอย่างการแสวงของ 5 วัน

ตารางที่ 4.8 ตารางเปรียบเทียบสัญญาณกระแสที่โหลด 25 เมอร์เซนต์

Day	Amplitude		
	50	150	250
1	6.299	-24.33	-26.65
2	6.274	-24.92	-25
3	6.298	-24.9	-24.4
4	6.001	-26.73	-24.99
5	6.147	-26.3	-25.93

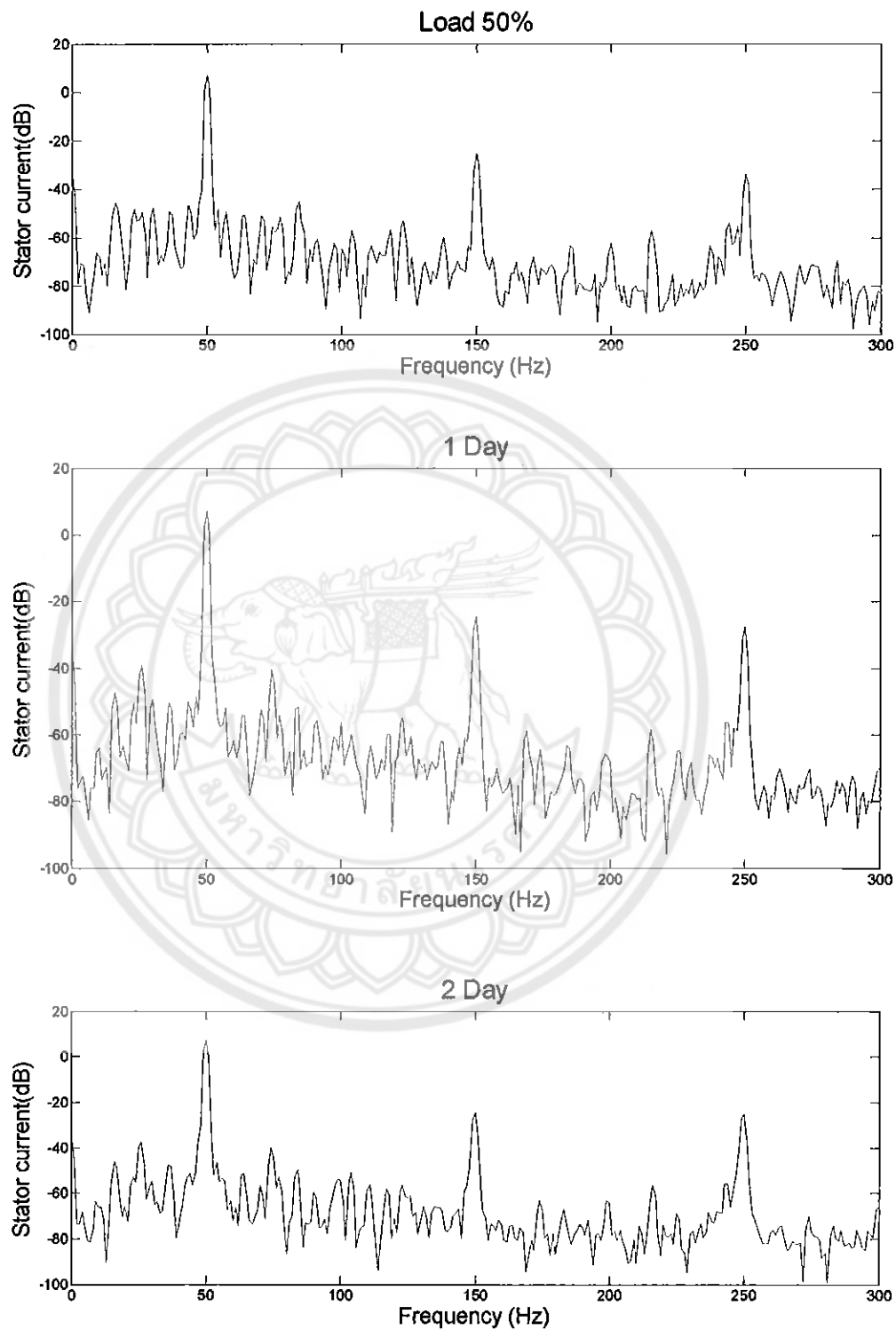


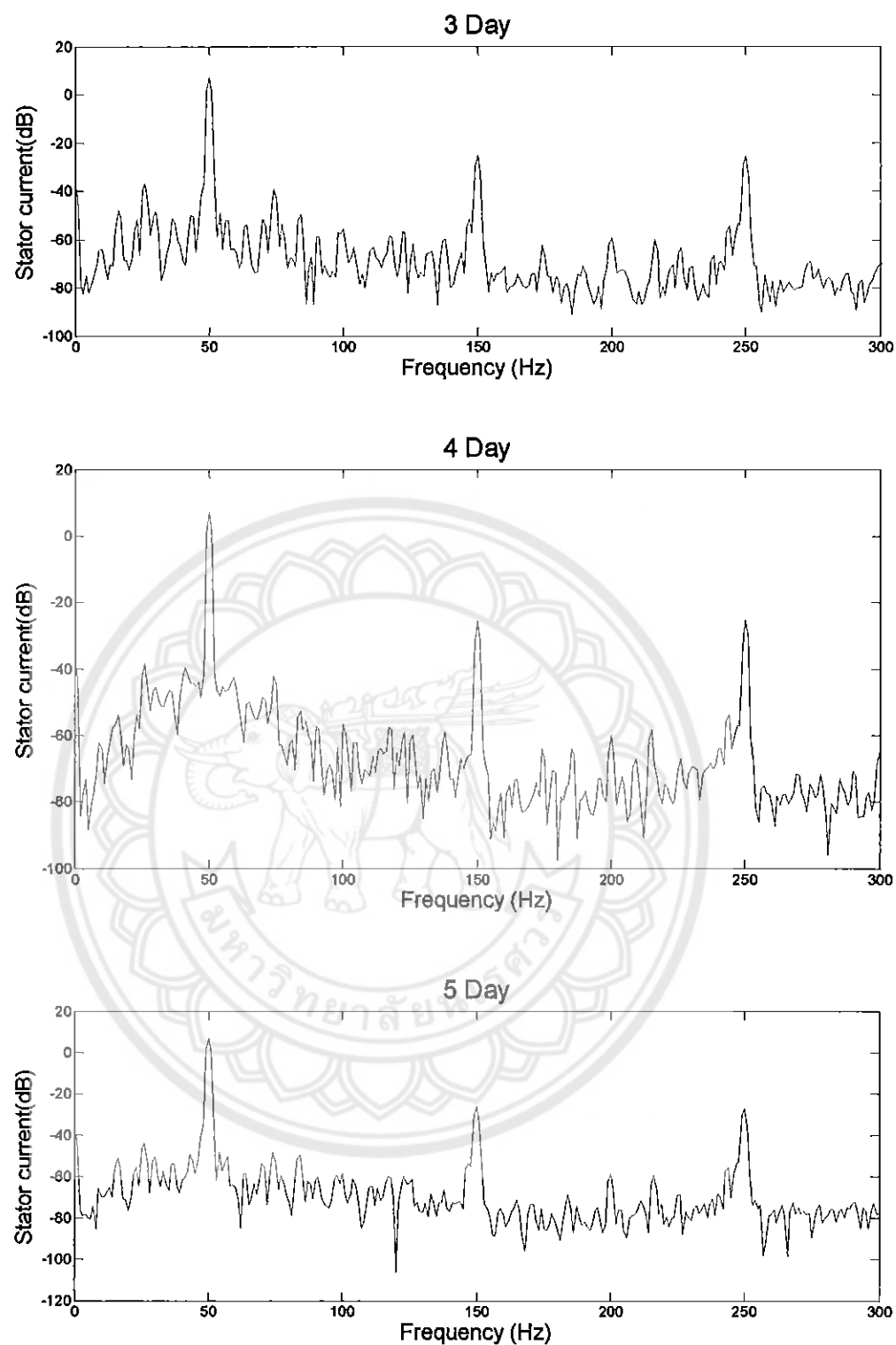
รูปที่ 4.64 กราฟสัญญาณแอนปิจิกของกระแสแบร์จเม่น้ำเกลือ 25

ตารางที่ 4.9 ตารางสัญญาณกระแสแก้รูปแบบร่องปากติ

Load	Amplitude		
	50	150	250
0%	5.582	-27.82	-30.16
25%	6.211	-25.11	-30.07
50%	7.046	-25.28	-34.02
75%	8.218	-25.56	-34.01
100%	8.999	-25.3	-33.76

#### 4.4.3 สัญญาณกระแสที่ความถี่ 50 เบอร์เซนต์

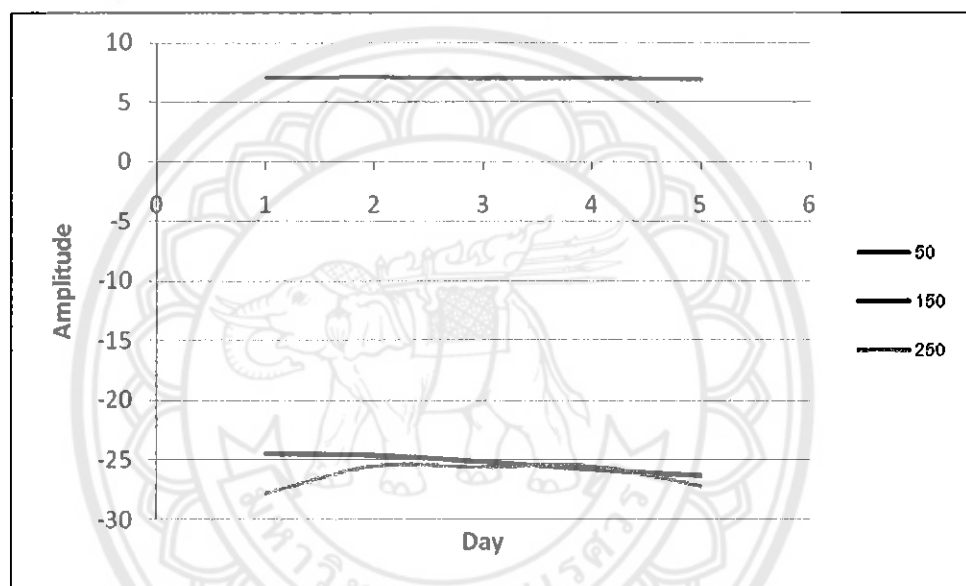




รูปที่ 4.65 ตัวอย่างการแสวงของ 5 วัน

ตารางที่ 4.10 ตารางเปรียบเทียบสัญญาณกระแสที่โหลด 50 เมอร์เซนต์

Day	Amplitude		
	50	150	250
1	7.057	-24.5	-27.8
2	7.147	-24.63	-25.51
3	6.992	-25.16	-25.61
4	7.03	-25.78	-25.52
5	6.873	-26.28	-27.15

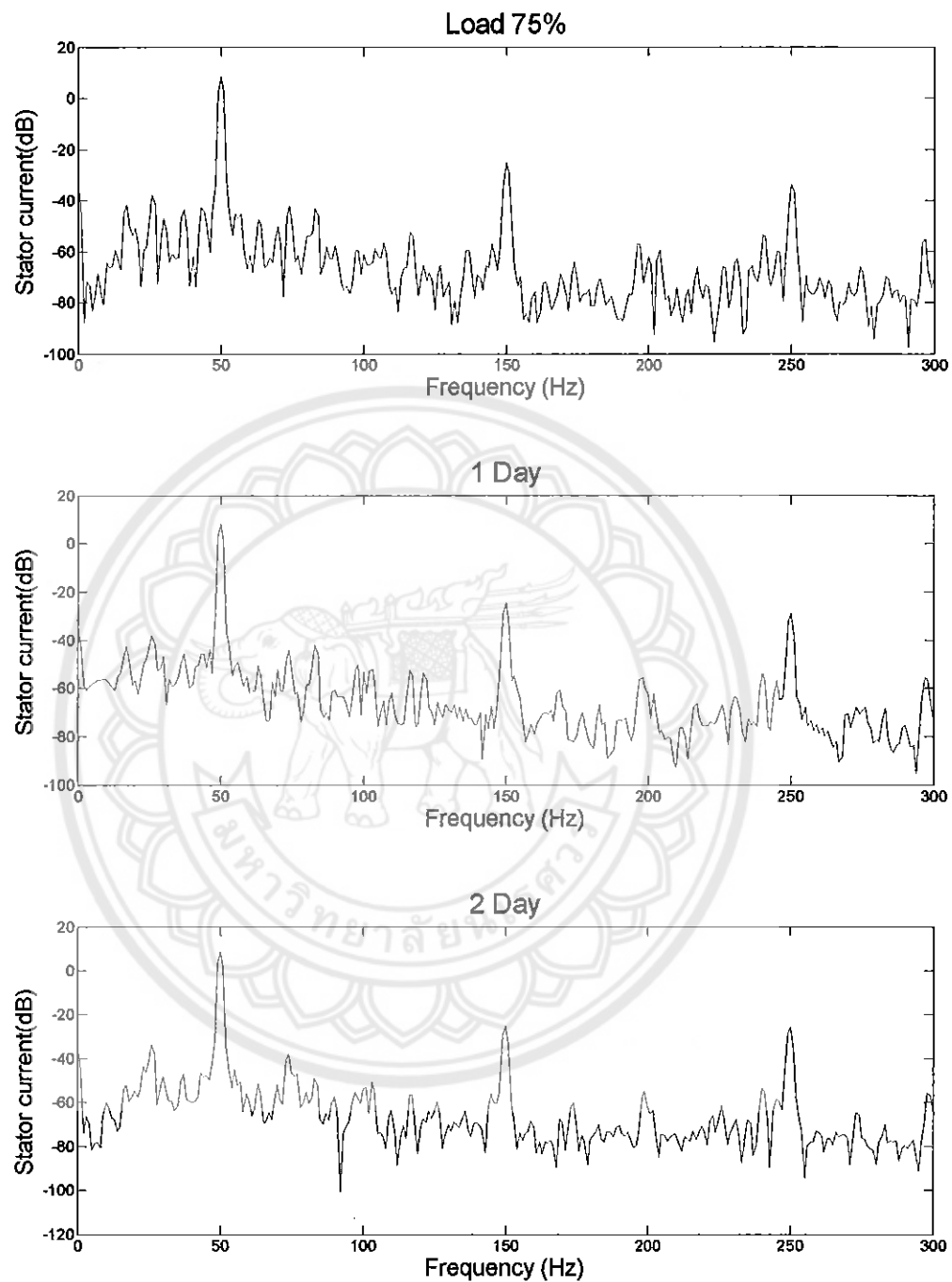


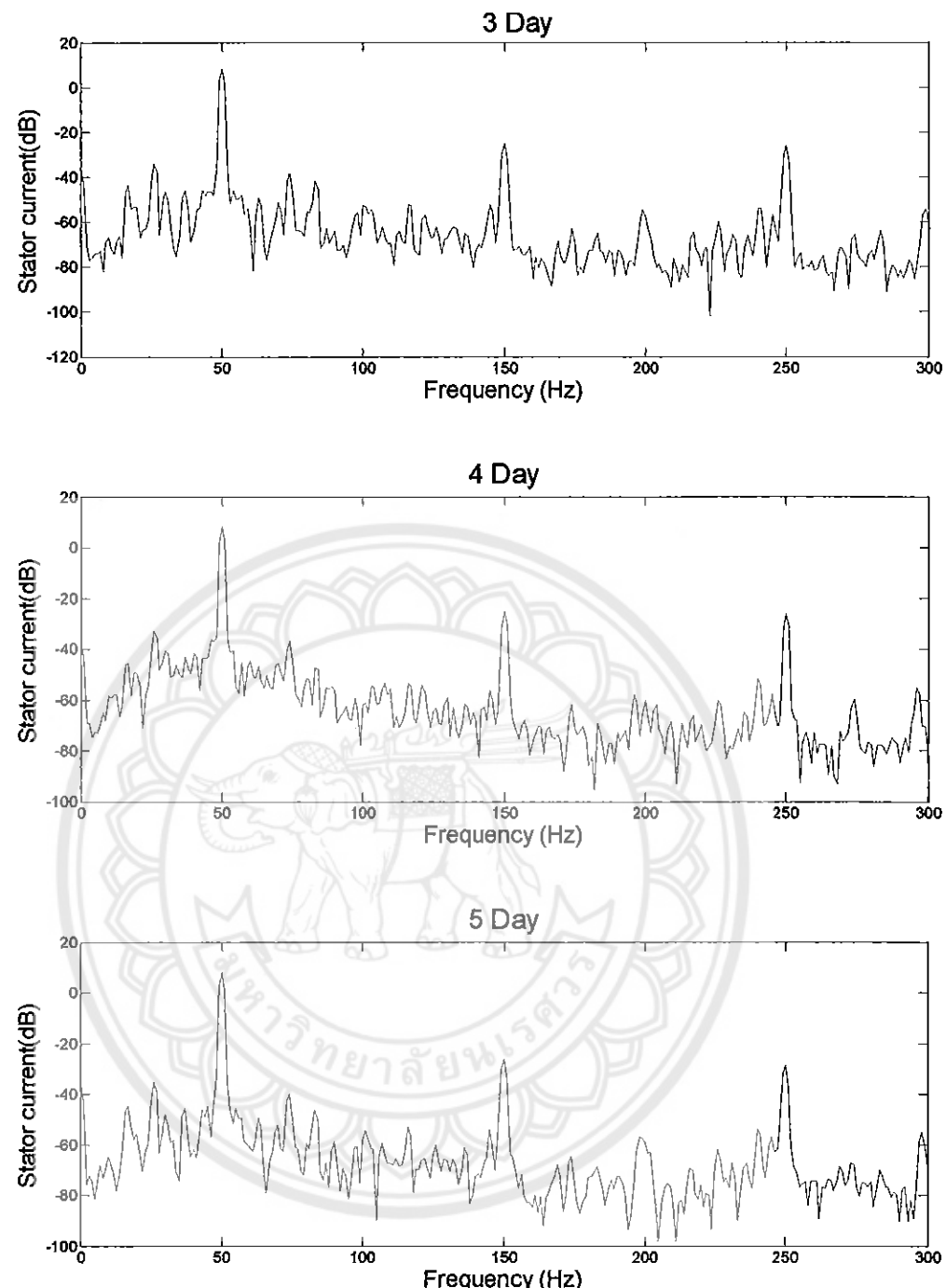
รูปที่ 4.66 กราฟสัญญาณแอมป์ริคของกระแสแบริ่งแข็งน้ำเกลือ 50 เมอร์เซนต์

ตารางที่ 4.11 ตารางสัญญาณกระแสเดกรัศมีแบริ่งปกติ

Load	Amplitude		
	50	150	250
0%	5.582	-27.82	-30.16
25%	6.211	-25.11	-30.07
50%	7.046	-25.28	-34.02
75%	8.218	-25.56	-34.01
100%	8.999	-25.3	-33.76

#### 4.4.4 สัญญาณกระแสที่ความถี่ 75 เปอร์เซ็นต์

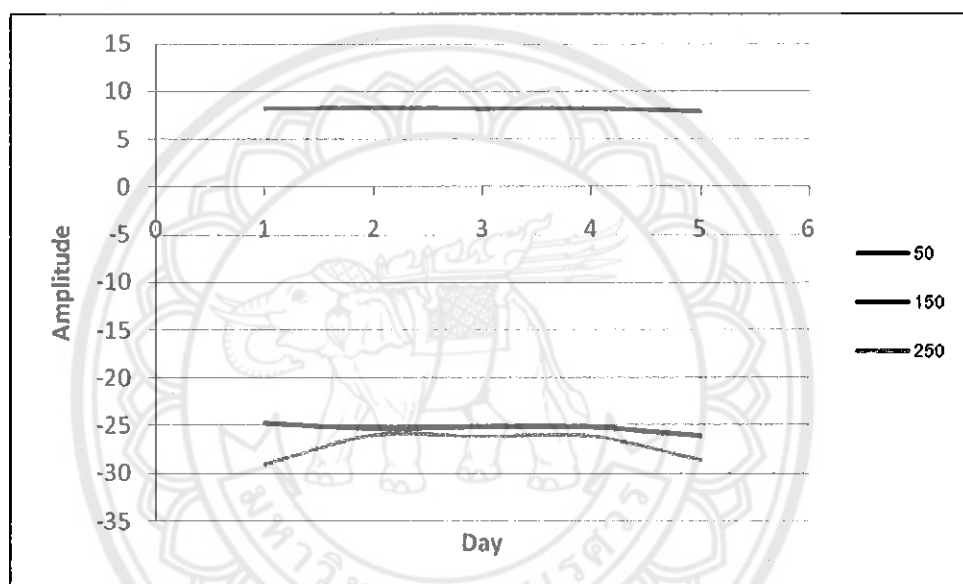




รูปที่ 4.67 สัญญาณกระแสของทั้ง 5 วัน

ตารางที่ 4.12 ตารางเปรียบเทียบสัญญาณกระแสที่โหลด 75 เมอร์เซนต์

Day	Amplitude		
	50	150	250
1	8.193	-24.78	-29.02
2	8.26	-25.31	-25.98
3	8.176	-25.15	-26.12
4	8.201	-25.18	-26.07
5	7.936	-26.02	-28.58

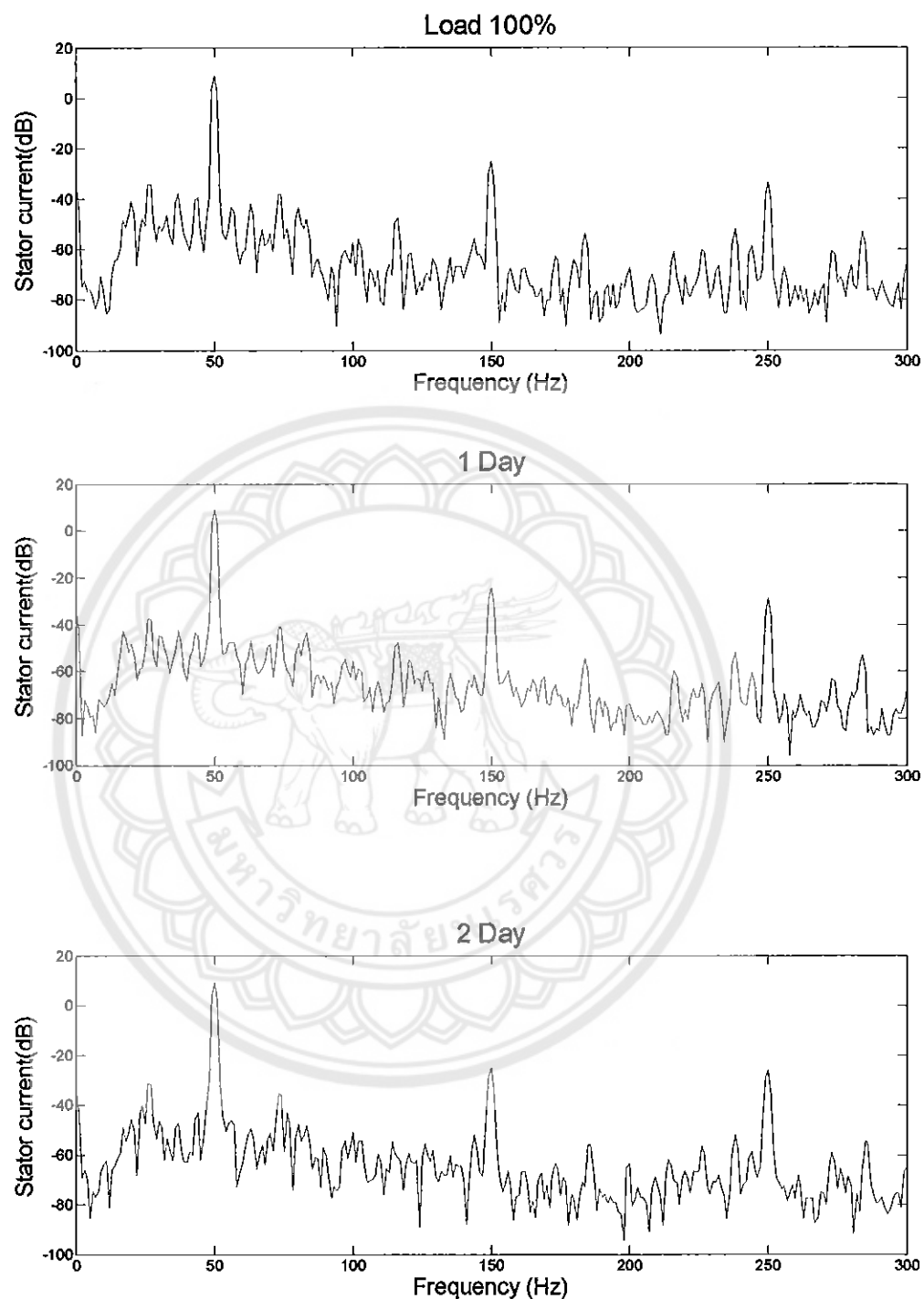


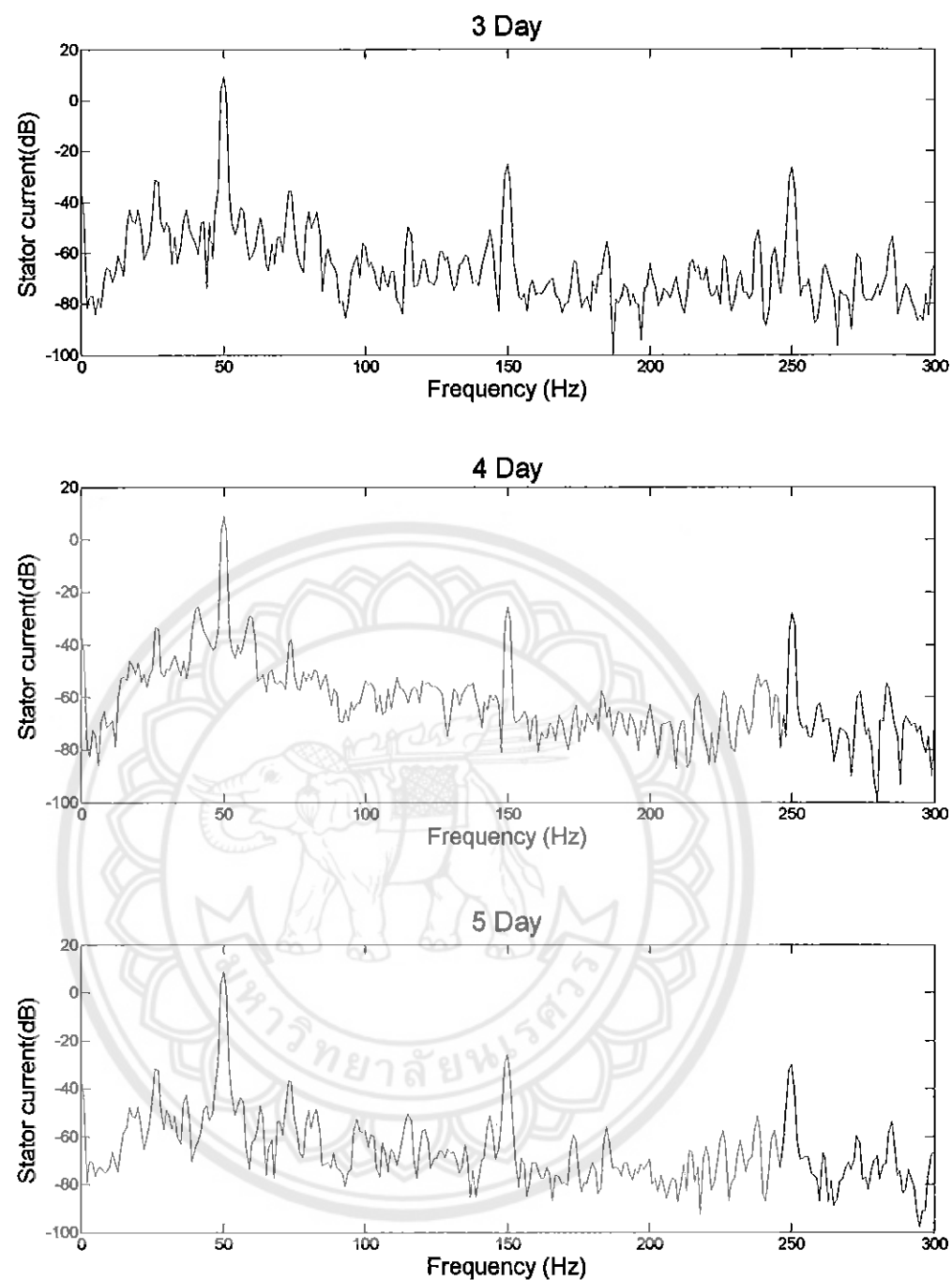
รูปที่ 4.68 กราฟสัญญาณแอมป์ริคของกระแสเบร็งเช่น้ำเกลือ 75 เมอร์เซนต์

ตารางที่ 4.13 ตารางสัญญาณกระแสกรณีเบร็งบกติ

Load	Amplitude		
	50	150	250
0%	5.582	-27.82	-30.16
25%	6.211	-25.11	-30.07
50%	7.046	-25.28	-34.02
75%	8.218	-25.56	-34.01
100%	8.999	-25.3	-33.76

#### 4.4.5 สัญญาณกระแสที่ความถี่ 100 เปอร์เซนต์

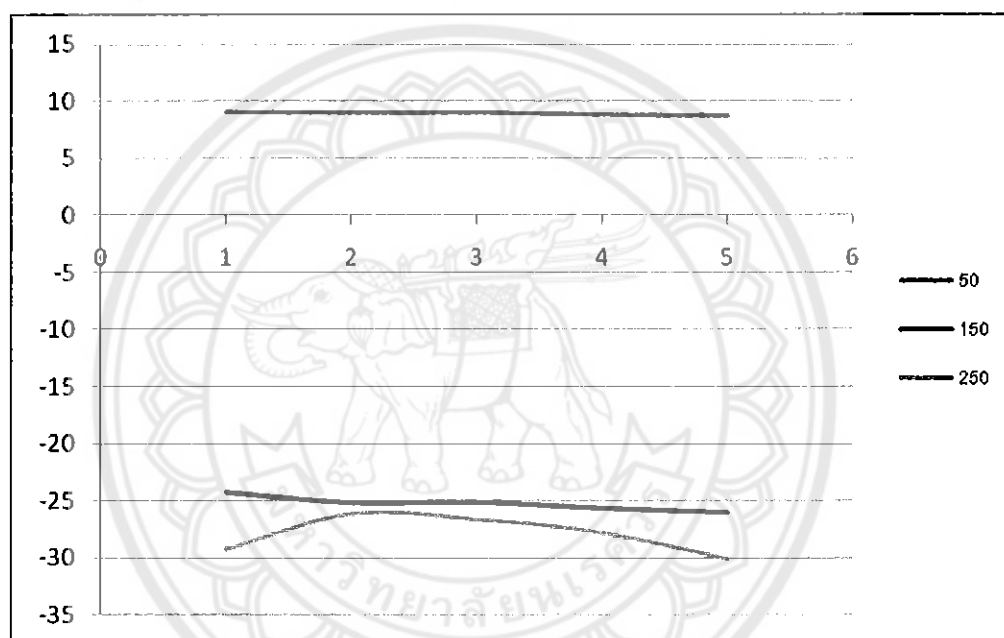




รูปที่ 4.69 สัญญาณกระแสของทั้ง 5 วัน

ตารางที่ 4.14 ตารางเปรียบเทียบสัญญาณกระแสที่โหลด 100 เมอร์เซนต์

Day	Amplitude		
	50	150	250
1	9.107	-24.3	-29.25
2	9.036	-25.19	-26.15
3	9.032	-25.16	-26.65
4	8.768	-25.66	-27.83
5	8.687	-26.02	-30.11



รูปที่ 4.70 กราฟสัญญาณแอนบิจุดของกระแสเบริ่งเน้น้ำเกลือ 100 เมอร์เซนต์

ตารางที่ 4.15 ตารางสัญญาณกระแสแกร์ฟีเบริ่งปกติ

Load	Amplitude		
	50	150	250
0%	5.582	-27.82	-30.16
25%	6.211	-25.11	-30.07
50%	7.046	-25.28	-34.02
75%	8.218	-25.56	-34.01
100%	8.999	-25.3	-33.76

## บทที่ 5

### สรุปผลการทดลอง และข้อเสนอแนะ

#### 5.1 สรุปผลการทดลอง

จากผลการทดลองที่ได้ในบทที่ 4 ในเรื่องของสัญญาณเสียงจะเห็นได้ว่าค่าสัญญาณเสียงที่ได้จากการทดลองกรณีแบบริงเกิดสนิมของห้องห้าวันในมอเตอร์อินดักชันที่โหลด 0 เปอร์เซนต์ 25 เปอร์เซนต์ 50 เปอร์เซนต์ 75 เปอร์เซนต์ 100 เปอร์เซนต์ มีการเกิดแอมพริจูดส่วนใหญ่ของห้องห้าวันมีค่าใกล้เคียงกันดังนี้ ที่ตำแหน่งความถี่ที่ 1 มีค่าความถี่ประมาณ 500 เฮิรตซ์ ที่ตำแหน่งที่ 2 มีค่าความถี่ประมาณ 1,000 เฮิรตซ์ ที่ตำแหน่งที่ 3 เฮิรตซ์ มีค่าความถี่ประมาณ 1,500 เฮิรตซ์ ที่ตำแหน่งที่ 4 มีค่าประมาณ 2,000 เฮิรตซ์ ดังนั้นจะเห็นได้ว่าค่าสัญญาณเสียงสามารถใช้เป็นแนวทางในการทำนายตัวแปรริงเกิดสนิมหรือไม่โดยคุณภาพความถี่ที่ตำแหน่งประมาณ 500 เฮิรตซ์ , 1,000 เฮิรตซ์, 1,500 เฮิรตซ์, 2,000 เฮิรตซ์ และ 2,500 เฮิรตซ์

จากผลการทดลองสัญญาณกระแสค่าที่ได้จากการทดลองพบว่ากรณีค่าสัญญาณกระแสของแบบริงปักติ กับค่าสัญญาณกระแสกรณีแบบริงเกิดสนิมมีค่าที่ตำแหน่งความถี่ 50 เฮิรตซ์ 150 เฮิรตซ์ 250 เฮิรตซ์ มีค่าแอมพริจูดใกล้เคียงกันอันเนื่องมาจากการที่แบบริงเกิดสนิมไม่ทำให้การหมุนของโรเตอร์ชะลอทำให้กระแสที่ไหลเข้ามอเตอร์ไหลได้ดีเนื่องจากมีค่าแอมพริจูดใกล้เคียงกับแบบริงปักติ

ดังนั้นในการตรวจสอบหาว่าแบบริงขนาดที่ใช้อยู่ในมอเตอร์อินดักชันนั้นเกิดสนิมหรือไม่ควรจะเลือกวิธีการเสียงเป็นแนวทางในการทำนายผล

#### 5.2 ปัญหา ข้อเสนอแนะ และแนวทางแก้ไข

- 1) เมื่อจากการทดลองมีการเปลี่ยนแบบริงที่เกิดสนิมหลายอันเวลาทดสอบแบบริงออกมานางอันไม่สามารถดูออกมามาได้ยังไงก็ทำให้เวลาทดลองต้องเสียเวลาในการเปลี่ยนแบบริง แก้ไขโดยการใช้อุปกรณ์ดึงแบบริงออก
- 2) เวลาทดลองนานๆ มอเตอร์อินดักชันจะร้อนมาก ควรแก้ไขโดยมีการวางแผนในการทดลองเพื่อให้การเก็บค่าสัญญาณให้ได้เร็วขึ้นกว่าเดิม
- 3) เมื่อจากการเวลาเก็บค่าสัญญาณกระแสในเครื่องคอมพิวเตอร์มีไฟล์ที่ต้องเก็บเยอะดังนั้นควรตั้งชื่อไฟล์เพื่อไม่ให้สับสนในการนำข้อมูลออกมานำไปใช้งาน

## เอกสารอ้างอิง

- [1] <http://www.lpc.rmutl.ac.th/elcen/elearning/motorcontrol/module8/rotor3.jpg>
  - [2] Eastern Asia University "ELECTRO MECHANICAL ENERGY CONVERSION"
  - [3] I. Y. Onel and M. E. H. Benbouzid, "Induction Motors Bearing Failures Detection and Diagnosis: Park and Concordia Transform Approaches Comparative Study," in Electric Machines & Drives Conference, 2007. IEMDC '07. IEEE International, 2007, pp. 1073-1078.
  - [5] C. M. Riley, *et al.*, "A method for sensorless on-line vibration monitoring of induction machines," *Industry Applications, IEEE Transactions on*, vol. 34, pp. 1240-1245, 1998.
  - [6] W. T. Thomson and M. Fenger, "Current signature analysis to detect induction motor faults," *Industry Applications Magazine, IEEE*, vol. 7, pp. 26-34, 2001.
  - [7] J. Vico, *et al.*, "Enhanced algorithm for motor rotor broken bar detection," in *Industrial and Commercial Power Systems Technical Conference (I&CPS), 2010 IEEE*, 2010, pp. 1-8.
  - [8] C. J. Dister and R. Schiferl, "Using temperature, voltage, and/or speed measurements to improve trending of induction motor RMS currents in process control and diagnostics," in *Industry Applications Conference, 1998. Thirty-Third IAS Annual Meeting. The 1998 IEEE*, 1998, pp. 312-318 vol.1.
  - [9] J. Vico, *et al.*, "Enhanced algorithm for motor rotor broken bar detection," in *Industrial and Commercial Power Systems Technical Conference (I&CPS), 2010 IEEE*, 2010, pp. 1-8.
  - [10] H. Okubo, *et al.*, "Technical Development on Partial Discharge Measurement and Electrical Insulation Techniques for Low Voltage Motors Driven by Voltage Inverters," *Dielectrics and Electrical Insulation, IEEE Transactions on*, vol. 14, pp. 1516-1530, 2007.
- นายกำพล หน่อแก้ว, นายณัฐพล สิทธิศรีจันทร์ (2551) . การศึกษาเรื่มเดินของมอเตอร์  
เห็นี่ยวนำไฟฟ้า 3 เฟส , วิศวกรรมไฟฟ้า, มหาวิทยาลัยนเรศวร, จังหวัดพิษณุโลก

## ประวัติผู้ดำเนินโครงการ



ชื่อ นายภิรมย์ รอดเงิน  
ภูมิลำเนา 373 หมู่ 17 ต.หนองกุลา อ.บางระกำ<sup>จ.พิษณุโลก 65140</sup>

### ประวัติการศึกษา

- จบมัธยมศึกษาจาก โรงเรียนประชาสงเคราะห์วิทยา
- ปัจจุบันกำลังศึกษาในระดับปริญญาตรีชั้นปีที่ 4 สาขาวิศวกรรมไฟฟ้า คณะวิศวกรรมศาสตร์มหาวิทยาลัยนเรศวร

E-mail: [a-ob-jung@hotmail.com](mailto:a-ob-jung@hotmail.com)



ชื่อ นายอรุณ พงษ์ คีอินทร์  
ภูมิลำเนา 109/1 หมู่ 7 ต.วังน้ำคู้ อ.เมือง<sup>จ.พิษณุโลก 65230</sup>

### ประวัติการศึกษา

- จบมัธยมศึกษาจาก โรงเรียนเตรียมอุดมศึกษาภาคเหนือ
- ปัจจุบันกำลังศึกษาในระดับปริญญาตรีชั้นปีที่ 4 สาขาวิศวกรรมไฟฟ้า คณะวิศวกรรมศาสตร์มหาวิทยาลัยนเรศวร

E-mail: [tom\\_ultimate@hotmail.com](mailto:tom_ultimate@hotmail.com)